

Trabajo Fin de Grado

Grado en Ingeniería Electrónica, Robótica y Mecatrónica

Telemetría para un monoplaza de Formula Student

Autor: Rubén Militello González

Tutor: Ramón González Carvajal

Dpto. Ingeniería Electrónica
Escuela Técnica Superior de Ingeniería
Universidad de Sevilla

Sevilla, 2022



Trabajo Fin de Grado
Grado en Ingeniería Electrónica, Robótica y Mecatrónica

Telemetría para un monoplaza de Formula Student

Autor:

Rubén Militello González

Tutor:

Ramón González Carvajal

Catedrático de Universidad

Dpto. de Ingeniería Electrónica
Escuela Técnica Superior de Ingeniería
Universidad de Sevilla

Sevilla, 2022

Proyecto Fin de Carrera: Telemetría para un monoplaza de Formula Student

Autor: Rubén Militello González

Tutor: Ramón González Carvajal

El tribunal nombrado para juzgar el Proyecto arriba indicado, compuesto por los siguientes miembros:

Presidente:

Vocales:

Secretario:

Acuerdan otorgarle la calificación de:

El secretario del Tribunal

AGRADECIMIENTOS

Este trabajo de fin de grado simboliza una etapa de trabajo y sacrificio. Sin estas personas no hubiera sido posible lograr el cierre de esta etapa.

En primer lugar, agradecer el apoyo y la motivación que siempre he recibido por parte de mi familia.

En segundo lugar, agradecer a mis compañeros del equipo ARUS por esas noches interminables y esos momentos único vividos haciendo de la Formula Student una etapa increíble y única.

En tercer lugar, a mis amigos por el apoyo y la confianza siempre mostrada.

Por último, agradecer a todos los profesores involucrados en mi formación. Especialmente a Ramón González Carvajal por darme el apoyo con el desarrollo de este trabajo de fin de grado.

Rubén Militello González

Sevilla, 2022

RESUMEN

La Formula Student, también conocida como SAE Formula Student, es una competición automovilística entre estudiantes de universidades de todo el mundo donde cada equipo universitario diseña y construye un vehículo monoplace con el que posteriormente compite. La Universidad de Sevilla participa en dicha competición a través del equipo ARUS Andalucía Racing Team en el desarrollo de un monoplace de combustión y eléctrico.

En este contexto durante la temporada 2021/2022 se propone como objetivo el diseño propio de una telemetría para ambos monoplaces. Para ello se plantea el diseño de una placa de circuitos impresos con capacidad de poder transmitir toda la información necesaria en tiempo real de los monoplaces.

Dicha placa se fundamenta básicamente en la transmisión de datos a través de un bróker MQTT empleando un módulo con conectividad 4G LTE. Dicho modem será controlado a través de comandos AT los cuales serán transmitidos por un microcontrolador 'máster'. En este caso se han empleado como microcontrolador ESP32-WROOM-32D y como modem SIM7600E-H del fabricante SimCom. Podríamos destacar otras funcionalidades de la placa como puede ser el envío/recepción de tramas de bus CAN, lecturas analógicas y digitales y la activación de diversos sistemas que componen los monoplaces.

Todo el diseño hardware se ha desarrollado empleando Altium Designer (esquemáticos y layout) mientras que para el desarrollo software se ha empleado Visual Studio Code. Como bróker hemos empleado EMQX conocido como el bróker MQTT más escalable para aplicaciones IoT, tal y como procede en este caso.

Para visualizar esos datos en tiempo real se han desarrollado diferentes interfaces gráficas para diferentes plataformas. Podemos destacar el desarrollo de una interfaz gráfica para Windows empleando Visual Studio y una aplicación para Android empleando el lenguaje de programación 'Flutter' en Visual Studio Code.

Todo esto se ha llevado a cabo teniendo en cuenta el impacto económico que supone para el equipo. He de destacar el patrocinio de distribuidores de PCBs, componentes electrónicos, diferentes empresas del sector e incluso el patrocinio del Departamento de Ingeniería Electrónica sin el cual no hubiera sido posible poder dar forma a la telemetría empleada en ambos monoplaces durante la temporada 2021/2022.

Como conclusión podemos destacar que el resultado final ha sido satisfactorio y de gran ayuda para el equipo. Con esta telemetría hemos podido validar aquellos parámetros necesarios para poder conseguir un monoplace fiable y competitivo por lo que ha supuesto un gran avance técnico dentro del equipo.

ABSTRACT

Formula Student, also known as SAE Formula Student, is an automotive competition among students from universities around the world, where each university team designs and builds a single-seater vehicle to compete with. The University of Seville participates in this competition through the ARUS Andalucía Racing Team in the development of both combustion and electric single-seater vehicles.

In this context, for the 2021/2022 season, the goal is set to design a telemetry system for both single seaters. To achieve this, the design of a printed circuit board is proposed, capable of transmitting all necessary real-time information from the single seaters. This board is primarily based on data transmission through an MQTT broker using a 4G LTE connectivity module. This modem will be controlled through AT commands, which will be transmitted by a 'master' microcontroller. In this case, the ESP32-WROOM-32D microcontroller and the SIM7600E-H modem from SimCom have been used. Other functionalities of the board can include sending/receiving CAN bus frames, analog and digital readings, and the activation of various systems that make up the single seaters.

The entire hardware design has been developed using Altium Designer (schematics and layout), while Visual Studio Code has been used for software development. As the broker, EMQX, known as the most scalable MQTT broker for IoT applications, has been used, as is appropriate in this case.

To visualize this real-time data, different graphical interfaces have been developed for various platforms. Notable among these are a graphical interface for Windows using Visual Studio, and an Android application using the 'Flutter' programming language in Visual Studio Code.

All of this has been accomplished while considering the economic impact on the team. It's worth highlighting the sponsorship from PCB distributors, electronic components suppliers, various companies in the sector, and even the sponsorship from the Department of Electronic Engineering, without which it would not have been possible to develop the telemetry used in both single seaters during the 2021/2022 season.

In conclusion, it can be highlighted that the result has been satisfactory and greatly beneficial for the team. With this telemetry system, it has been possible to validate the necessary parameters to achieve a reliable and competitive single seater, representing a significant technical advancement within the team.

... -translation by google-

Agradecimientos	4
Resumen	5
Abstract	6
Índice	7
Índice de Ilustraciones	9
Notación	11
Introducción	13
Requisitos	15
Estructura del documento	16
1 Contexto	17
1.1 <i>Monoplaza de Formula Student</i>	17
1.2 <i>Distribución electrónica</i>	17
1.2.1 ART22-E	17
1.2.2 ART22-C	18
1.3 <i>Tren de Potencia</i>	19
1.3.1 Inversor	19
1.3.2 Batería de alta tensión	20
1.3.3 Motor trifásico	21
1.4 <i>Integración de subsistemas del monoplaza</i>	21
1.4.1 Bus CAN (Control Area Network)	21
1.4.2 Universal Asynchronous Receiver-Transmitter (UART)	23
2 Arquitectura Hardware	25
2.1 <i>Introducción</i>	25
2.2 <i>Tarjeta Sim</i>	27
2.3 <i>Antenas de PCB</i>	28
2.4 <i>Fuentes de alimentación</i>	31
2.5 <i>Convertor USB-UART</i>	35
2.6 <i>Celdas De Potencia y Entradas aisladas</i>	37
2.7 <i>Microcontrolador</i>	39
2.8 <i>Driver Can y Transceiver</i>	41
2.9 <i>Conector PCB</i>	42
2.10 <i>SIM7600E-H</i>	43
2.11 <i>Interfaz USB del SIMCOM 7600E-H</i>	45
3 Layout PCB	46
3.1 <i>Resumen del Layout</i>	46
3.2 <i>Stack Layer</i>	47
3.2.1 Capa de Enrutamiento (Top Layer)	48
3.2.2 Capa de Plano de Tierra (GND Plane)	49
3.2.3 Capa de Alimentación (Power Plane)	49
3.2.4 Capa de Enrutamiento (Bottom Layer)	51
3.2.5 Aspecto del layout destacables	52
4 Arquitectura Software	55
4.1 <i>Introducción</i>	55
4.2 <i>Desarrollo SW del código</i>	55
4.2.1 MQTT BROKER	57

4.2.2	JSON	58
5	Interfaces gráficas de usuario	60
5.1	<i>Introducción</i>	60
5.2	<i>GUI PC</i>	60
5.3	<i>GUI APP</i>	62
6	Datos Registrados	64
6.1	<i>Tests de la prueba de aceleración</i>	64
6.2	<i>Energía consumida respecto a tensión total de la batería de alta tensión</i>	65
6.3	<i>Test de simulación de una endurance</i>	66
7	Conclusiones	68
8	Mejoras Futuras	69
9	Anexos	70
9.1	<i>Filtro anti-rebote</i>	70
9.2	<i>Anti-resonancia y condensadores de desacople</i>	70
9.3	<i>Código Completo</i>	72
	Referencias	84

Índice de Ilustraciones

Ilustración 1: Participantes en Formula Student Germany 2022	13
Ilustración 2: Monoplaza del equipo ARUS compitiendo	14
Ilustración 3: ARUS celebrando el tercer puesto obtenido en Formula Student Italy	14
Ilustración 4: Visión general del monoplaza eléctrico	17
Ilustración 5: Resumen de las cajas electrónicas del monoplaza eléctrico	18
Ilustración 6: Visión general del monoplaza de combustión interna	18
Ilustración 7: Resumen de las cajas electrónicas del monoplaza de combustión interna	19
Ilustración 8: Bamocar D3 de Unitek	20
Ilustración 9: Arquitectura del BMS del ART22E	20
Ilustración 10: Emrax 228 Medio Voltaje (520 VDC)	21
Ilustración 11: Configuración de nuestro bus CAN en el ART22C	22
Ilustración 12: Topología del bus CAN del ART22E	23
Ilustración 13: Topología del bus CAN del ART22C	23
Ilustración 14: Formato de trama UART	23
Ilustración 15: Interfaz gráfica del BMS del ART22E	24
Ilustración 16: Arquitectura Hardware Telemetría	25
Ilustración 17: Esquemático del circuito de interfaz USIM	27
Ilustración 18: Ubicación y contactos de una tarjeta de circuito integrado	27
Ilustración 19: Imagen del conector utilizado: C707 10M006 522 2A	28
Ilustración 20: Esquemático del diseño de las antenas de PCB	29
Ilustración 21: Captura de Altium Designer del stack layer manager	29
Ilustración 22: Ancho de pistas obtenidas para 50Ω	30
Ilustración 23: Conector de PCB para las antenas principal y auxiliar	30
Ilustración 24: Conector empleado para la antena de conectividad GNSS	30
Ilustración 25: Diagrama de las etapas de alimentación	31
Ilustración 26: Esquemático del diseño de las etapas de alimentación	31
Ilustración 27: Etapa de alimentación 12V a 5V	32
Ilustración 28: Etapa de alimentación 5V a 3.3V	32
Ilustración 29: Etapa de alimentación 5V a 3.8V	33
Ilustración 30: Resistencia térmica en función del área	34
Ilustración 31: Esquemático del diseño del conversor USB-UART	35
Ilustración 32: Hoja de esquemático de las celdas de potencia y entradas aisladas	37
Ilustración 33: Esquema lógico celda de potencia	38
Ilustración 34: Esquema lógico de las medidas aisladas	38
Ilustración 35: Hoja esquemático del microcontrolador	40

Ilustración 36: Hoja de esquemático del bus CAN	41
Ilustración 37: Hoja de esquemático del conector de la PCB	42
Ilustración 38: Esquemático para el módulo Simcom 7600E-H	44
Ilustración 39: Interfaz USB del SIMCOM 7600E-H	45
Ilustración 40: Vista superior e inferior de la PCB	46
Ilustración 41: Capa Superior	48
Ilustración 42: Capa plano GND	49
Ilustración 43: Capa Planos VCC	50
Ilustración 44: Capa Inferior	51
Ilustración 45: Plano de referencia propio para el rejoy	52
Ilustración 46: Biasing Shielding	52
Ilustración 47: Plano de tierra sucia	53
Ilustración 48: Colocación Microcontrolador	53
Ilustración 49: Ruteo simétrico bus CAN	54
Ilustración 50: Planos de VCC	54
Ilustración 51: Arquitectura SW a nivel funcional	55
Ilustración 52: GUI PC	61
Ilustración 53: Control de Grabación	62
Ilustración 54: Captura aplicación Android	63
Ilustración 55: Test pruebas de aceleraación	65
Ilustración 56: Energía consumida respecto a tensión total de la batería de alta tensión	66
Ilustración 57: Test validación Endurance	67
Ilustración 58: Análisis filtro anti-rebote	70
Ilustración 59: Impedancia de dos condensadores de 1uF y 1000pF en paralelo	71
Ilustración 60: Combinación de condensadores con diferentes capacitancias	71
Ilustración 61: Combinación de 10 condensadores con la misma impedancia	71

NOTACIÓN

PCB	Placa de Circuito Impreso (Printed Circuit Board)
BMS	En casi todos los puntos
CAN	Red de Área de Controlador (Controller Area Network)
UART	Transmisor y Receptor Universal Asíncrono (Universal Asynchronous Receiver-Transmitter)
SMD	Montaje en Superficie
DAC	Convertidor Digital-Analógico (Digital-to-Analog Converter)
ADC	Convertidor Analógico-Digital (Analog-to-Digital Converter)
GND	Tierra (Ground)
VCC	Voltaje de Alimentación (Voltage Common Collector)
CAN	Red de Área de Controlador (Controller Area Network)
USB	Bus Universal en Serie (Universal Serial Bus)
PWM	Modulación de Ancho de Pulso (Pulse Width Modulation)
I2C	Interfaz de Circuitos Integrados (Inter-Integrated Circuit)
ESD	Descarga Electroestática (Electrostatic Discharge)
MOSFET	Transistor de Efecto de Campo de Óxido Metálico (Metal-Oxide-Semiconductor Field-Effect Transistor)
LTE	Long-Term Evolution (Evolución a Largo Plazo)
SIM	Módulo de Identidad del Abonado (Subscriber Identity Module)
QoS	Calidad de Servicio (Quality of Service)

INTRODUCCIÓN

La Formula Student, también conocida como SAE Formula Student, es una competición automovilística entre estudiantes de universidades de todo el mundo donde cada equipo universitario diseña y construye un vehículo monoplaza con el que posteriormente compete.



Ilustración 1: Participantes en Formula Student Germany 2022

Se trata de una competición de diseño por lo que no simplemente se valora el comportamiento dinámico del monoplaza sobre la pista. Los principales aspectos que se tienen en cuenta en la competición son: el diseño del monoplaza, validación, impacto medioambiental y viabilidad del proyecto.

La Universidad de Sevilla participó en dicha competición durante la temporada 2021/2022 tanto con el monoplaza de combustión con el monoplaza eléctrico. Este trabajo se centra en el diseño de la telemetría que ha ido integrada en ambos monoplazas durante dicha temporada. Se trata de un diseño válido para ambos monoplazas en el cual solo difiere la versión software (cada monoplaza tiene un software adaptado).



Ilustración 2: Monoplaza del equipo ARUS compitiendo

Durante dicha temporada ambas monoplazas han asistido a las diferentes competiciones organizadas en los mejores circuitos de Europa. En dichas competiciones hemos conseguido diversos trofeos, destacando el tercer puesto en la categoría de monoplaza eléctrico en Formula Student Italy.



Ilustración 3: ARUS celebrando el tercer puesto obtenido en Formula Student Italy

REQUISITOS

Durante la temporada 2021/2022, el equipo ARUS (Andalucía Racing Team) se enfrentó al desafío de desarrollar una telemetría avanzada para validar los sistemas y el comportamiento dinámico de sus monoplazas en el contexto competitivo del Formula Student. A diferencia de los vehículos comerciales, donde la prioridad suele ser el confort y la utilidad cotidiana, el equipo ARUS tenía como objetivo principal configurar y afinar el comportamiento dinámico específico de sus monoplazas para el máximo rendimiento en la pista.

La telemetría, en este contexto, emerge como una herramienta esencial para la recopilación, el análisis y la interpretación de una diversidad de datos en tiempo real provenientes de los sensores estratégicamente ubicados en el monoplaza. Estos sensores, que abarcan desde mediciones de rendimiento del motor hasta información sobre la suspensión, la aerodinámica, la temperatura y la aceleración, capturan un panorama completo del funcionamiento del vehículo y su interacción con la pista.

La singularidad de esta tarea radica en que ARUS no busca simplemente un comportamiento dinámico único y estandarizado para sus monoplazas, sino que aspira a diseñar y configurar cada vehículo de manera específica, adaptando sus propiedades de rendimiento según las características únicas de la pista y los objetivos competitivos. La telemetría, entonces, se convierte en una herramienta esencial que permite la implementación precisa y la posterior verificación de estas configuraciones.

Durante la temporada mencionada, se establecieron una serie de requisitos fundamentales que se alineaban con los objetivos del equipo ARUS:

1. **Captura en Tiempo Real de Datos:** La telemetría debía ser capaz de capturar una amplia variedad de datos en tiempo real, abarcando desde información sobre el rendimiento del motor y la velocidad hasta la posición de la suspensión y la dirección.
2. **Transmisión y Almacenamiento Eficiente:** Dada la magnitud de los datos generados, se requería una solución eficiente para la transmisión de datos hacia una unidad central, así como un método seguro y accesible para el almacenamiento de estos datos con fines de análisis.
3. **Interfaz de Usuario Intuitiva:** La telemetría debía contar con una interfaz de usuario amigable y fácil de usar, que permitiera a los ingenieros y pilotos acceder y entender los datos recopilados, lo que facilitaría la toma de decisiones basadas en información precisa.
4. **Flexibilidad y Personalización:** La telemetría debía ser lo suficientemente flexible como para permitir ajustes y configuraciones personalizadas para adaptarse a los diferentes tests que tendrán lugar durante la temporada.
5. **Preparación para el Futuro:** La telemetría debía ser diseñada con escalabilidad en mente, permitiendo la incorporación de nuevas funcionalidades y actualizaciones sin requerir una revisión completa del sistema.

La implementación exitosa de la telemetría no solo permitió una validación más precisa del comportamiento dinámico, sino que también facilitó un análisis profundo de los datos para impulsar mejoras continuas en el rendimiento y la competitividad del equipo en el entorno desafiante del Formula Student.

ESTRUCTURA DEL DOCUMENTO

Los "Agradecimientos" iniciales dan voz al reconocimiento sincero hacia aquellos que han contribuido a la realización del trabajo, estableciendo un tono de gratitud y colaboración.

El par de secciones "Resumen" y "Abstract" cumplen con la función de ofrecer un vistazo general tanto en el idioma principal como en inglés, lo que garantiza que la esencia del trabajo sea accesible a una audiencia global.

El "Índice" aporta una visión panorámica de la organización del contenido. Esto permite a los lectores anticipar la estructura del documento y ubicar fácilmente las secciones de su interés.

La sección de "Introducción" establece un terreno sólido al presentar el monoplaza de Formula Student y delinear los objetivos fundamentales del proyecto, generando un contexto sustancial para los capítulos siguientes.

La "Contextualización" ofrece una visión detallada del escenario en el que se desenvuelve el proyecto, ofreciendo perspicacia sobre el monoplaza y cómo sus subsistemas se integran de manera crucial.

Las secciones que abordan la "Arquitectura Hardware" y el "Layout PCB" penetran en las complejidades técnicas, revelando el diseño y las decisiones detrás de los componentes electrónicos y la disposición de la placa de circuito impreso.

La sección de "Arquitectura Software" desentraña la trama del desarrollo de software, mientras que la atención dedicada a las "Interfaces gráficas de usuario" coloca al lector en la posición de los usuarios finales, describiendo las interfaces visuales que dan vida a la interacción.

Los "Datos Registrados" proporcionan sustancia tangible al presentar resultados cuantitativos y cualitativos derivados de pruebas y simulaciones, respaldando así las afirmaciones anteriores.

Las "Conclusiones" ponen de relieve los frutos de la investigación y el trabajo, encapsulando los logros y hallazgos clave. Esta sección culmina en una perspectiva reflexiva que brinda un sentido de cierre al relato.

La inclusión de "Mejoras Futuras" muestra la visión a largo plazo del proyecto, dejando la puerta abierta a posibles desarrollos y mejoras posteriores.

1 CONTEXTO

1.1 Monoplaza de Formula Student

1.2 Distribución electrónica

Para poder contextualizar el diseño de un monoplaza de formula student es necesario tener una visión general tanto del monoplaza de combustión como el del coche eléctrico.

En este caso, vamos a definir los diferentes subsistemas electrónicos que componen a ambos monoplazas:

1.2.1 ART22-E

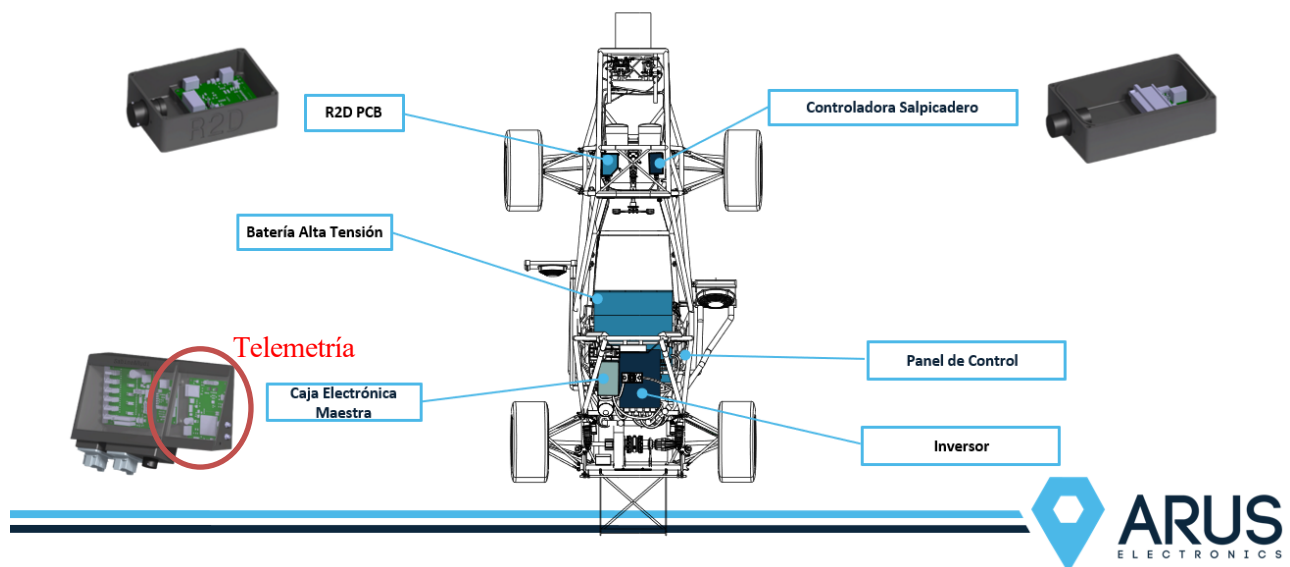


Ilustración 4: Visión general del monoplaza eléctrico

En la imagen anterior podemos ver la distribución de todos los subsistemas electrónicos integrados en el vehículo eléctrico. Podemos destacar los siguientes (los sistemas que conforman el tren de potencia se desarrollarán en los siguientes apartados):

R2D PCB: PCB de diseño propio la cual realiza el protocolo de 'Ready To Drive'. Dicho protocolo consiste en que el piloto debe pulsar el freno y una acción adicional para poder activar el sistema de alta tensión. Una vez haya realizado dicho protocolo un buzzer emite un sonido de activación durante 2s con el objetivo de notificar la activación del sistema de alta tensión.

Controladora Salpicadero: PCB encargada de leer por bus CAN los diferentes parámetros que se muestran por el salpicadero. Dichos parámetros mostrados son configurables en función de la información que necesite el piloto durante las pruebas dinámicas.

Panel de Control: Panel electrónico donde se tiene accesibilidad a las tensiones de la batería de alta y baja tensión, bus CAN, interruptores de activación de baja y alta tensión, referencia del chasis, conector de programación del inversor y del BMS.

Caja electrónica maestra: Se encuentran las PCBs de gestión de potencia, BSPD y telemetría.

PCB de gestión de potencia: diseño propio con el objetivo de distribuir la alimentación a los diferentes subsistemas del monoplaza, entre ellos se encuentran subsistemas de la imagen anterior y diversos sistemas

eléctricos como bomba de refrigeración, ventilador del radiador y luz de freno entre otros.

BSPD: Sistema de lógica no programable el cual debe abrir el circuito de shutdown si tiene lugar una frenada de más de 30 bar y si alguna de las siguientes condiciones: ‘el pedal del acelerador está presionado más de un 25% o se está consumiendo más de 5kW de la batería de alta tensión’.

Telemetría: Sistema de diseño propio en el que se basa este Trabajo Fin de Grado. Descrito en los apartados previos y seguirá su desarrollo en los próximos apartados.

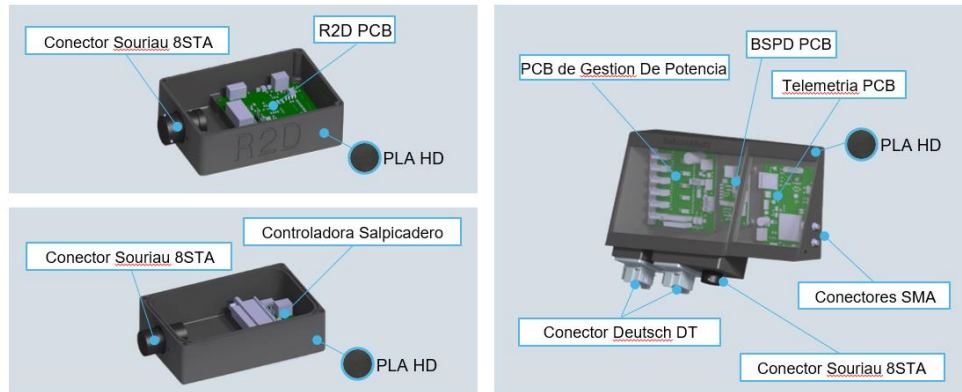


Ilustración 5: Resumen de las cajas electrónicas del monoplaza eléctrico

1.2.2 ART22-C

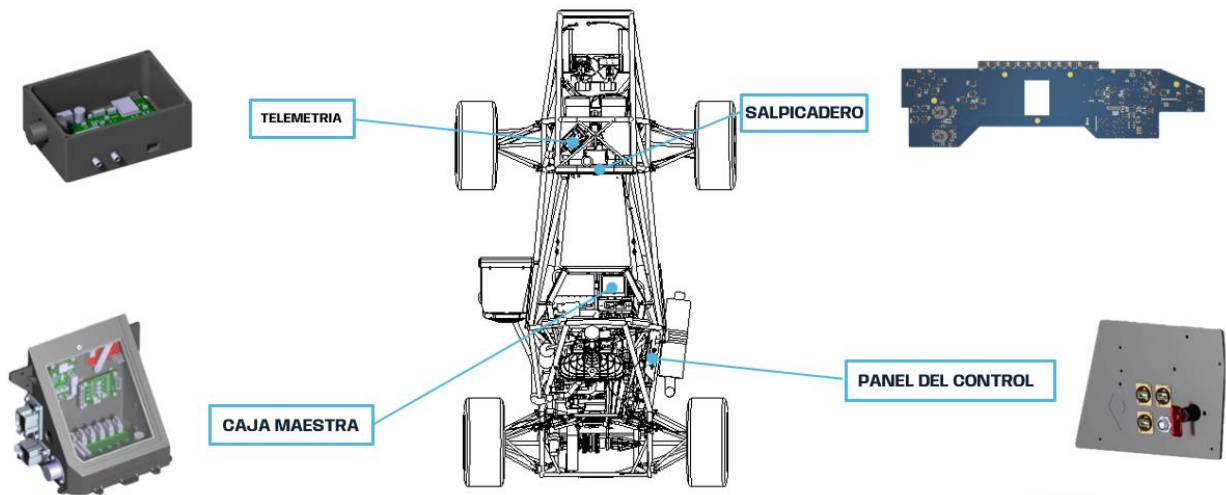


Ilustración 6: Visión general del monoplaza de combustión interna

En la imagen anterior podemos ver la distribución de todos los subsistemas electrónicos integrados en el vehículo eléctrico. Podemos destacar los siguientes (los sistemas que conforman el tren de potencia se desarrollaran en los siguientes apartados):

- Caja electrónica maestra: Se encuentran las PCBs de gestión de potencia, BSPD y control del embrague.
 - PCB de gestión de potencia: diseño propio con el objetivo de distribuir la alimentación a los diferentes subsistemas del monoplaza, entre ellos se encuentran subsistemas de la imagen

anterior y diversos sistemas eléctricos como bomba de refrigeración, ventilador del radiador y luz de freno entre otros.

- BSPD: Sistema de lógica no programable el cual debe abrir el circuito de shutdown si tiene lugar una frenada de más de 30 bar y el pedal del acelerador está presionado más de un 25%.
- Control del Embrague: Diseño propio para poder controlar la subida y bajada de marchas de nuestro monoplaza de combustión. Empleamos un actuador electromecánico para la subida y bajada de marcha y un servo motor para el acople/desacople del embrague.
- Salpicadero: PCB encargada de leer por bus CAN los diferentes parámetros que se muestran por el salpicadero. Dichos parámetros mostrados son configurables en función de la información que necesite el piloto durante las pruebas dinámicas.
- Panel de Control: Panel electrónico donde se tiene accesibilidad a las tensiones de la batería de baja tensión, bus CAN, interruptor de activación de baja tensión, conector de programación del embrague, PCB de gestión de potencia y conector de programación de la ECU del motor de combustión.

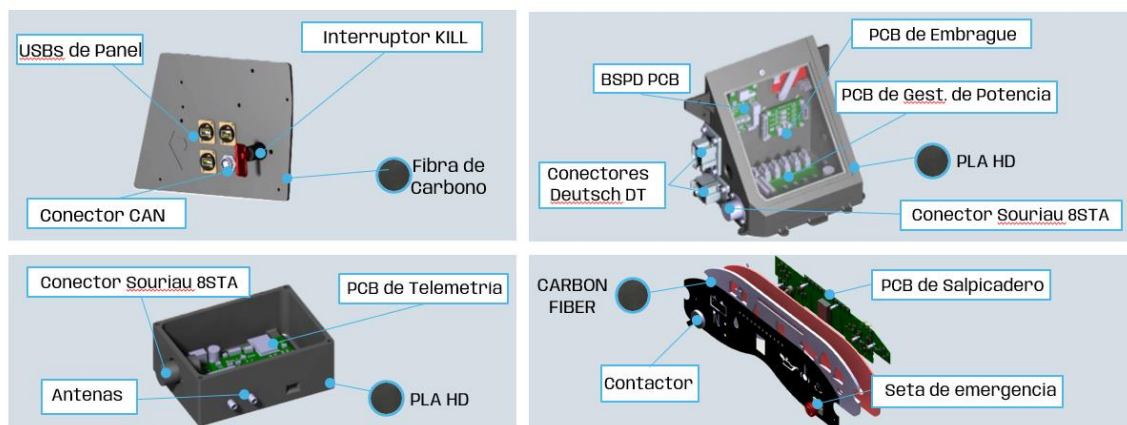


Ilustración 7: Resumen de las cajas electrónicas del monoplaza de combustión interna

1.3 Tren de Potencia

En este apartado nos centraremos en el tren de potencia del monoplaza eléctrico debido a que es el único de los dos que incluye sistemas electrónicos/eléctricos.

1.3.1 Inversor

Para el control del motor se emplea el inversor comercial Bamocar D3 de Unitek el cual puede emplearse hasta aplicaciones que requieran 150kW de potencia. Sin embargo, la normativa de Formula Student nos limita a 80kW. Además, este inversor posee bus CAN con el que se comunica con el resto subsistemas.



Ilustración 8: Bamocar D3 de Unitek

1.3.2 Batería de alta tensión

Este compuesto por una configuración de 108s2p de celdas de polímero de litio (LiFePo4). La tensión nominal de estas celdas es de 3,7V, con un mínimo de 3,3V y un máximo de 4,2V.

Teniendo en cuenta las características y la configuración anterior obtenemos una batería con las siguientes características:

$$V_{nominal} = 399,6V \mid V_{max} = 453,6V \mid V_{min} = 356,4V \mid P_{nominal} = 6,4Wh$$

Para monitorizar todos los parámetros eléctricos la batería consta con un BMS de diseño propio. La normativa de Formula Student exige los parámetros mínimos que hay que monitorizar y con precisión debemos detectar fallos/errores en la batería de alta tensión. El BMS también gestiona la carga y balanceo de las diferentes celdas que componen nuestra batería. También gestiona los 3 relés que componen la batería de alta tensión.

La arquitectura del BMS es Maestra-Esclava debido a la gran cantidad de celdas que hay que monitorizar. Dicha arquitectura está compuesta por un maestro y nueve esclavos.

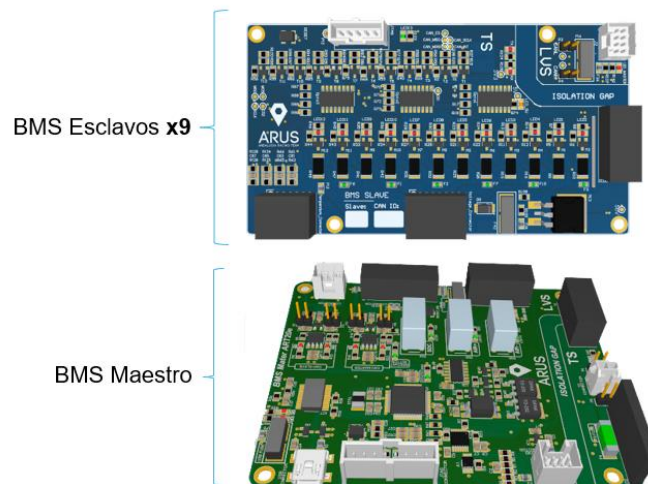


Ilustración 9: Arquitectura del BMS del ART22E

1.3.3 Motor trifásico



Ilustración 10: Emrax 228 Medio Voltaje (520 VDC)

Emrax 228 (motor síncrono de imanes permanentes y flujo axial) con las siguientes propiedades eléctricas:

Voltaje Máximo DC	520 V
Potencia Máxima	124 kW
Torque Máximo	230 Nm
Torque Nominal	Hasta 130 Nm
Eficiencia	92-98%

Tabla 1: Características principales del Emrax 228

1.4 Integración de subsistemas del monoplaza

Para la integración de los diferentes subsistemas que componen a los monoplazas empleamos diferentes protocolos de comunicación. Podríamos destacar principalmente tres de ellos, bus CAN, Universal Asynchronous Receiver-Transmitter (UART) y Universal Serial Bus (USB).

El protocolo principal de integración en nuestros monoplazas es el bus CAN (Controller Area Network). Es un protocolo de comunicaciones desarrollado por la firma alemana Robert Bosch GmbH para automoción, por lo que el uso en dicho sector está estandarizado y extendido.

1.4.1 Bus CAN (Control Area Network)

El bus CAN es un protocolo enfocado a la transmisión de mensajes. La información se descompone en los distintos mensajes a los que se le asigna un identificador y se encapsulan en tramas para su transmisión. Dentro del bus cada mensaje tiene un identificador (ID) asociado y cada nodo conectado al bus puede decidir si aceptar o rechazar dicho mensaje. [1]

El bus CAN es un protocolo diferencial por lo que la transmisión de mensajes se lleva a cabo a través de dos cables trenzados (La transmisión de señales diferencial proporciona protección frente a interferencias electromagnéticas). Las señales de estos cables se denomina CAN_H (CAN high) y CAN_L (CAN low)

respectivamente. [1]

Los distintos nodos del bus CAN deben estar interconectados mediante un par de cables trenzados debido a que es un protocolo diferencial. El estándar CAN, a diferencia de otros estándares como el USB, no especifica ningún tipo de conector para el bus y por lo tanto cada aplicación puede tener un conector distinto. Sin embargo, hay varios formatos comúnmente aceptados como el conector D-sub de 9 pines, con la señal CAN_L en el pin 2 y la señal CAN_H en el pin 7. [1]

Podemos destacar dos tipos de bus CAN: [1]

- CAN de alta velocidad: también llamado CAN de alta velocidad, usa un único bus lineal terminado en cada extremo con sendas resistencias de 120 Ω (Es importante conseguir este valor de impedancia característico del BUS para evitar perturbaciones en la comunicación). Dicha configuración permite transmisiones de hasta 1 Mbit/s.
- Can de baja velocidad: Emplea un bus lineal, un bus en estrella o múltiples buses en estrella conectados por un bus lineal. El bus está terminado en cada nodo por una fracción de la resistencia de terminación total (próximo a 100 Ω, pero no inferior a 100 Ω). Esta configuración permite velocidades de hasta 125 kbit/s.

En nuestros monoplazas empleamos el bus CAN de alta velocidad con una velocidad configurada de 500kbit/s. En la siguiente imagen se muestra un ejemplo de la configuración de nuestro BUS en el monoplaza de combustión:

Nombre Archivo Trama	SISTEMA QUE ENVÍA	ID	Byte 0	Byte 1	Byte 2	Byte 3	Byte 4	Byte 5	Byte 6	Byte 7	SISTEMA/S QUE RECIBE/N	Frecuencia
ECU 1	ECU	0x001	RPM		RSP	FBP	Presión Aceite		Lambda		Salpi y telemetría	100 Hz
ECU 2	ECU	0x002	TP	Neutra	Velocidad Trasera	Velocidad Delantera	Error ECU		Deslizamiento	Botón ECU	Salpi y telemetría	100 Hz
ECU 3	ECU	0x003	Voltaje Batería	ECT	Temp. Radiador	Temp. Cockpit	IAT	Temp. Aceite	Log Ecu	Gear	Salpi y telemetría	100 Hz
Embrague	Embrague	0x101	% Hall_R	% Pot_R	% Hall_L	% Pot_L	Selector + Rangos	Interlock + SalidaAUTO + pulsadores	PWM (1000-2000)		ECU/Telemetría	60Hz
Embrague	Embrague	0x102	Corte Chispa ON	Actuador Subir	Coordinación Corte Chispa	Tiempo Servo Bajar	Actuador Bajar	Posicion Acoplado	Posicion Medio Acoplado	Posicion Desacoplado	ECU/Telemetría	60Hz
Potencia	Potencia	0x201	INTENSIDAD Servo + Paddle	INTENSIDAD Ventilador	INTENSIDAD PCBs + ECU + etc	INTENSIDAD Bomba Fuel	INTENSIDAD Inyectores + Bujías	Temperatura Caja	Trama ON/OFF		ECU/Telemetría	50 Hz
IMU 1	IMU	0x301	Acceleration X		Acceleration Y		Acceleration Z				Adquisición/ECU	100 Hz
IMU 2	IMU	0x302	Roll angle		Pitch angle		Yaw angle				Adquisición/ECU	100 Hz
IMU 3	IMU	0x303	Roll Rate		Pitch Rate		Yaw Rate				Adquisición/ECU	100 Hz
IMU 4	IMU	0x304	EXF Info								Adquisición/ECU	100 Hz
IMU 5	IMU	0x305	Latitud				Longitud				Adquisición/ECU	100 Hz

CONFIG CAN ECU	Canal 1	Canal 2	Canal 3	Canal 4	Canal 5	Canal 6	Envío
	0x001	0x002	0x003	0x101	0x201	0x304	Recepción

TRAMAS PERSONALIZADAS	Bit 7	Bit 6	Bit 5	Bit 4	Bit 3	Bit 2	Bit 1	Bit 0
ON/OFF	Servo-Paddle	Ventilador	ECU-PCB	Bombs	Arranque	Contacto	0	0
Selector + Rangos	Selector			rango_L		rango_R		
Interlock + SalidaAUTO + pulsadores	Interlock		SalidaAUTO		PulsadorSubir		PulsadorBajar	

Cada bit indica un sistema activo
 El selector indica un numero de 0-10 y los rango de 1-3
 Cada dos bit indica un sistema activo

Ilustración 11: Configuración de nuestro bus CAN en el ART22C

En las siguientes imágenes podemos ver las dos topologías empleadas en ambos monoplazas:

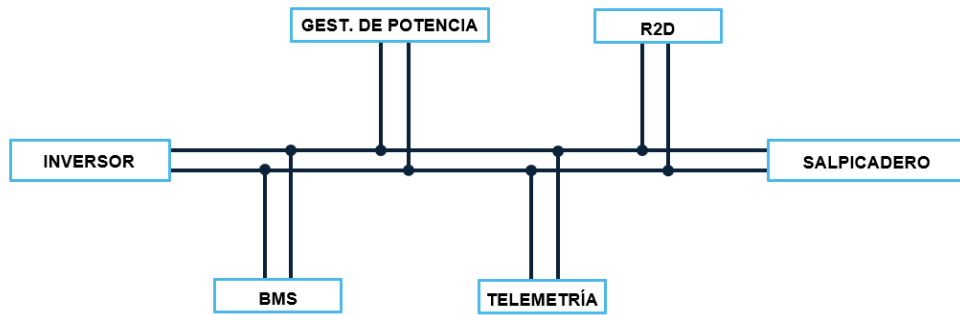


Ilustración 12: Topología del bus CAN del ART22E

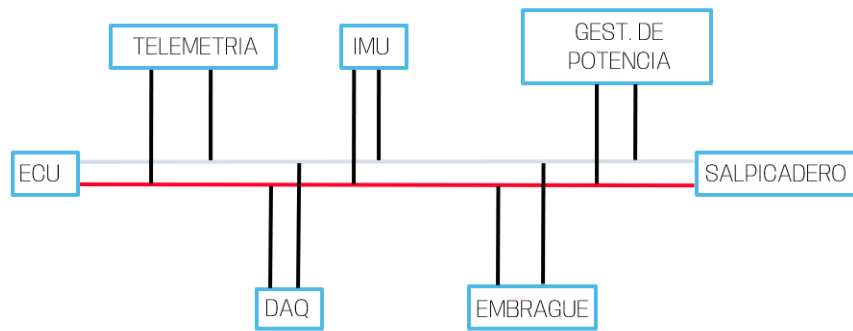


Ilustración 13: Topología del bus CAN del ART22C

1.4.2 Universal Asynchronous Receiver-Transmitter (UART)

UART es un protocolo simple de dos hilos para el intercambio de datos en serie. Asíncrono hace referencia a que los extremos de comunicación no comparten ningún reloj que los sincronicen. Por ello, para que el protocolo funcione ambos extremos deben estar configuradas a la misma velocidad de bits por segundo. Los bits de inicio y de parada se utilizan para indicar dónde empiezan y terminan los datos de usuario. Además, se puede utilizar un bit de paridad opcional para detectar errores de bit únicos. [2]

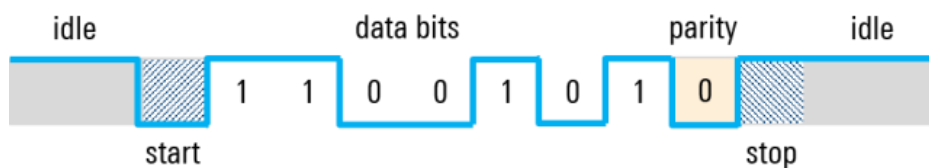


Ilustración 14: Formato de trama UART

Como en la mayoría de los sistemas digitales, un nivel de tensión alto significa un ‘uno lógico’, y un nivel de tensión bajo ‘un cero lógico’. Hay que destacar que cuando no se transmiten datos, la línea se mantiene en el estado alto por lo que podemos detectar con facilidad una línea o un transmisor averiado.

Este protocolo se emplea en ambos monoplazas, pero cabe destacar la utilidad en el BMS de diseño del monoplaza eléctrico. En dicho monoplaza poseemos un conector para poder visualizar todos los valores de nuestra batería de alta tensión (requisito de la normativa de Formula Student).



Ilustración 15: Interfaz gráfica del BMS del ART22E

2 ARQUITECTURA HARDWARE

2.1 Introducción

En primer lugar, se define a alto nivel la funcionalidad de cada bloque y la nomenclatura de las distintas señales tal y como muestra la siguiente ilustración:

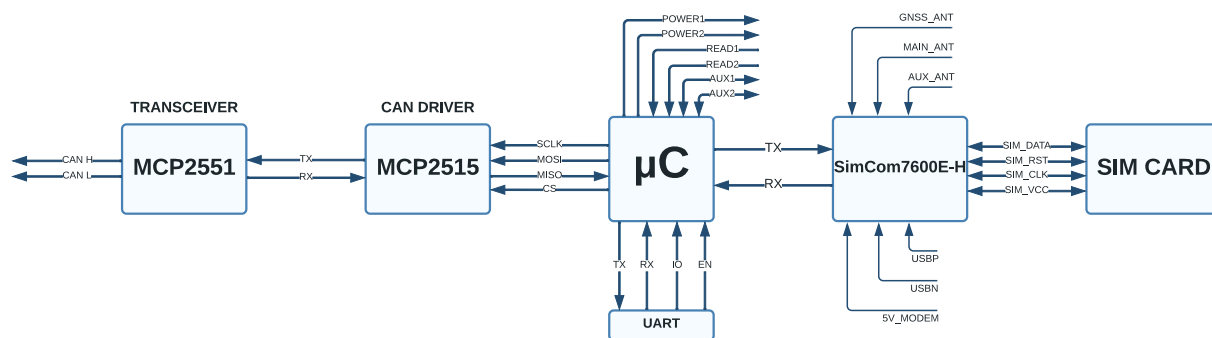


Ilustración 16: Arquitectura Hardware Telemetría

Teniendo en cuenta la imagen anterior podemos definir como tres funcionalidades principales que realiza la PCB:

- Envío/Recepción de tramas de bus CAN
- Envío/Recepción de datos a un bróker MQTT
- Funcionalidades del microcontrolador:
 - Activación de celdas de potencia
 - Activación de pines de salida/entrada
 - Integra la comunicación con los drivers CAN y de conectividad LTE

Para llevar a cabo dichas funcionalidades se han recurrido a diferentes componentes hardware:

- Envío/Recepción de tramas de bus CAN:
 - Driver bus CAN: MCP2515 de Microchip Technology es un controlador (CAN) que implementa la especificación CAN, versión 2.0B. Es capaz de transmitir y recibir en ambos estándares mencionados anteriormente. Posee dos máscaras de aceptación y seis filtros de aceptación que se utilizan para filtrar mensajes no deseados, por lo tanto, reduciendo la sobrecarga de los distintos subsistemas conectados al bus. El MCP2515 se comunica con nuestro microcontrolador a través del bus SPI (del inglés Serial Peripheral Interface). Dicho bus es un estándar hoy en día para controlar cualquier dispositivo electrónico que permita una comunicación síncrona.
 - Transceiver CAN: El MCP2551 es un transeptor CAN de alta velocidad que sirve como interfaz entre un controlador de protocolo CAN y el bus físico. El MCP2551 proporciona la capacidad de transmisión y recepción para el controlador de protocolo CAN (Funcionando a velocidades de hasta 1 Mb/s).
- Envío/Recepción de datos a un bróker MQTT:
 - Modulo Multibanda: SIM7600E-H de SIMCom Wireless Solutions. Módulo multibanda LTE-TDD/LTE-FDD/HSPA+ y GSM/GPRS/EDGE en un tipo SMT que admite LTE CAT1. Tiene

una fuerte capacidad de extensión con interfaces ricas que incluyen UART, USB2.0, I2C, GPIO. En nuestro caso la comunicación con el microcontrolador la integramos a través de UART empleando los diferentes comandos AT definidos por el fabricante. En este caso podríamos decir que el módulo es un esclavo de nuestro microcontrolador principal.

- Funcionalidades del microcontrolador:
 - ESP32-WROOM-32D: Microcontrolador de Expressif Systems que posee algunas de las siguientes características:
 - CPU: microprocesador de 32-bit Xtensa LX6 de doble núcleo
 - Memoria: 520 KiB SRAM
 - Wi-Fi: 802.11 b/g/n
 - Bluetooth: v4.2 BR/EDR y BLE
 - Interfaces periféricas:
 - 12-bit SAR ADC de hasta 18 canales
 - 2 × 8-bit DACs
 - 4 × SPI
 - 2 × interfaces I²C
 - 3 × UART

Teniendo en cuenta todas las funcionalidades mencionadas anteriormente, podemos decir que es un microcontrolador que cumple con todos los requisitos planteados. Además, otro motivo para la elección de este se debe a que posee conectividad Wi-Fi por lo que se pueden realizar pruebas de depuración tal como envío/recepción al bróker MQTT simplemente compartiendo conectividad desde un punto de acceso sin consumir datos de la tarjeta SIM.

2.2 Tarjeta Sim

El extracto del esquemático mostrado hace referencia al diseño de la interfaz USIM y del acondicionamiento necesario de las señales que componen dicho protocolo USIM. Respecto al acondicionamiento de las señales se ha empleado teniendo en cuenta el manual de diseño hardware del fabricante, donde se detalla la aplicación de la interfaz USIM. Se ha añadido una protección ESD tal y como indica dicha guía de diseño hardware.

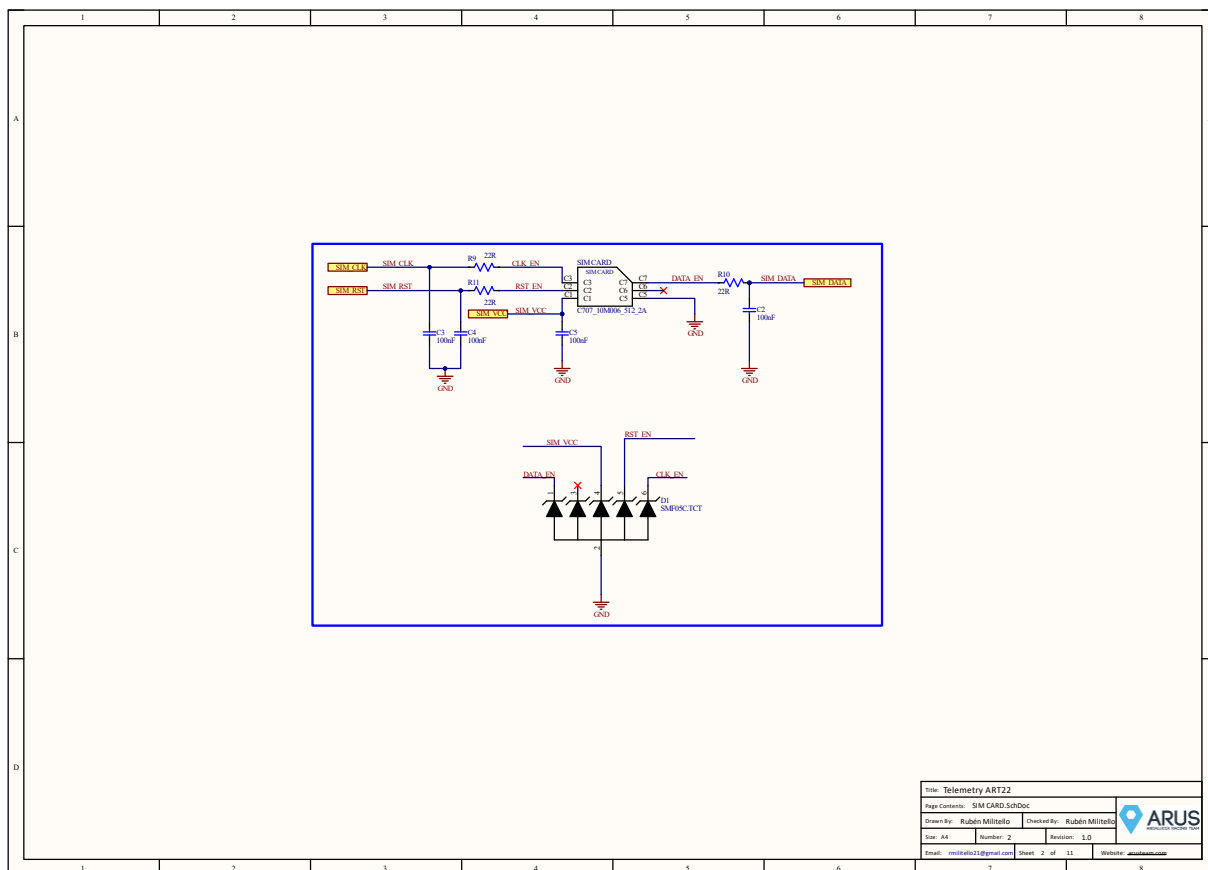


Ilustración 17: Esquemático del circuito de interfaz USIM

La serie de estándares ISO/IEC 7816 e ISO/IEC 7810 definen las diferentes características mecánicas y eléctricas de las tarjetas inteligentes, en este caso se trata de una tarjeta SIM (acrónimo en inglés de Subscriber Identity Module). En el apartado de la norma 7816-2 se especifican las dimensiones y ubicación de los contactos tal y como muestra la siguiente imagen:



Ilustración 18: Ubicación y contactos de una tarjeta de circuito integrado

Teniendo en cuenta la imagen anterior en nuestro diseño empleamos los contactos:

- C1: Contacto de alimentación de la interfaz USIM.
- C2: Contacto de reset, utilizada para reiniciar las comunicaciones de la tarjeta.
- C3: Proporciona a la tarjeta una señal de reloj, de la que se deriva la temporización de las

comunicaciones de datos.

- C5: Contacto de la referencia de voltaje.
- C7: Entrada o salida para datos seriales al circuito integrado dentro de la tarjeta.

Se emplean cinco contactos para la implementación de la interfaz ISA (parte 2 de la ISO / IEC 7816). La aplicación de nuevas interfaces (opcional), implica el uso de los contactos C4 y C8 (interfaz USB), así como un cambio en el uso del C6.

El conector elegido es el C707 10M006 522 2A de Amphenol MCP. Dicho conector es compatible con una Mini-SIM (especificada por el estándar: ISO/IEC 7810:2003, ID-000) la cual posee un largo de 25mm, ancho de 15mm y un espesor de 0.76mm.



Ilustración 19: Imagen del conector utilizado: C707 10M006 522 2A

2.3 Antenas de PCB

Para el diseño electrónico de las distintas antenas ubicadas en la PCB se han tenido en cuenta también la guía de diseño hardware. El fabricante recomienda el uso de una antena principal y una auxiliar debido a las bandas altas en el diseño de LTE-TDD, como band38, band40 y band41. Debido a la alta pérdida de inserción del cable de RF y las líneas de diseño, la sensibilidad del receptor de estas bandas arriba correrá el riesgo de cumplir con la autenticación sin la antena auxiliar.

Recomienda además un circuito de enlace de referencia por si el fabricante de las antenas tiene algún requisito de en el circuito de conexión entre la PCB y la antena. Dicho acondicionamiento se ha incluido en el diseño, aunque finalmente no se hayan implementado físicamente en la PCB.

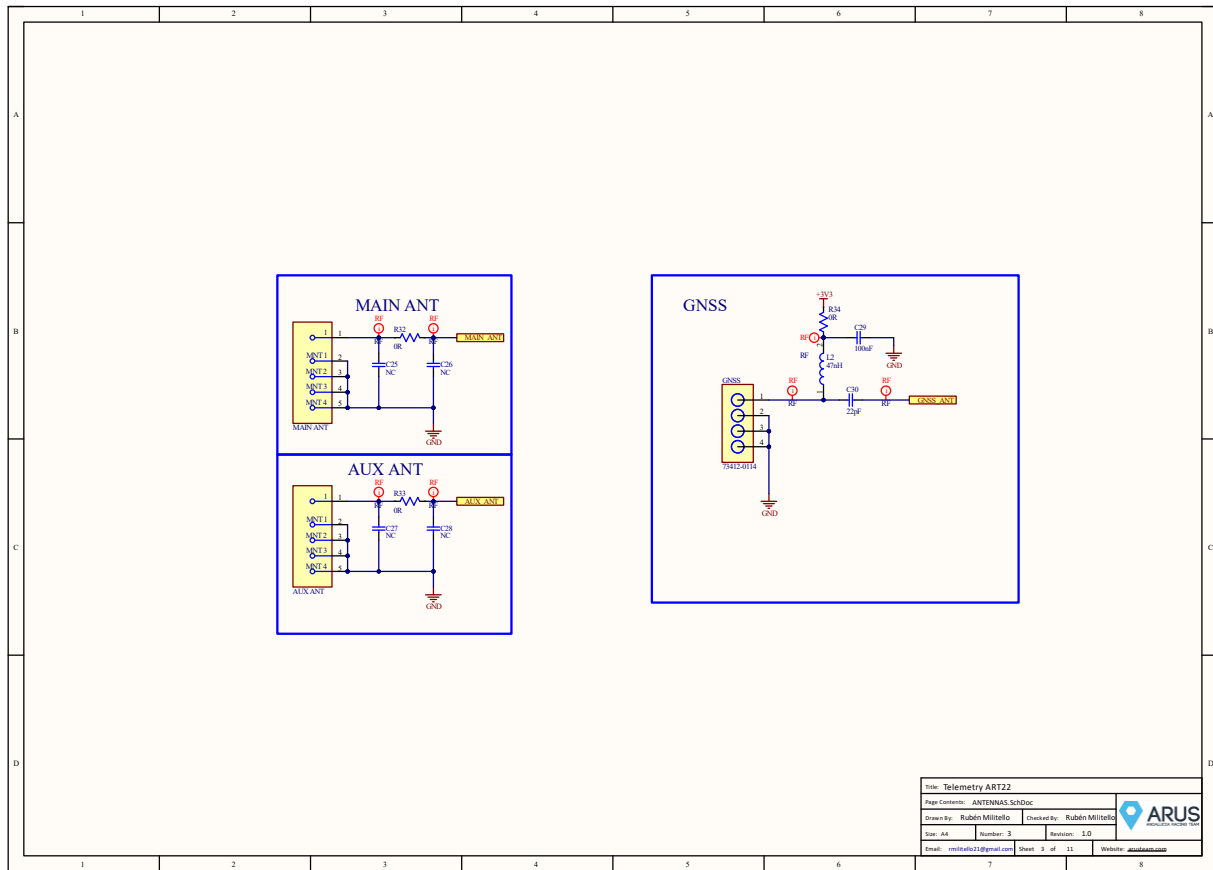


Ilustración 20: Esquemático del diseño de las antenas de PCB

Otra recomendación para tener en cuenta es el control de impedancia en las pistas de señales de la antena. Se recomienda un valor de 50Ω de impedancia. Para el control de impedancia se ha recurrido a la herramienta que tiene Altium Designer integrada. [3]

#	Name	Material	Type	Weight	Thickness	Dk
	Top Overlay		Overlay			
	Top Solder	Solder Resist	Solder Mask		0.02032mm	3.8
1	Top Layer		Signal	1oz	0.035mm	
	Dielectric 1		Prepreg		0.18034mm	4.6
2	GND Layer		Signal	1/2oz	0.0175mm	
	Dielectric 2	FR-4	Core		1.065mm	4.6
3	VCC Layer		Signal	1/2oz	0.0175mm	
	Dielectric 3		Prepreg		0.18034mm	4.6
4	Bottom Layer		Signal	1oz	0.035mm	
	Bottom Solder	Solder Resist	Solder Mask		0.02032mm	3.8
	Bottom Overlay		Overlay			

Ilustración 21: Captura de Altium Designer del stack layer manager

En la imagen superior se muestra el ‘Stack Layer Manager’ de la PCB. Como podemos apreciar en dicha imagen se definen todos los parámetros característicos de las cuatro capas que componen la PCB. Para obtener toda esta información se contactó con el fabricante y nos proporcionó un ‘Stack Layer’ para control de impedancia tal y como muestra la captura.

Una vez definido nuestro stack layer empleamos la calculadora de impedancias para obtener un valor de 50Ω. En la siguiente imagen se muestran los resultados obtenidos:

	Top Ref	Bottom Ref	Width (W1)	Impedance (Z0)	Deviation	Delay...
<input checked="" type="checkbox"/>		2 - GND Layer	0.29069mm	50	0.01%	6.2861...
<input checked="" type="checkbox"/>	1 - Top Layer	3 - VCC Layer	0.22254mm	49.99	0.02%	7.2055...
<input checked="" type="checkbox"/>	2 - GND Layer	4 - Bottom Layer	0.22254mm	49.99	0.02%	7.2055...
<input checked="" type="checkbox"/>	3 - VCC Layer		0.29069mm	50	0.01%	6.2861...

Ilustración 22: Ancho de pistas obtenidas para 50Ω

Podemos destacar dos anchos de pistas diferentes:

- 0.22254mm para las capas internas de la PCB
- 0.29069mm para las capas externas de la PCB

Posteriormente hemos creado un ‘net label’ llamado RF y hemos asociado una regla que cumpla el ancho calculado previamente en aquellos puntos que se indican en el esquemático a través de dicha ‘net label’ (Ilustración 21).

Como antena principal y auxiliar hemos empleado el modelo 132203-18 de Amphenol RF. Es un conector SMA de PCB ‘through hole’ el cual tiene una impedancia de 50 y además posee clasificación IP67 por lo que hace estanca la caja electrónica. En la siguiente imagen podemos ver el conector:



Ilustración 23: Conector de PCB para las antenas principal y auxiliar

En el caso de la antena con conectividad GNSS hemos recurrido a 73412-0114 de Molex. Se trata de un conector SMD micro coaxial vertical con una impedancia de 50Ω. En la siguiente podemos ver el conector:



Ilustración 24: Conector empleado para la antena de conectividad GNSS

2.4 Fuentes de alimentación

En la siguiente captura podemos observar las cuatro etapas de alimentación diferentes que tenemos en la PCB:

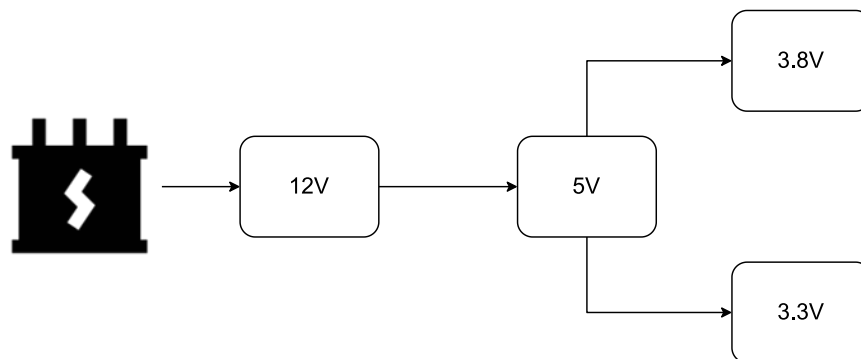


Ilustración 25: Diagrama de las etapas de alimentación

La alimentación principal es suministrada por la batería de baja de tensión del monoplaza. Para obtener las distintas alimentaciones auxiliares (5V, 3.8V y 3.3V) que son necesaria para los demás componentes hemos planteado el siguiente diseño que se muestra en la Ilustración 26:

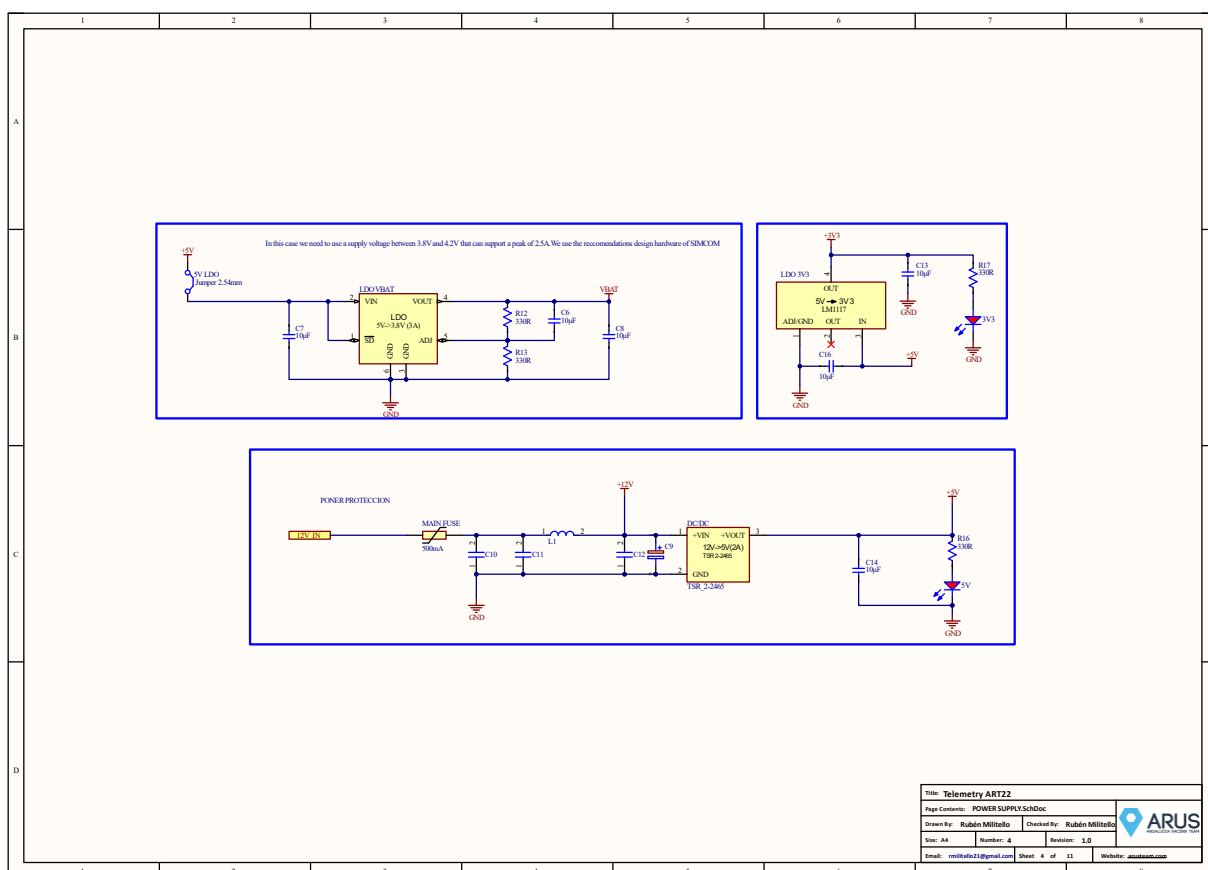


Ilustración 26: Esquemático del diseño de las etapas de alimentación

Puesto que el valor de tensión de la alimentación principal es variable es necesario elegir un regulador de tensión que tenga un gran rango de alimentación de entrada. En este caso se ha recurrido al convertidor CC/CC no aislado TSR 2-2450 fabricado por TRACO Power. Este tiene un rango de entrada de 6.5V-36V y proporciona una salida de 5V con una corriente de hasta 2A.

El motivo principal por el que hemos elegido un regulador conmutado es debido a la eficiencia del 96% (sin disipador) que asegura el fabricante en su hoja de datos y por su gran precisión en la tensión de salida. Los convertidores de esta tecnología son más costosos al igual que todos los componentes pasivos que son necesario en su acondicionamiento [4].

En esta etapa la alimentación de entrada es compartida con el resto de los subsistemas de baja tensión del monoplaza por lo que se ha puesto un fusible con su porta fusible como protección debido a que es una alimentación compartida. El resto del acondicionamiento es el recomendado por el fabricante en el datasheet [4]. Se trata de un filtro pi compuesto por la bobina L1 y los condensadores C11 y C12. Además, recomienda añadir C10, C9 y en la salida C14.

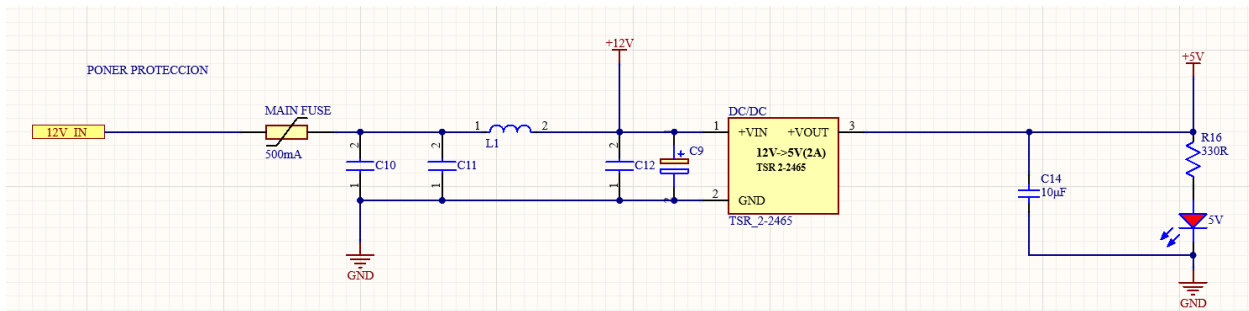


Ilustración 27: Etapa de alimentación 12V a 5V

Para la etapa de alimentación de 5V a 3.3V hemos empleado un regulador lineal ya que la potencia que debe disipar es mucho menor ya que tiene una entrada estable de 5V proveniente de la etapa anterior de alimentación. Hemos recurrido al regulador lineal de 5V a 3.3V LM1117MP-3.3/NOPB de Texas Instruments.

En este caso el acondicionamiento es más reducido ya que consiste simplemente en añadir en la entrada el condensador C16 y C13 a la salida para compensar la pérdida de corriente en caso de un cambio instantáneo en la corriente de salida, mejorando la respuesta transitoria de la carga.

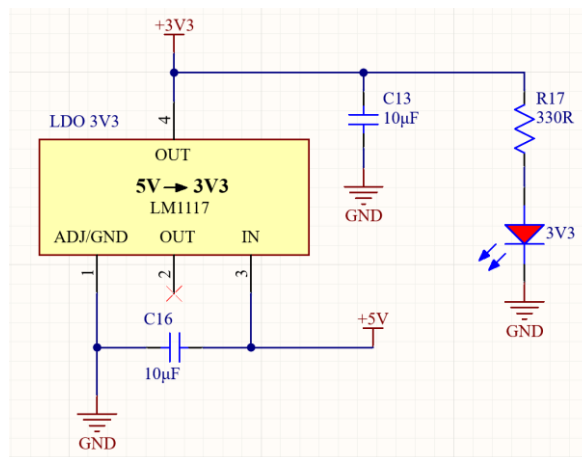


Ilustración 28: Etapa de alimentación 5V a 3.3V

Respecto al encapsulado hemos optado por un SOT223 de los diferentes que ofrece el fabricante. Para justificar el uso de dicho encapsulado hemos realizado los siguientes cálculos [5]:

$$\text{Potencia Disipada por el regulador lineal: } P_D = [(V_{in} - V_{out}) * I_{out}] + (V_{in} * I_{GND})$$

$$\text{Donde } V_{in} = 5V, V_{out} = 3.3V, I_{out} = 200mA, I_{GND} = 10mA$$

$$P_D = [(5 - 3,3) * 0,2] + (5 * 0,01) = 0,39W$$

Si calculamos ahora la temperatura de funcionamiento más alta en el regulador para una carga supuesta de 200mA:

$$T_J = T_A + (R_{\theta JA} * P_D)$$

Donde $T_A = 30^\circ$ (Suponemos temperatura en verano), $R_{\theta JA} = 61,6 \frac{^\circ}{W}$ y $P_D = 0,39W$

$$T_J = 35^\circ C + (61,6^\circ * 0,39) = 59,024^\circ C$$

Teniendo en cuenta que en la hoja de datos del fabricante tenemos una temperatura máxima de funcionamiento de $150^\circ C$ por lo que nuestro encapsulado seleccionado es correcto para la potencia máxima disipada supuesta para la etapa de 3.3V (200mA se estima que sería un consumo sobredimensionado para esta etapa).

Para la etapa de alimentación VBAT (la cual debe estar entre 3.4V y 4.2V) hemos recurrido también a un regulador lineal de 5V a 3.8V (voltaje nominal recomendado por el fabricante). Dicha etapa se encarga de la alimentación del módulo SIM7600E-H el cual sufre pico de hasta 2A cuando se emplea las señales GSM/GPRS tal y como indica la siguiente ilustración:

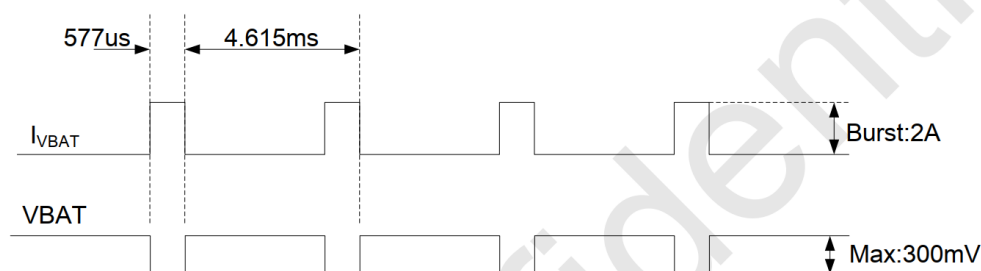


Figure 5: VBAT voltage drop during burst emission (GSM/GPRS)

Note: The test condition: The voltage of power supply for VBAT is 3.8V, $C_d=100 \mu F$ tantalum capacitor ($ESR=0.7\Omega$) and $C_f=100nF$ (Please refer to Figure 6—Application circuit).

Por ello debemos recurrir a un regulador lineal el cual su tensión de salida no caiga más de 0,4V cuando la carga es de hasta 2A. En nuestro caso lo ideal sería obtener conectividad 4G/LTE, pero debido a que en muchas ocasiones realizamos diversas pruebas en circuitos de motorsport en los cuales no tenemos una gran conectividad por lo que deberíamos conformarnos con GSM, aunque nuestra tasa disminuya drásticamente.

Debido a lo comentado anteriormente, hemos recurrido al regulador lineal ajustable LP3856ESX-ADJ/NOPB de Texas Instruments. Se trata de un regulador lineal con una mínima caída de tensión a la salida el que soporta hasta 3A a la salida.

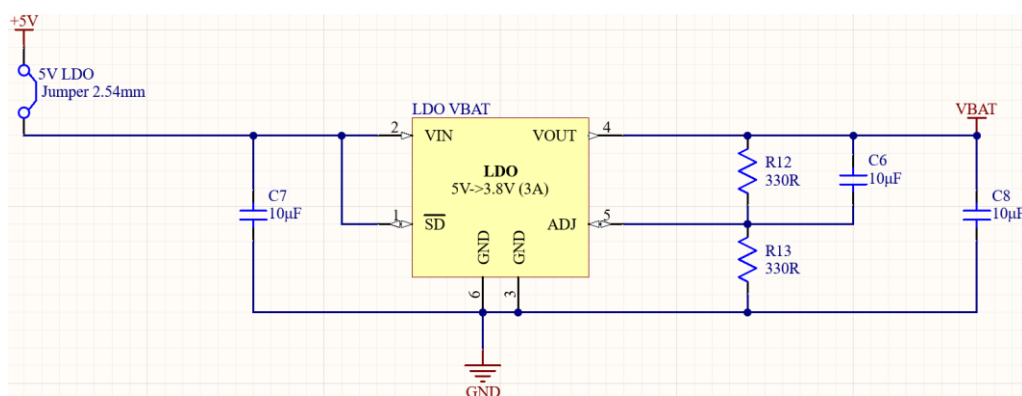


Ilustración 29: Etapa de alimentación 5V a 3.8V

Al igual que el circuito de la etapa de 3.3V el acondicionamiento se resumen en un condensador en la tensión de alimentación y otro en la tensión de salida. A diferencia del anterior se trata de un regulador ajustable por lo que se le ha añadido Rx Ry y Cz para obtener el valor de tensión deseado (en este caso 3.8V). Tal y como indica la hoja de datos del fabricante la tensión de salida viene dada por la siguiente ecuación [6]:

$$V_{OUT} = 1.216 * \left(1 + \frac{R1}{R2}\right)$$

Respecto al encapsulado hemos optado por un DDPAK/TO-263-5 de los diferentes que ofrece el fabricante. Para justificar el uso de dicho encapsulado hemos realizado los siguientes cálculos [6]:

Potencia Disipada por el regulador lineal: $P_D = [(V_{in} - V_{out}) * I_{out}] + (V_{in} * I_{GND})$

Donde $V_{in} = 5V, V_{out} = 3.8V, I_{out} = 200mA, I_{GND} = 10mA$

$$P_D = [(5 - 3,8) * 2] + (5 * 0,01) = 2,45W$$

Si calculamos ahora la temperatura de funcionamiento más alta en el regulador para una carga supuesta de 200mA:

$$T_J = T_A + (R_{\theta JA} * P_D)$$

Donde $T_A = 30^\circ$ (Suponemos temperatura en verano) y $P_D = 0,29W$

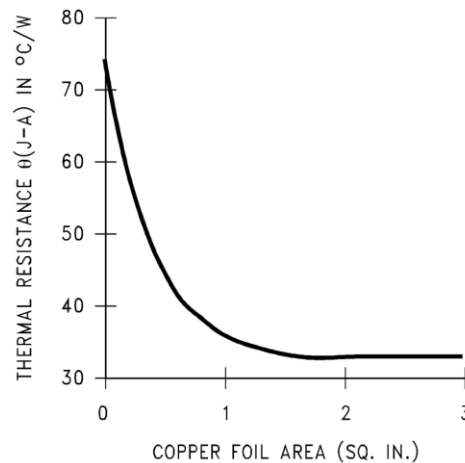


Ilustración 30: Resistencia térmica en función del área

Teniendo en cuenta la gráfica anterior podemos suponer una $R_{\theta JA}$ de $65^\circ C/W$

$$T_J = 35^\circ C + (65^\circ * 2,45) = 194,25^\circ C$$

Si calculamos el valor deseado de nuestra resistencia térmica que deberíamos utilizar para estar al límite de los 150° , obtendríamos el siguiente valor:

$$R_{\theta JA} = \frac{T_{Rmax}}{P_D} = \frac{T_J - T_{Amax}}{P_D} = \frac{150 - 40}{2,45} \approx 44,89 \frac{^\circ}{C}$$

En este caso podemos observar que simplemente con hacer un poco más grande la superficie de cobre a 0,5 pulgadas al cuadrado. En este caso como nuestro consumo nominal no es 2A (El pico de intensidad tiene un periodo de 4,6 ms y una duración de $577\mu s$) y además nuestro modo de funcionamiento es con conectividad LTE en el cual el consumo máximo es de 0,6A.

A lo que refiere al esquemático podemos resumir el diseño en los siguientes puntos:

1. Conexión USB:

Para empezar, se asignaron los pines D+ y D- del FT232RL a los pines correspondientes del conector USB. Estos son los canales de datos bidireccionales para la comunicación USB. Aseguré que el conector USB estuviera bien identificado en el esquemático.

Se añadieron varios diodos TVS para mayor protección eléctrica ya que el conector USB se manipula con frecuencia y podemos tener una descarga ESD. Los diodos TVS son empleados en aplicaciones de protección contra ESD para desviar la corriente generada por la descarga electrostática lejos de los componentes electrónicos sensibles.

Cuando una descarga ESD se produce en el circuito protegido, el diodo TVS se activa instantáneamente, proporcionando una ruta de baja resistencia para que la corriente fluya hacia tierra. Esto evita que la energía de la descarga dañe los componentes electrónicos al limitar el voltaje que llega a ellos.

2. Pines de alimentación:

Conecté el pin VCC del FT232RL a la fuente de alimentación del circuito, que era de 5V en este caso. En el caso del pin VCCIO lo conecté a 3.3V ya que la transmisión. El pin GND se conectó al plano de tierra para establecer la referencia de voltaje común en todo el circuito. Por último, añadieron diversos condensadores de desacoplo de valores típicos.

3. Pines UART:

Enlacé el pin TXD del FT232RL al pin RX del microcontrolador con el que estaba comunicando, y el pin RXD del FT232RL al pin TX del microcontrolador. Esta configuración permitiría la comunicación serial entre los dos dispositivos. Además, se añadieron unas resistencias pull-up a 3.3V.

4. Pines de control y programación:

EN (Enable) y GPIO0: El pin EN es el pin de habilitación del ESP32. Se debe conectar a 3.3V para que el ESP32 funcione.

El pin GPIO0 se utiliza para poner el ESP32 en modo de programación o arranque normal. Para programar, GPIO0 debe estar conectado a tierra (GND); para arranque normal, debe estar conectado a 3.3V.

Gracias a los transistores (BJTs) empleados y conectando las señales de EN y IO0 a las diferentes entradas de estos podemos programar directamente el microcontrolador.

5. Pines GPIO:

Decidí utilizar algunos pines GPIO para controlar LED indicadores (en este caso los pines CBUS0 y CBUS1). Con esto se puede depurar de manera visual si el integrado está recibiendo y transmitiendo ya que cada uno de ellos se encienden cuando las señales TX y RX están funcionando. Los configuré como salidas y los conecté a través de resistencias limitadoras de corriente.

6. Pin Reset:

En este caso se hizo un divisor resistivo empleando las resistencias R22 de 4.7k Ω y R23 de 10k Ω . Ya que una tensión de referencia de 5V obtenemos un valor de 3.4V. Debido a que el pin de 'reset' se activa con un nivel lógico bajo (respetando todos los umbrales eléctricos del datasheet) estamos forzando que nunca se reinicie.

2.6 Celdas De Potencia y Entradas aisladas

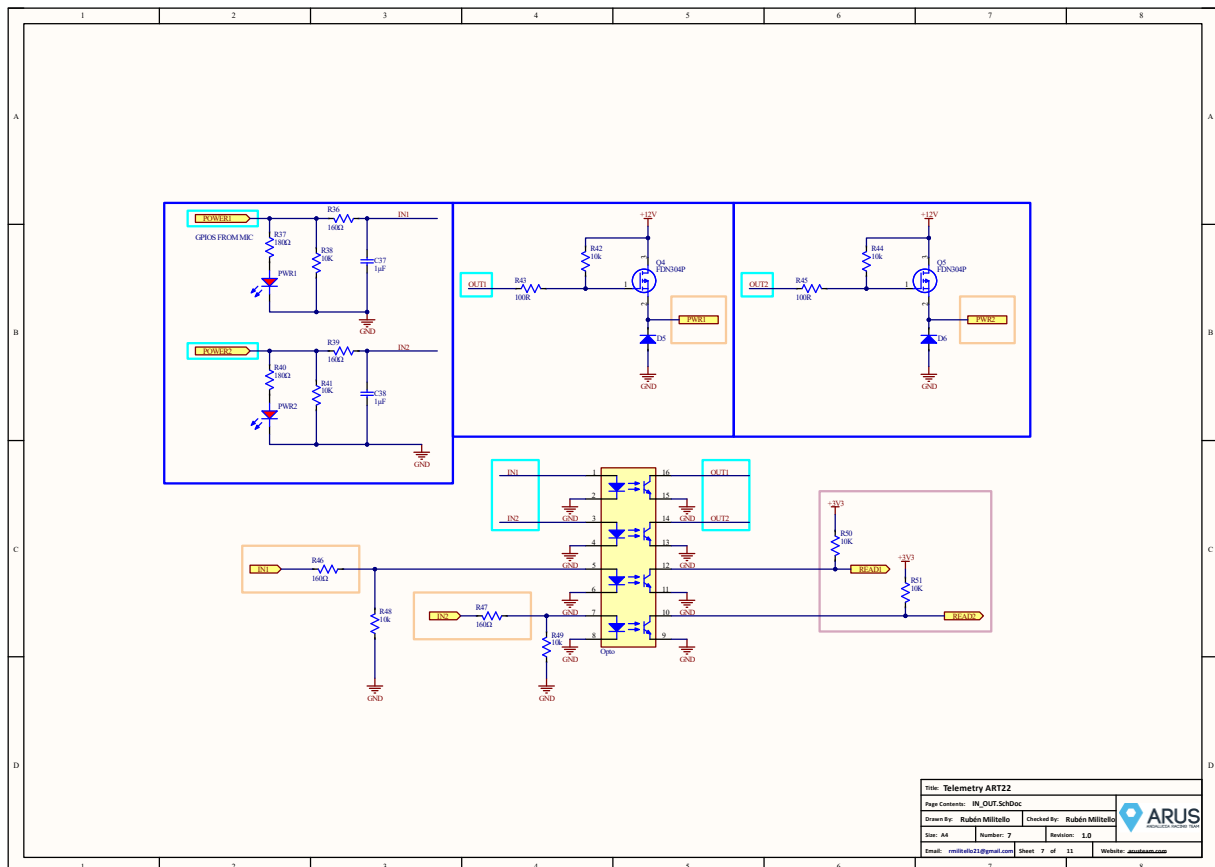


Ilustración 32: Hoja de esquemático de las celdas de potencia y entradas aisladas

Este diseño de esquemático puede ser dividido en dos bloques principalmente:

- Celdas de potencia: Permite alimentar ciertos subsistemas del monoplaza a 12V.
- Entradas aisladas: Nos permite leer entradas de tensión configurable a través del microcontrolador.

Las celdas de potencia (2 incluidas en esta PCB) consisten en un optoacoplador el cual es controlado por un pin del microcontrolador. Dicho optoacoplador controla la puerta de un transistor tipo P (como un interruptor el cual da 12V o alta impedancia).

Con el pin del microcontrolador a nivel lógico alto polarizamos el led (el cual a su vez debe ser capaz de polarizar un fototransistor), y como consecuencia introduce un valor lógico '0' en la puerta del MOSFET tipo P, activando los 12V de salida. En el caso de que el microcontrolador de un nivel lógico bajo, el led no se polarizará y por consecuencia el fototransistor tampoco. Al tener una 'pull up' a 12V en la puerta del MOSFET tipo P, tendremos a la salida alta impedancia. En el siguiente esquema se muestra el funcionamiento lógico:

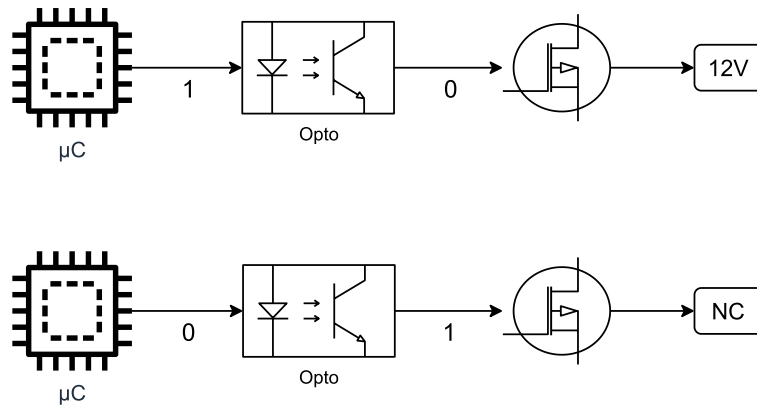


Ilustración 33: Esquema lógico celda de potencia

Se ha añadido un led en cada salida del microcontrolador para visualmente poder depurar si cada se ha activado de manera correcta (Posee gran utilidad para depurar el correcto funcionamiento cuando a través de la interfaz gráfica se activa cualquiera de las dos salidas).

Se ha dimensionado el valor de las resistencias para obtener una corriente de polarización del orden de 12mA (según la hoja de datos permite como valor absoluto hasta 50mA). [8]

En el caso del MOSFET tipo P se ha dimensionado todas las resistencias para respetar el rateo máximo que indica el fabricante en la hoja de datos. [9]

Las entradas aisladas nos permiten leer diferentes puntos de tensión presente en diferentes subsistemas del monoplaza con el objetivo de poder monitorizar diferentes funcionalidades del monoplaza. Podemos monitorizar hasta dos etapas del shutdown para verificar el estado de algún subsistema y visualizar el estado del circuito de shutdown a través de la interfaz gráfica. En este caso tenemos una lógica inversa de lectura. Es decir, un valor de 12V a la entrada del optoacoplador supone un '1' lógico para el microcontrolador y viceversa.

Un valor de tensión en la entrada de 5V,12V (es ajustable con la resistencia serie que posee el led del optoacoplador) supone polarizar el led y por consecuencia polarizar el fototransistor, lo que supone un '0' lógico en la lectura del microcontrolador. Para una lectura de 0V obtendremos un '1' lógico en el microcontrolador.

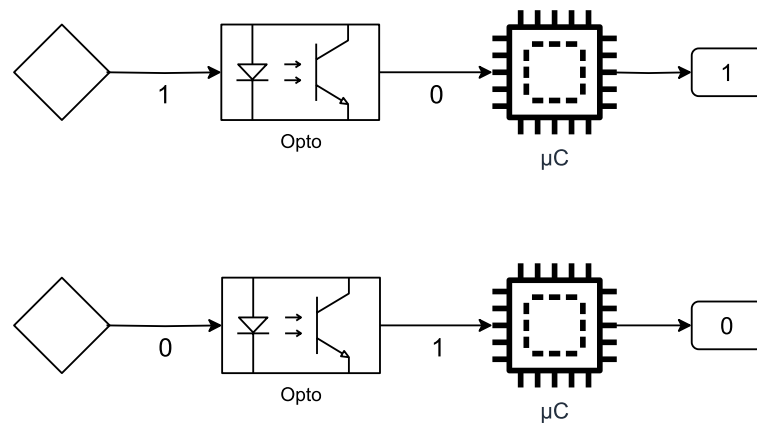


Ilustración 34: Esquema lógico de las medidas aisladas

2.7 Microcontrolador

El ESP32-WROOM-32D es un módulo específico del ESP32 fabricado por Espressif Systems. Este módulo presenta las siguientes características: [10]

1. Microcontrolador de doble núcleo: Al igual que el ESP32-WROOM-32D genérico, este módulo contiene un microcontrolador de doble núcleo Tensilica LX6 que ofrece una velocidad de reloj de hasta 240 MHz.
2. Conectividad inalámbrica: El módulo ofrece conectividad Wi-Fi 802.11 b/g/n y Bluetooth v4.2 (Bluetooth Low Energy), lo que permite la comunicación inalámbrica con otros dispositivos y acceso a Internet.
3. Memoria: El ESP32-WROOM-32D (M113DH3200PH3Q0) generalmente viene con una memoria flash integrada de tamaño variable, que puede oscilar entre 4 MB y 16 MB.
4. Periféricos y E/S: Al igual que el ESP32-WROOM-32D estándar, este módulo también tiene una variedad de interfaces periféricas, como UART, I2C, SPI, I2S, ADC, DAC, PWM, GPIO y más, lo que facilita la conexión y el control de diversos sensores y actuadores.
5. Bajo consumo de energía: Este módulo, al ser parte de la familia ESP32, también ofrece eficiente consumo de energía, lo que lo hace adecuado para dispositivos portátiles y con batería.
6. Sistema operativo y programación: Puede ejecutar el sistema operativo FreeRTOS y es compatible con el framework de desarrollo Arduino, lo que facilita la programación y desarrollo de aplicaciones.
7. Antena integrada: Este módulo también incluye una antena integrada, lo que facilita su diseño y reduce el espacio necesario para la implementación.

En esta parte del esquemático diseñamos todo el acondicionamiento necesario para el correcto funcionamiento del microcontrolador. En este caso hemos recurrido al ESP32-WROOM-32D como el microcontrolador principal de nuestra PCB.

En primer lugar, destacamos los dos pulsadores para reiniciar y activar el modo 'bootloader' del microcontrolador. Se ha añadido un filtro anti-rebote para evitar la interpretación de pulsaciones no reales por parte del microcontrolador.

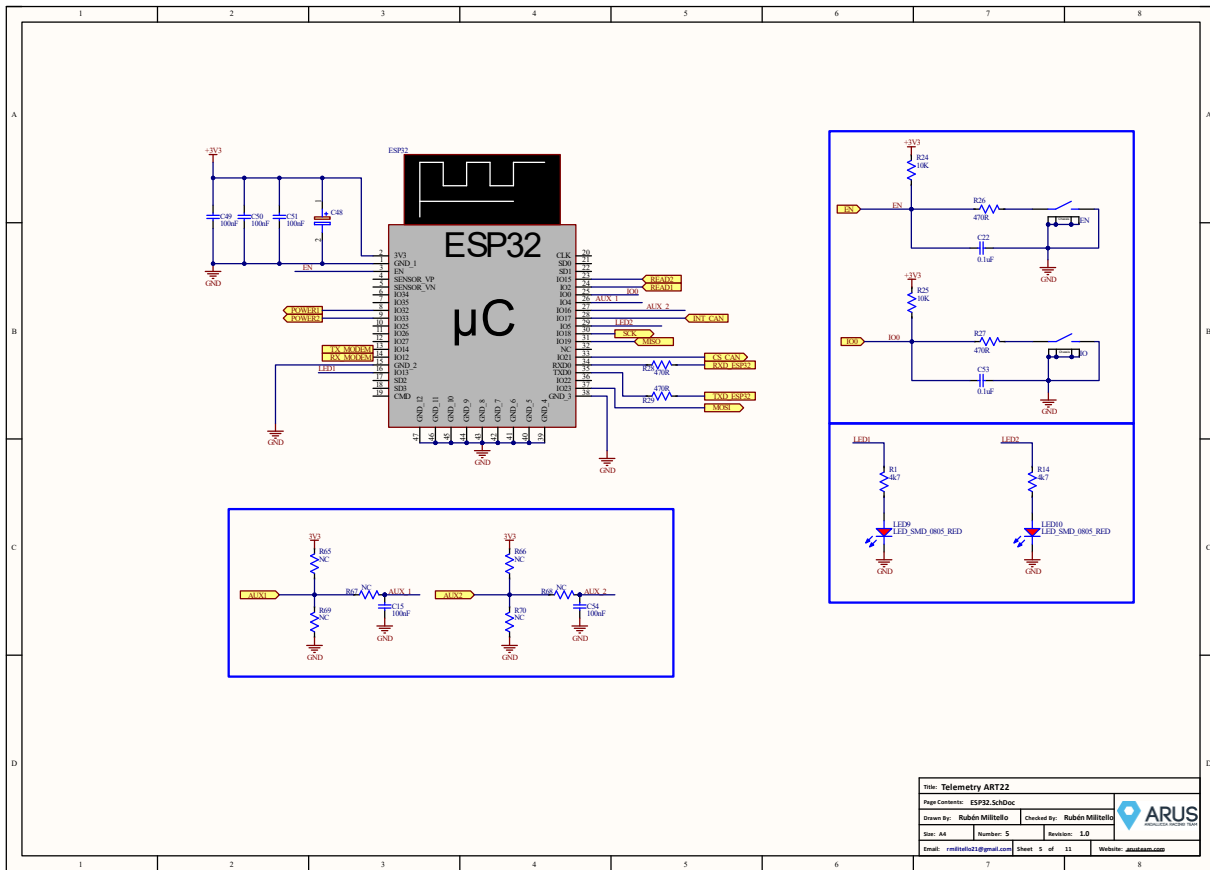


Ilustración 35: Hoja esquemático del microcontrolador

1. Botón de bootloader (Boot button): El ESP32-WROOM-32D (M113DH3200PH3Q0) suele incluir un botón de bootloader que se utiliza para colocar el módulo en modo de arranque especial. Este modo permite la carga del firmware o la reprogramación del ESP32-WROOM-32D utilizando herramientas de programación.
2. Botón de reset (Reset button): El módulo también cuenta con un botón de reset que se utiliza para reiniciar el microcontrolador. Al presionar este botón, se borra el estado actual del ESP32 y se reinicia el programa o firmware.
3. Condensadores de desacoplo (Decoupling capacitors): En el diseño del circuito del ESP32-WROOM-32D, se recomienda utilizar condensadores de desacoplo para asegurar una fuente de energía estable y reducir el ruido en el suministro de energía. Estos condensadores se colocan cerca de la fuente de alimentación del módulo y se conectan entre los pines de alimentación (VCC) y tierra (GND) para filtrar y estabilizar las fluctuaciones de voltaje.

Los botones de bootloader y reset son útiles durante el proceso de programación y depuración del módulo, ya que permiten controlar el inicio y reinicio del ESP32-WROOM-32D.

2.8 Driver Can y Transceiver

La hoja de esquemático del bus CAN queda resumida de la siguiente manera:

1. MCP2515: Es el controlador CAN y está conectado al microcontrolador a través de la interfaz SPI. El MCP2515 se encarga de gestionar el protocolo CAN, incluida la transmisión y recepción de mensajes.
2. Transceptor SN65HVD251D: Este es el transceptor CAN que se encarga de la capa física de la comunicación CAN. Proporciona la interfaz entre el controlador CAN y el cableado del bus CAN.
3. Cristal: El MCP2515 requiere un cristal externo para generar el reloj necesario para su funcionamiento.
4. Condensadores de desacoplamiento: Se colocan condensadores de desacoplamiento cercanos al MCP2515, SN65HVD251D y al cristal para filtrar el ruido y garantizar una alimentación estable.
5. Resistores de terminación: Al igual que en las descripciones anteriores, el bus CAN requiere resistencias de terminación de 120 ohmios en ambos extremos del bus para evitar problemas de reflexión de señal.
6. Fuente de alimentación: Tanto el MCP2515 como el SN65HVD251D necesitan una fuente de alimentación adecuada para su correcto funcionamiento. Asegúrate de suministrar la tensión de alimentación especificada por los fabricantes.
7. Otros componentes: Dependiendo del diseño específico, es posible que haya otros componentes adicionales, como resistencias de pull-up o pull-down, filtros y protecciones contra sobretensiones y descargas electrostáticas.

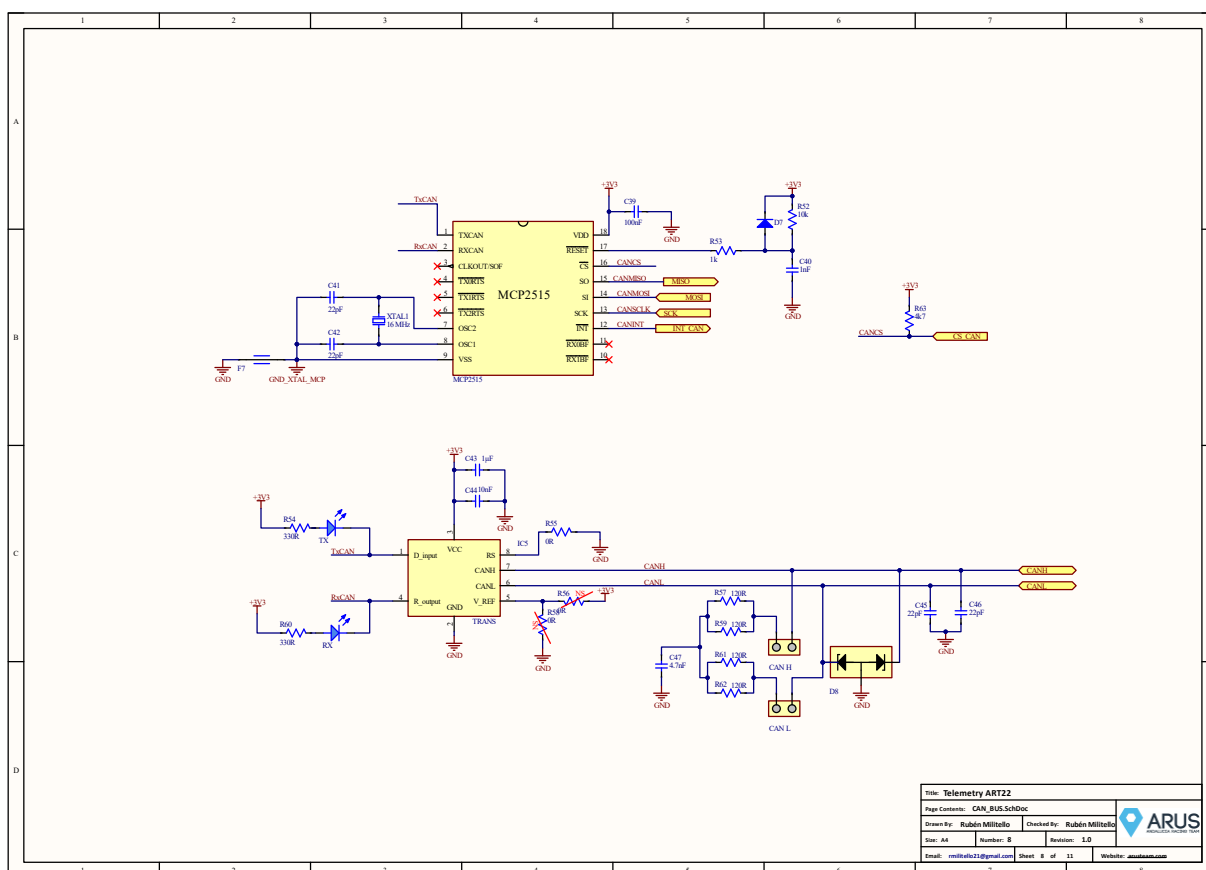


Ilustración 36: Hoja de esquemático del bus CAN

2.9 Conector PCB

El conector empleado es el M80-5001442 de Harwin. Es un conector macho para PCB Ángulo recto HARWIN serie Datamate J-Tek de 14 vías, 2 filas, paso 2.0mm.

En la siguiente tabla queda resumida el pin -out del conector de la PCB:

Designador	Nombre	Descripción	Designador	Nombre	Descripción
1	IN2	Entrada aislada	8	AUX1	Entrada digital
2	IN1	Entrada aislada	9	AUX2	Entrada digital
3	PWR2	12V de salida	10	GND_IN	Referencia
4	PWR1	12V de salida	11	GND_IN	Referencia
5	CANL	Señal diferencial negativa	12	GND_IN	Referencia
6	CANH	Señal diferencial positiva	13	GND_IN	Referencia
7	NC	N/A	14	12V_IN	Alimentación

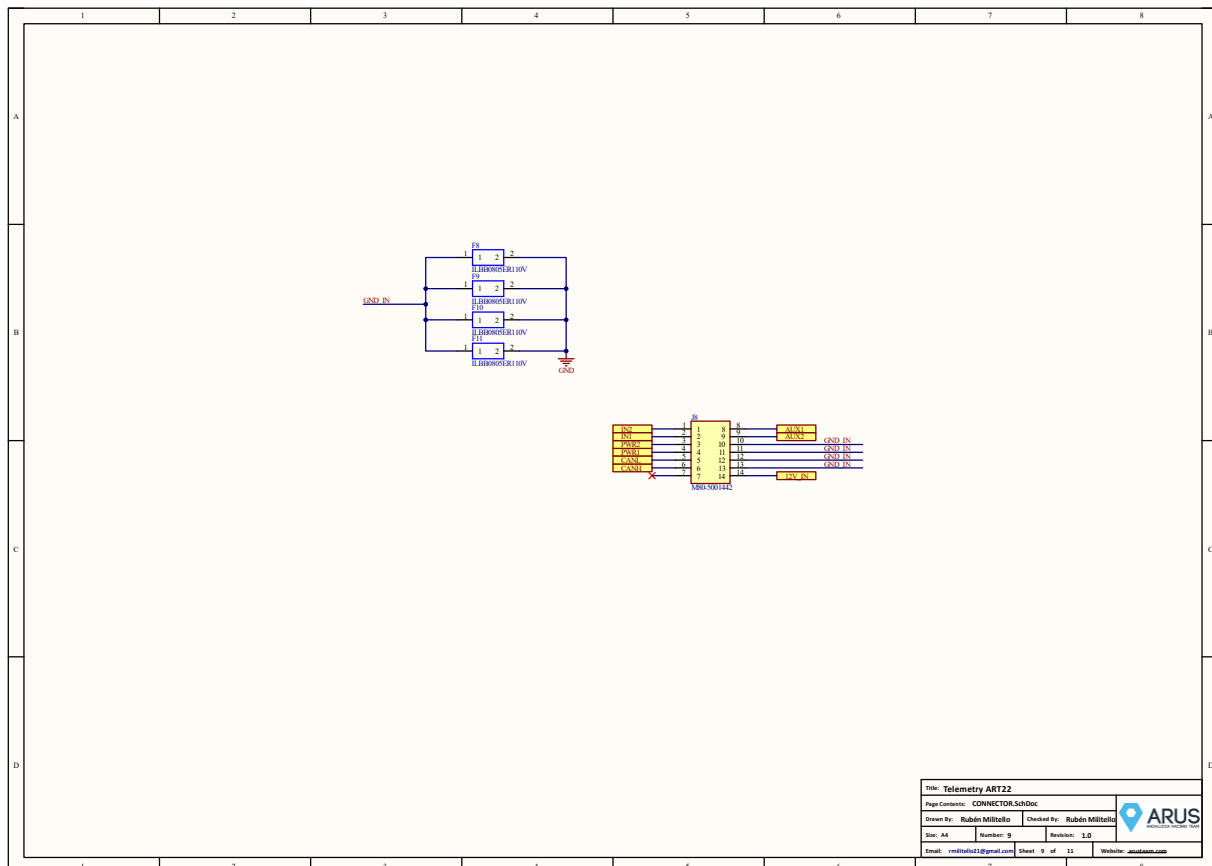


Ilustración 37: Hoja de esquemático del conector de la PCB

2.10 SIM7600E-H

El SIM7600E-H es un módulo celular fabricado por SIMCom Wireless Solutions, una empresa líder en soluciones y módulos de comunicación inalámbrica. Forma parte de la serie SIM7600 y está diseñado para proporcionar una conectividad celular confiable para diversas aplicaciones.

Las características principales del SIM7600E-H son las siguientes: [11]

1. **Conectividad Celular:** El módulo admite redes 2G (GSM/GPRS), 3G (UMTS/HSPA) y 4G LTE (LTE-FDD/LTE-TDD). Esto le permite conectarse a una amplia gama de redes celulares en todo el mundo, lo que lo hace adecuado para despliegues globales y regionales.
2. **Comunicación de Datos:** El SIM7600E-H permite la comunicación de datos a través de varias interfaces, como UART, USB y GPIO, lo que le permite integrarse con diferentes dispositivos principales como microcontroladores, computadoras de placa única u otros sistemas integrados.
3. **Sistema de Posicionamiento Global (GPS):** Algunas variantes de la serie SIM7600 vienen con funcionalidad GPS integrada. Esto permite el seguimiento de ubicación y capacidades de posicionamiento, útiles para aplicaciones que requieren servicios basados en la ubicación.
4. **Soporte para Voz y SMS:** El módulo puede admitir llamadas de voz y mensajes de texto SMS, lo que lo convierte en una solución de comunicación completa para ciertas aplicaciones.
5. **Interfaz de Tarjeta SIM:** El módulo generalmente tiene una interfaz para insertar una tarjeta SIM estándar, lo que le permite autenticarse con la red celular y acceder a los servicios de datos.

Resumen Detallado del Esquemático para el Módulo Simcom 7600E-H:

1. **Acondicionamiento del Módulo Simcom 7600E-H:**

El diseño comprende estrategias clave para optimizar el rendimiento y la confiabilidad del módulo Simcom 7600E-H:

Condensadores de Desacople: Se implementan condensadores de desacople estratégicamente conectados en paralelo a la fuente de alimentación. Esto contrarresta eficazmente el ruido y las fluctuaciones en la tensión de alimentación, garantizando un suministro eléctrico estable y limpio.

Filtro de Alimentación: Siguiendo las directrices de diseño del fabricante, se introduce un filtro en la trayectoria de alimentación. Esto ayuda a reducir las interferencias electromagnéticas y asegura que la señal de alimentación llegue al módulo en condiciones óptimas.

Botón de Reinicio con Filtro Anti-Rebote: Se incorpora un botón de reinicio diseñado con un circuito de filtro anti-rebote. Este diseño inteligente minimiza la posibilidad de activaciones no deseadas debido a fluctuaciones temporales en la señal del botón.

2. **Indicadores LED:**

Indicador de Estado de Red: El esquemático incluye un primer LED que actúa como indicador visual del estado de la red del módulo. Este LED proporciona una retroalimentación rápida y clara sobre si el módulo está conectado a una red o no.

Indicador de Alimentación: Un segundo LED se utiliza para señalar si el módulo está recibiendo alimentación eléctrica. Esto permite una rápida verificación de la disponibilidad de energía sin la necesidad de comprobar manualmente conexiones eléctricas.

3. **Control de Encendido (Power Key):**

Flexibilidad de Encendido y Apagado: Para administrar el encendido y apagado del módulo, se ha integrado un control mediante jumper. Esto facilita el proceso de manipulación y brinda la posibilidad de desconectar el módulo según las necesidades.

Habilitación Permanente: Existe la opción de establecer una habilitación permanente del módulo

mediante la soldadura de la resistencia R15. Esta característica puede ser útil en escenarios donde se requiere que el módulo permanezca activo continuamente.

4. Modo de Vuelo (Flight Mode):

Gestión del Modo Avión: Se proporciona un mecanismo para activar el modo avión en el módulo Simcom 7600E-H. Esta funcionalidad es análoga al control de encendido (Power Key) y permite poner el módulo en un estado de baja energía para cumplir con los requisitos de restricciones de comunicación.

5. Traductor de Voltaje para Comandos AT:

Superación de Diferencias de Tensión: Dado que la salida UART del Sim7600E-H opera a 1.8V y el microcontrolador ESP32 opera a 3.3V, se ha implementado el integrado TXB0108 de Texas Instruments. Este componente facilita la comunicación entre ambos dispositivos al realizar una conversión de niveles de tensión bidireccional de 8 bits. Su detección automática de dirección garantiza una interfaz eficaz y segura.

6. Pines de Depuración:

Facilitando la Depuración: El esquemático incluye pines designados para la interfaz I2C y la interfaz UART del módulo. Estos puntos de acceso permiten una conexión conveniente para tareas de depuración y comunicación con el módulo. Proporcionan una vía para monitorear y ajustar el comportamiento del módulo durante el desarrollo y las pruebas.

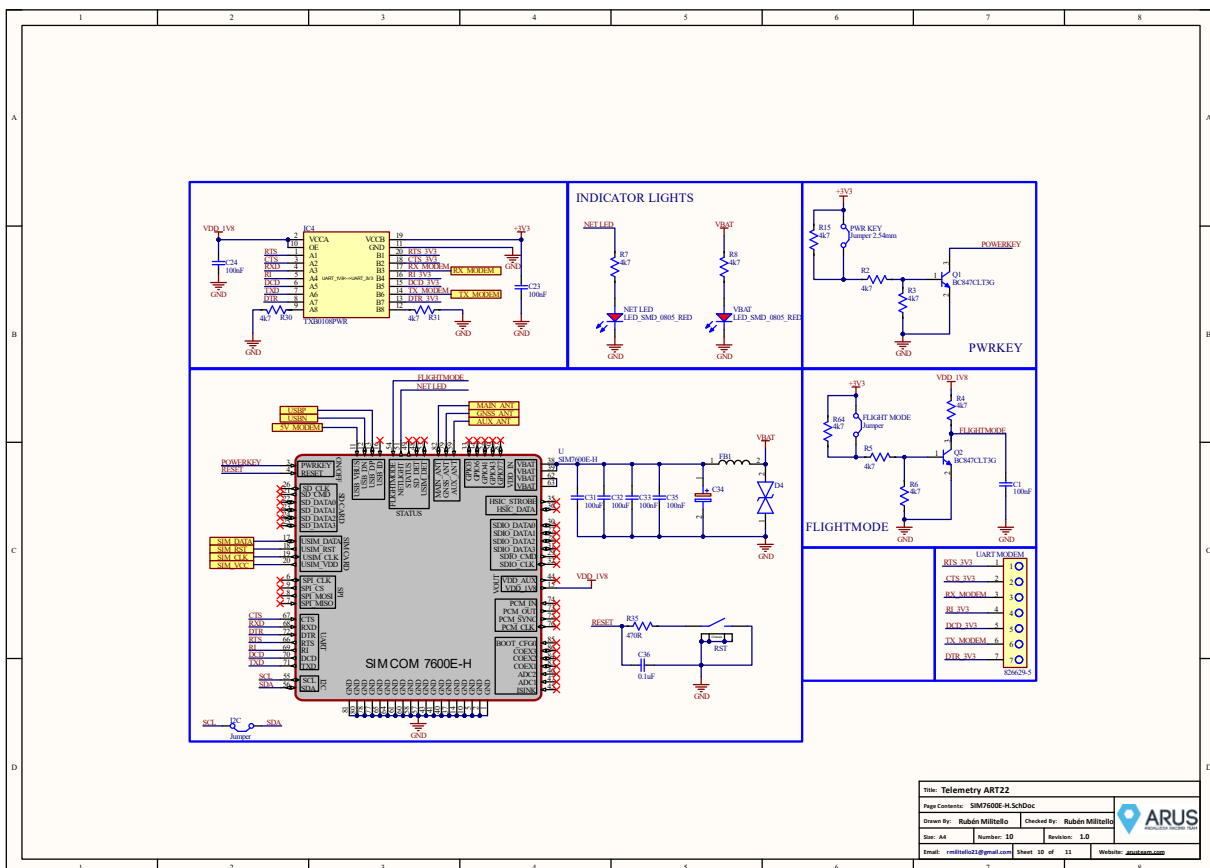


Ilustración 38: Esquemático para el módulo Simcom 7600E-H

2.11 Interfaz USB del SIMCOM 7600E-H

En la fase inicial del diseño, se procedió a la asignación precisa de los pines D+ y D- del FT232RL, garantizando una correspondencia adecuada con los pines correspondientes en el conector USB. Estos pines son esenciales, ya que constituyen los canales de datos bidireccionales fundamentales para la comunicación USB. Se prestó una atención meticulosa a la representación correcta del conector USB en el esquema, asegurando así su identificación sin ambigüedades.

Conscientes de la exposición frecuente del conector USB a manipulaciones, se implementó una estrategia de protección eléctrica integral. Para este propósito, se incorporaron diodos TVS, cuya función principal radica en salvaguardar los componentes electrónicos ante las amenazas de descargas electrostáticas (ESD). Estos diodos son una elección óptima en situaciones que requieren protección contra ESD, ya que derivan eficazmente la corriente generada por estas descargas, desviándola de manera segura lejos de los elementos electrónicos sensibles.

El principio detrás de los diodos TVS es sencillo pero efectivo: en caso de una descarga ESD en el circuito protegido, el diodo TVS se activa de inmediato, estableciendo una vía de baja resistencia para el flujo de corriente hacia la tierra. Este mecanismo impide que la energía liberada por la descarga cause daños a los componentes electrónicos al limitar el voltaje que alcanza dichos componentes.

De manera adicional, se incorporó un fusible como una capa suplementaria de protección. Este componente juega un papel crucial al interrumpir la corriente eléctrica cuando esta supera un nivel predeterminado. Al hacerlo, el fusible desempeña un papel crucial en la prevención de situaciones como cortocircuitos y sobrecorrientes, que podrían tener consecuencias perjudiciales para el circuito.

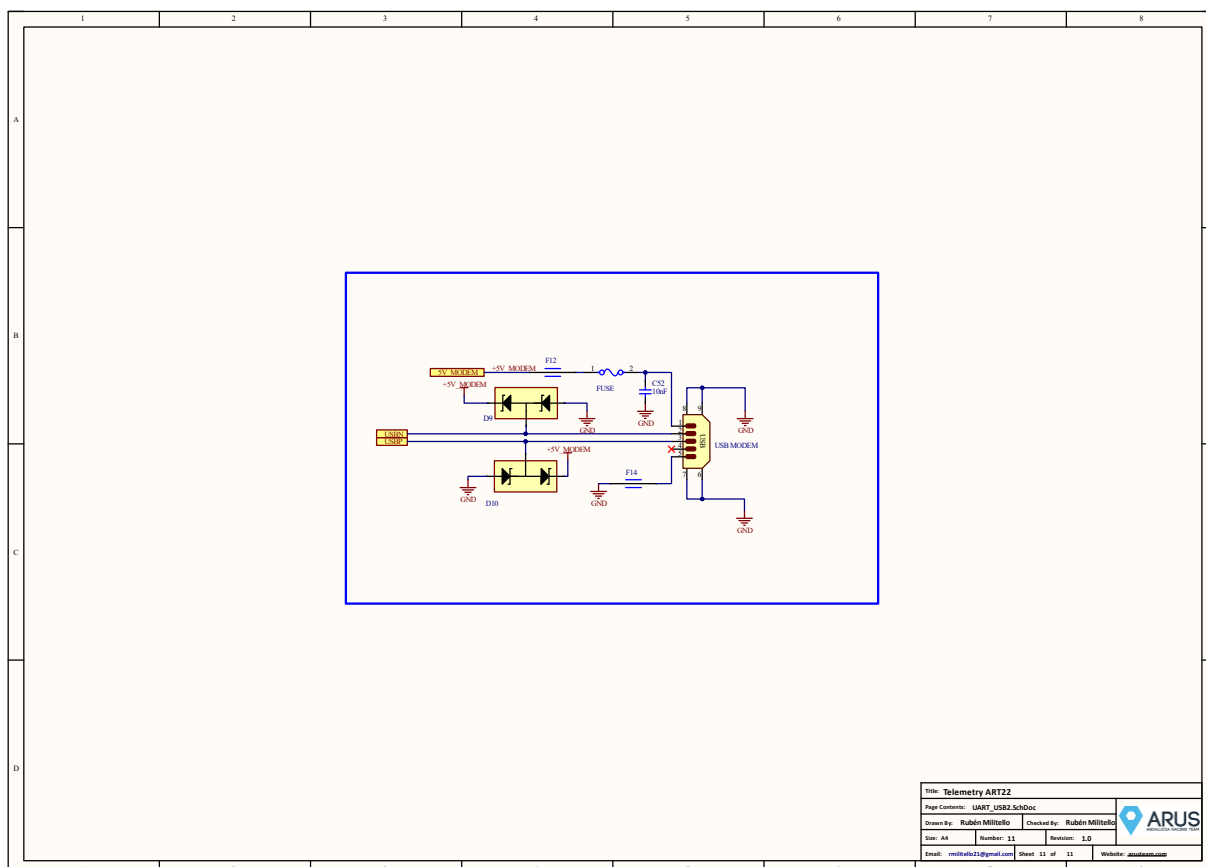


Ilustración 39: Interfaz USB del SIMCOM 7600E-H

3 LAYOUT PCB

A continuación, podemos observar una vista en 3D de la PCB:

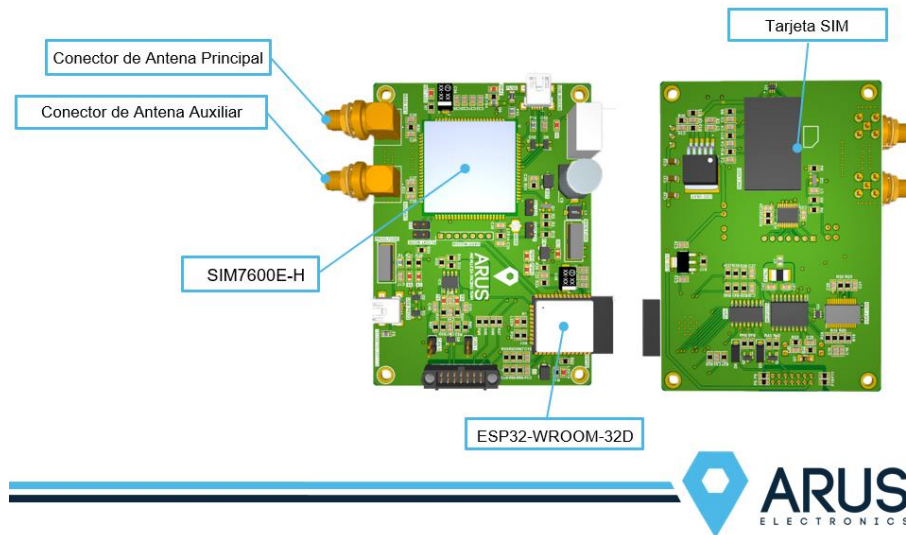


Ilustración 40: Vista superior e inferior de la PCB

3.1 Resumen del Layout

Desde el principio, nos enfocamos en la distribución de componentes de manera que las rutas de señal fueran lo más cortas y directas posible. Esto no solo mejora la eficiencia de las señales, sino que también ayuda a prevenir problemas de interferencia y ruido.

Hemos asignado capas internas específicas para el plano de tierra y el plano de alimentación, lo que proporciona una base sólida para todas nuestras señales. Esto reduce la interferencia electromagnética y garantiza un entorno más limpio para nuestras comunicaciones de telemetría.

Para las señales de alta velocidad, hemos utilizado pistas de impedancia controlada para asegurarnos de que las señales se transmitan de manera precisa y sin distorsiones. Esto es especialmente importante para mantener la integridad de los datos en aplicaciones de telemetría.

Las señales críticas, como los relojes y los buses de datos, han sido enrutadas de manera diferencial y cuidadosa para minimizar cualquier interferencia cruzada. Esto asegura que nuestras mediciones de telemetría sean precisas y consistentes.

Antes de finalizar el diseño, realizamos múltiples revisiones exhaustivas y verificaciones cruzadas para garantizar que todas las conexiones fueran correctas y que no hubiera errores de enrutamiento. También realizamos simulaciones para asegurarnos de que nuestras señales cumplieran con nuestras expectativas de rendimiento.

3.2 Stack Layer

El proceso de diseñar una placa de circuito impreso (PCB) es una fase crítica en el desarrollo de sistemas electrónicos. El stackup layer, que se refiere a la organización y disposición de las capas en una PCB, juega un papel fundamental en la funcionalidad y rendimiento del diseño. En este documento técnico, se presenta un enfoque exhaustivo para un stackup layer de 4 capas destinado a un sistema electrónico complejo que integra elementos como un microcontrolador, un modem LTE, conectores USB, antenas, indicadores LED y otros componentes. A continuación, se detallan las capas en su disposición vertical:

Capa de Enrutamiento (Top Layer): La capa superior de mi PCB, también llamada "Top Layer", está destinada al enrutamiento de pistas de señal. En esta capa se alojan los componentes electrónicos y se establecen conexiones esenciales para el funcionamiento del circuito. Aquí, el diseño de las pistas es crucial para garantizar la integridad de la señal y la funcionalidad del sistema. [12]

Capa de Plano de Tierra (GND Plane): Inmediatamente debajo de la capa de componentes se encuentra la capa de "GND Plane", que actúa como una conexión a tierra continua. Esta capa proporciona una referencia de voltaje estable y actúa como una ruta de retorno para las corrientes. Mantener una conexión a tierra adecuada es esencial para reducir el ruido y asegurar un rendimiento confiable. [12]

Capa de Alimentación (Power Plane): La siguiente capa es la de "Power Plane", donde se enrutan las pistas de alimentación. Aquí, se establecen trazados para llevar la energía a los diferentes componentes del circuito. Dependiendo de las necesidades del diseño, pueden existir planos de alimentación separados para diversos voltajes o corrientes. [12]

Capa de Enrutamiento (Bottom Layer): La capa inferior de la PCB, también conocida como "Bottom Layer", está destinada nuevamente al enrutamiento de señales. Aquí se completan las conexiones y trazas que no se pueden acomodar en las capas anteriores. Esta capa permite una mayor flexibilidad en el diseño y el enrutamiento. [12]

En conjunto, estas capas forman un "stack layer" estratégico que mejora la integridad de la señal, reduce el ruido y proporciona una distribución efectiva de energía en todo el circuito. Esta disposición de capas se ha diseñado para cumplir con los requisitos específicos del proyecto y asegurar un rendimiento correcto del sistema. [12]

3.2.1 Capa de Enrutamiento (Top Layer)

La primera capa del stackup en el diseño de sistemas electrónicos puede ser definida como la etapa inicial de ubicación estratégica de los componentes principales y el enrutamiento de señales críticas. En esta fase, se dedica un esfuerzo meticuloso a colocar los componentes esenciales en posiciones estratégicas que garanticen la accesibilidad y la optimización del funcionamiento del sistema. Además, se aborda el enrutamiento de las señales, un aspecto crucial para asegurar una transmisión de datos fluida y confiable entre los distintos componentes.

La primera capa del stackup desempeña un papel fundamental al dar cabida a los componentes principales que tienen un papel integral en la funcionalidad global del sistema. Elementos clave como el microcontrolador, el modem LTE, conectores USB y de antenas, así como otros componentes de mayor envergadura, encuentran su ubicación en esta capa. La elección estratégica de dónde colocar estos componentes está guiada por múltiples factores, como la necesidad de acceso, la interacción con señales de alta frecuencia y la eficiencia térmica.

Uno de los aspectos primordiales en esta capa es la cuidadosa disposición de los componentes para minimizar las longitudes de traza de señales críticas. Las longitudes de traza pueden afectar la integridad de las señales, especialmente en circuitos de alta frecuencia. Al ubicar los componentes de manera cercana y eficiente, se reducen las longitudes de traza, lo que disminuye las posibilidades de pérdida de señal o degradación del rendimiento.

Otro aspecto crucial es la reducción de las posibles interferencias electromagnéticas. Dado que los componentes en esta capa interactúan entre sí y con las señales de alta frecuencia, es esencial diseñar su disposición de manera que las interferencias electromagnéticas se minimicen. Esto se logra considerando las trayectorias de las señales y la orientación de los componentes en función de sus campos electromagnéticos.

Asimismo, esta capa puede albergar indicadores visuales, como LEDs, que brindan una retroalimentación visual directa sobre el estado del sistema. La colocación estratégica de estos elementos en la primera capa permite una observación rápida y sencilla del estado de funcionamiento.

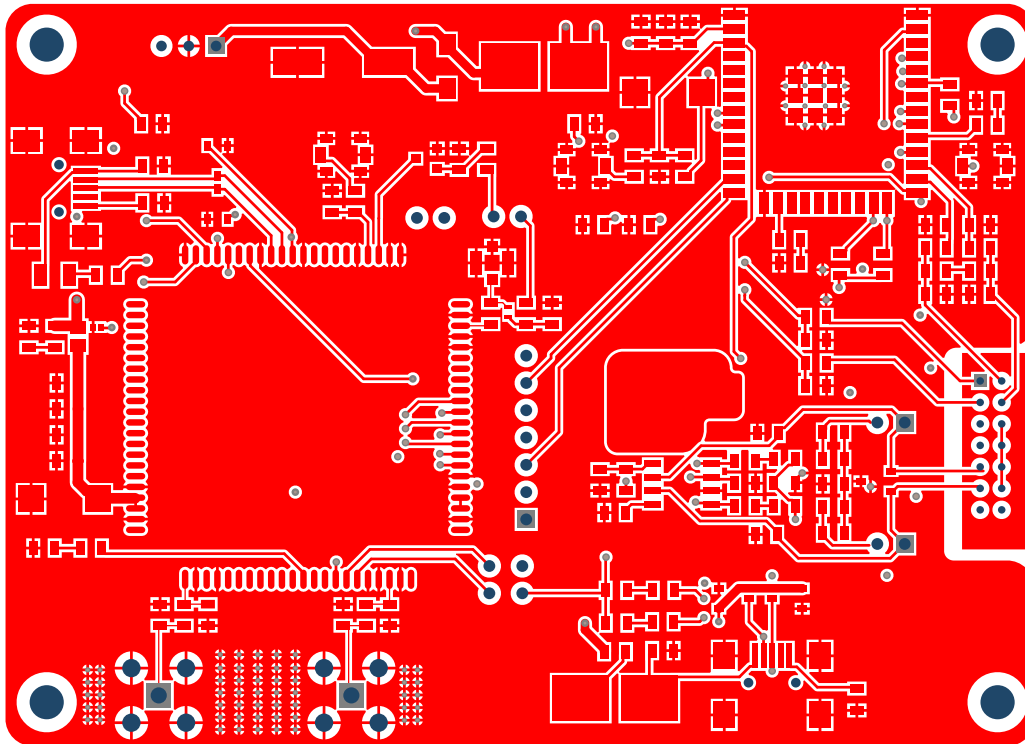


Ilustración 41: Capa Superior

3.2.2 Capa de Plano de Tierra (GND Plane)

La segunda capa de diseño en sistemas electrónicos, conocida como plano de tierra, desempeña un papel crítico en la estabilidad electromagnética y la gestión térmica del circuito. Definida como un plano continuo que abarca la totalidad de la superficie de la PCB, esta capa cumple una serie de funciones esenciales para asegurar el rendimiento óptimo y la confiabilidad del sistema.

En primer lugar, el plano de tierra se establece como una referencia de voltaje sólida y estable para las señales que circulan en la capa superior del diseño. Proporciona un nivel de voltaje de referencia contra el cual se miden las señales eléctricas. Esta referencia es crucial para garantizar la integridad de las señales, especialmente en circuitos que operan a altas frecuencias. La presencia de una referencia de voltaje sólida reduce la posibilidad de fluctuaciones y distorsiones en las señales, lo que podría comprometer el rendimiento y la precisión del sistema.

Uno de los aspectos más destacados del plano de tierra es su baja impedancia de retorno. Esto juega un papel fundamental en la minimización del ruido electromagnético. Cuando las señales eléctricas fluyen a través de las pistas de la capa superior, la corriente de retorno busca el camino de menor impedancia para regresar al punto de origen, que es el plano de tierra. La baja impedancia de retorno del plano de tierra garantiza que la corriente de retorno siga una ruta eficiente y de baja resistencia, lo que reduce la posibilidad de interferencias electromagnéticas que podrían afectar negativamente el rendimiento de circuitos sensibles o de alta frecuencia. [12]

Además de su función en la estabilidad electromagnética, el plano de tierra también desempeña un papel vital en la gestión térmica del sistema. La disipación de calor es un desafío crítico en la electrónica, ya que los componentes pueden generar calor durante su funcionamiento normal. El plano de tierra actúa como un eficiente disipador térmico al estar en contacto directo con la PCB y los componentes montados sobre ella. Esto ayuda a distribuir y disipar el calor de manera uniforme, evitando el sobrecalentamiento y contribuyendo a mantener la temperatura de los componentes dentro de límites seguros.

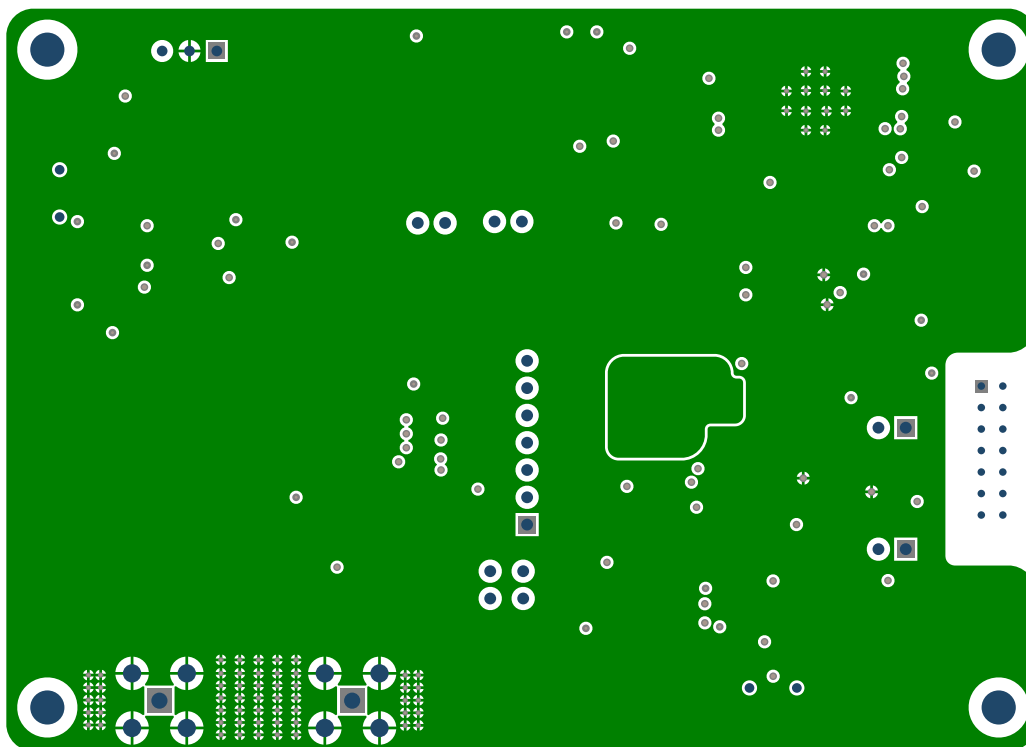


Ilustración 42: Capa plano GND

3.2.3 Capa de Alimentación (Power Plane)

La tercera capa de diseño en sistemas electrónicos se enfoca en la distribución eficiente de energía a través de

planos de alimentación. Este aspecto es crítico para garantizar el funcionamiento estable y confiable de los componentes y circuitos dentro del sistema. En esta capa, se implementa una estrategia de diseño que consiste en dividir los planos de alimentación en diferentes niveles de voltaje requeridos por el sistema.

En este caso, se mencionan varios niveles de voltaje, como 3.3V, 5V, 3.8V y 12V, que son esenciales para el funcionamiento de diferentes partes del sistema. La precisión en el establecimiento de estos planos de alimentación es fundamental para lograr una distribución eficiente de la energía. Cada nivel de voltaje tiene requisitos específicos y sensibilidades que deben ser atendidos de manera adecuada.

La distribución de energía comienza desde la fuente de alimentación y se extiende a través de rutas estratégicas a lo largo de la placa de circuito impreso (PCB) o el sustrato en el que se montan los componentes. Cada plano de alimentación se conecta de manera estratégica a los componentes correspondientes que operan a ese nivel de voltaje. Esto asegura que cada componente reciba la cantidad de energía requerida para su funcionamiento óptimo. [12]

Un aspecto importante en esta capa de diseño es la minimización de interferencias electromagnéticas entre diferentes niveles de voltaje. Cuando los niveles de voltaje se encuentran en cercanía física en la PCB, existe la posibilidad de que las señales eléctricas generadas por un nivel puedan interferir con las señales de otro nivel, lo que podría llevar a problemas de funcionamiento o degradación del rendimiento. Al separar estratégicamente los planos de alimentación y establecer barreras de aislamiento adecuadas, se reduce el riesgo de interferencias electromagnéticas no deseadas.

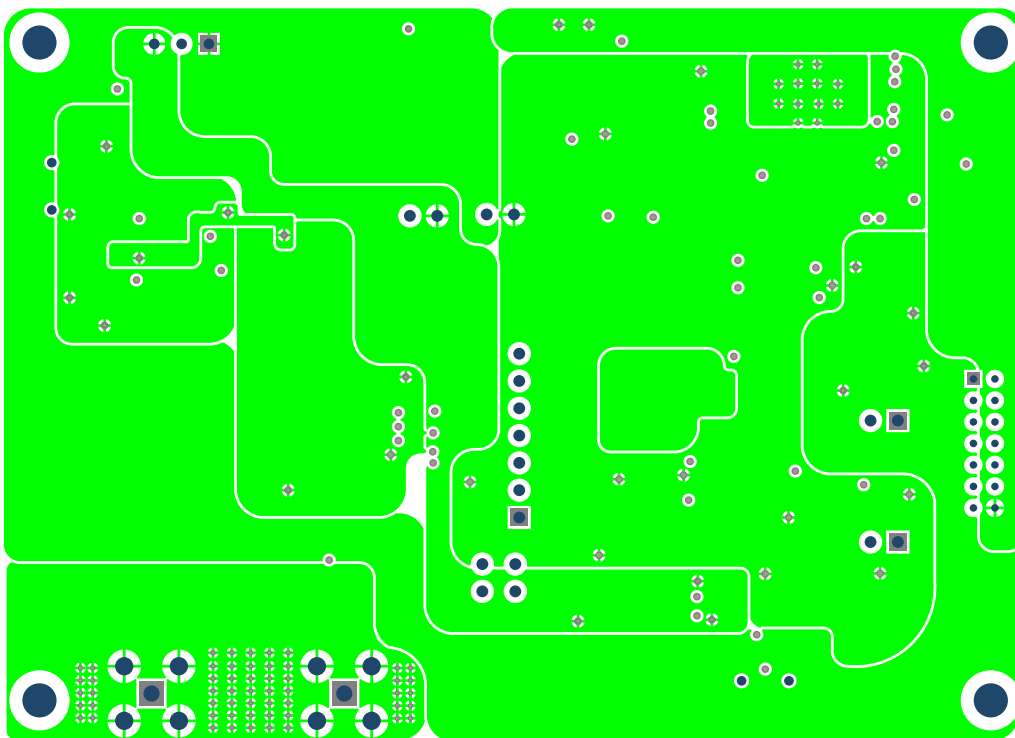


Ilustración 43: Capa Planos VCC

3.2.4 Capa de Enrutamiento (Bottom Layer)

La cuarta capa del stackup en el diseño de sistemas electrónicos cumple un papel esencial al albergar componentes adicionales y señales de baja frecuencia. Esta capa se planifica con minuciosidad para garantizar la funcionalidad óptima y la integridad de las señales, a la vez que se considera la interacción entre los elementos presentes en esta capa y las capas previas del diseño.

En esta capa, se incorporan diversos componentes que desempeñan roles específicos en el sistema. Ejemplos de estos componentes pueden ser el conector de la tarjeta SIM, el controlador CAN, optoacopladores y otras señales secundarias. Cada uno de estos elementos tiene una función única en el sistema global y requiere una ubicación estratégica para su correcto funcionamiento y su interacción con otros componentes.

El enrutamiento de las señales en esta capa se lleva a cabo con un enfoque meticuloso. Se planifica cuidadosamente para evitar cruces no deseados entre trazas y para mantener distancias adecuadas entre las rutas de señales que podrían transportar señales sensibles. La separación entre trazas es especialmente crucial para evitar interferencias electromagnéticas y crosstalk, que son fenómenos que podrían afectar negativamente la integridad de las señales y, por lo tanto, el funcionamiento del sistema. [12]

La disposición de los componentes en esta capa se realiza con una visión global del sistema y su interacción. Se considera cómo estos componentes pueden interactuar entre sí y con los elementos presentes en las capas anteriores. Esta consideración es fundamental para prevenir posibles interferencias electromagnéticas o incompatibilidades que puedan surgir debido a la proximidad de ciertos componentes. [12]

Es importante mencionar que esta cuarta capa del diseño también puede tener consideraciones térmicas, ya que algunos componentes pueden generar calor durante su funcionamiento. La disposición de estos componentes y la planificación del flujo de aire pueden contribuir a mantener una temperatura adecuada y prevenir problemas de sobrecalentamiento.

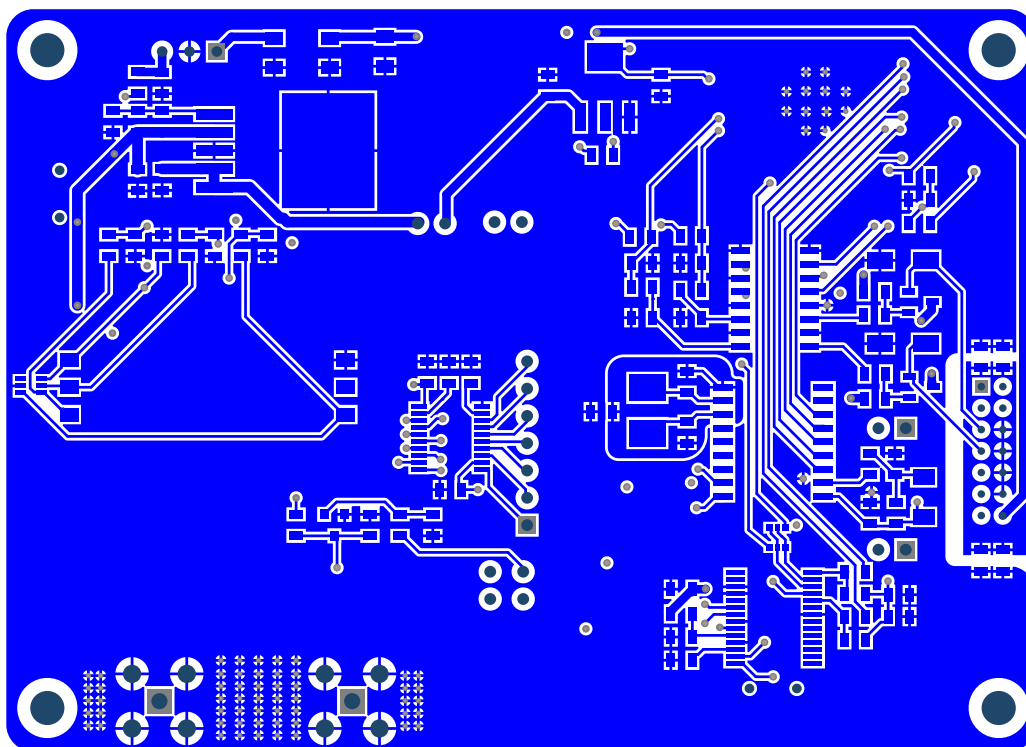


Ilustración 44: Capa Inferior

3.2.5 Aspecto del layout destacables

Tras analizar de manera general el enrutamiento de las cuatro capas que conforman la PCB, es fundamental profundizar en las consideraciones específicas que han sido implementadas en este proceso. Estas consideraciones se han centrado en optimizar la integridad de la señal, mitigar el ruido y asegurar un rendimiento óptimo del circuito.

1. Plano de Tierra para el Reloj:

Con el objetivo de reducir la susceptibilidad a interferencias electromagnéticas y acoplar el ruido generado por el reloj, se ha integrado un plano de tierra dedicado para esta señal crítica. La disposición de un plano de tierra específico posibilita el retorno eficiente de las corrientes de alta frecuencia, contribuyendo a minimizar problemas de jitter y asegurando una sincronización precisa en todo el circuito. Además, componentes de filtrado en forma de ferritas se han insertado en la trayectoria del reloj para una mayor atenuación de las perturbaciones de alta frecuencia. [13]

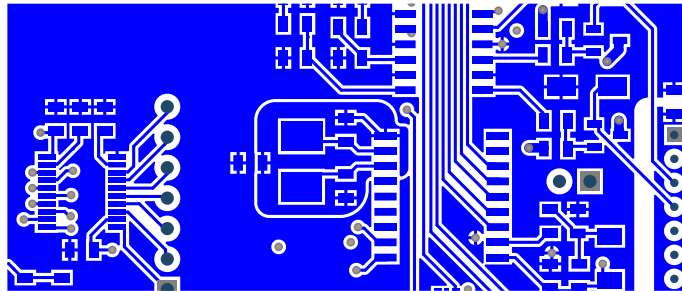


Ilustración 45: Plano de referencia propio para el reloj

2. Biasing Shielding para Antenas:

Las antenas principales y auxiliares de la PCB se benefician de un enfoque de protección mediante "biasing shielding". Este método implica la disposición de planos de tierra circundantes a las antenas para minimizar la exposición a interferencias externas y garantizar un desempeño confiable de las comunicaciones inalámbricas. La configuración de estos planos de tierra adicionales disminuye el impacto de las señales indeseadas y mejora la relación señal-ruido, lo cual es crucial para la calidad de las transmisiones y recepciones. [13]

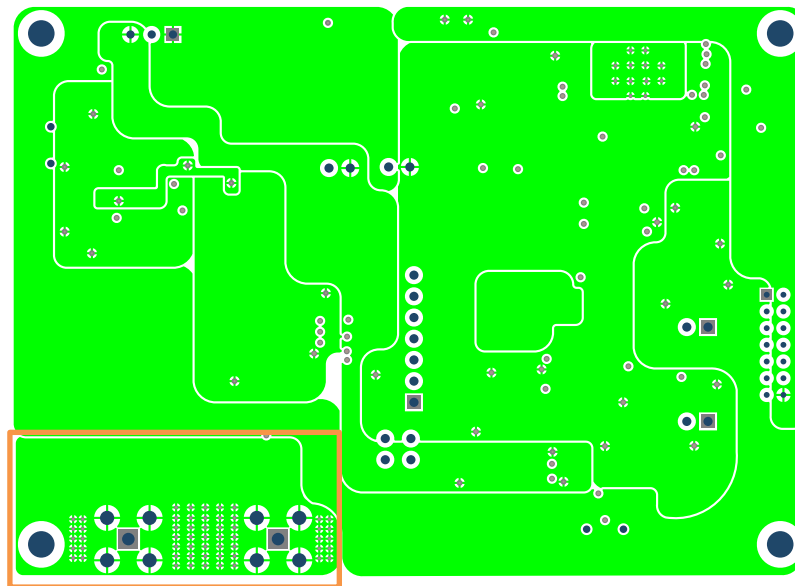


Ilustración 46: Biasing Shielding

3. Plano de Tierra "Sucia" y Ferritas:

Para abordar las perturbaciones electromagnéticas en la región del conector, se ha implementado un plano de tierra localizado que rodea dicho conector. Este plano de tierra "sucio" actúa como una barrera contra interferencias, proporcionando un camino de retorno preferente para las corrientes de alta frecuencia. Para fortalecer aún más la supresión de ruido, se han incorporado componentes de filtrado

en forma de ferritas en las conexiones entre este plano de tierra y la PCB principal. Este enfoque reduce la propagación de ruido indeseado hacia el resto del circuito.

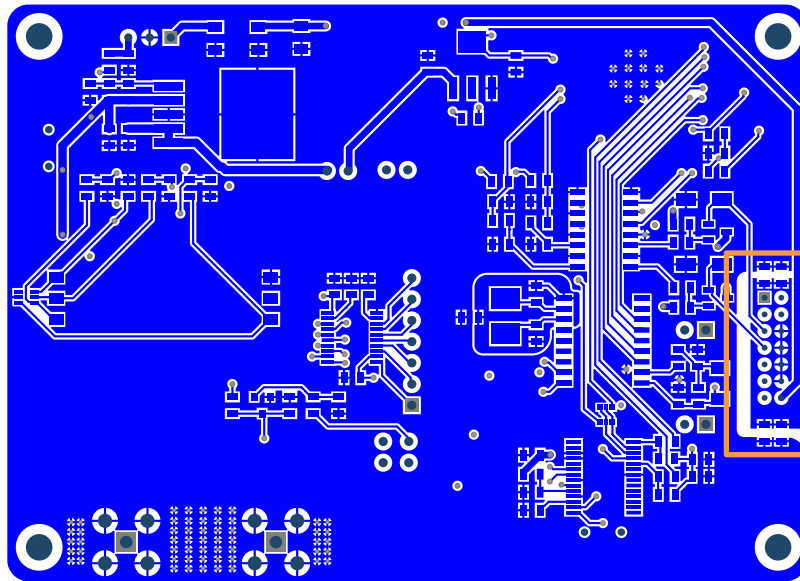


Ilustración 47: Plano de tierra sucia

4. Ubicación de Antena Integrada:

Siguiendo las recomendaciones de diseño del fabricante del ESP32, [14] la antena integrada se ha posicionado estratégicamente para favorecer la emisión y recepción eficiente de señales. Al ubicar la antena en una posición libre, se minimizan las interferencias generadas por componentes y trazados cercanos, lo que resulta en una mejor calidad de señal y un rendimiento de comunicación más estable.

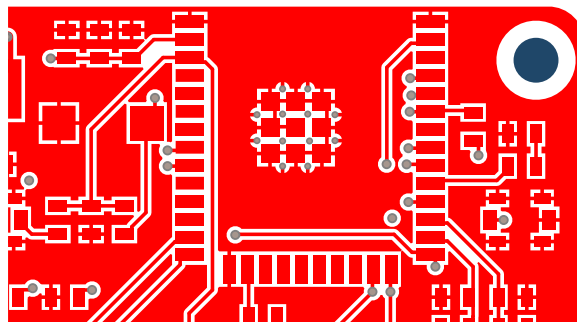


Ilustración 48: Colocación Microcontrolador

5. Ruteo Simétrico de Señales Diferenciales del CAN:

En el caso específico de las señales diferenciales del Controller Area Network (CAN), se ha aplicado un enfoque de ruteo simétrico. Esto implica mantener un par de señales, una con inversión respecto a la otra, con trazados y longitudes idénticos. Este enfoque minimiza la diafonía y mejora la inmunidad al ruido en las comunicaciones diferenciales, esenciales para la integridad de las señales en entornos de alta interferencia electromagnética.

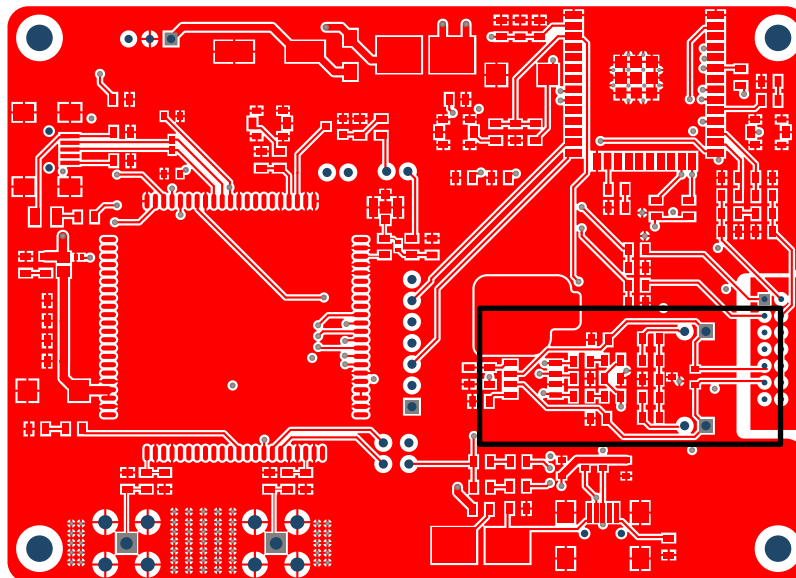


Ilustración 49: Ruteo simétrico bus CAN

6. Planos de VCC y Consideraciones de Bucles de Corriente:

Para mantener la distribución uniforme de la alimentación, se han implementado planos de VCC estratégicamente dispuestos en la PCB. Se ha prestado especial atención a los bucles de corriente, minimizando su área y asegurando que sean lo más compactos posible. Esto reduce la inductancia y evita la generación de campos magnéticos que podrían afectar la integridad de la señal y la calidad del rendimiento del circuito.

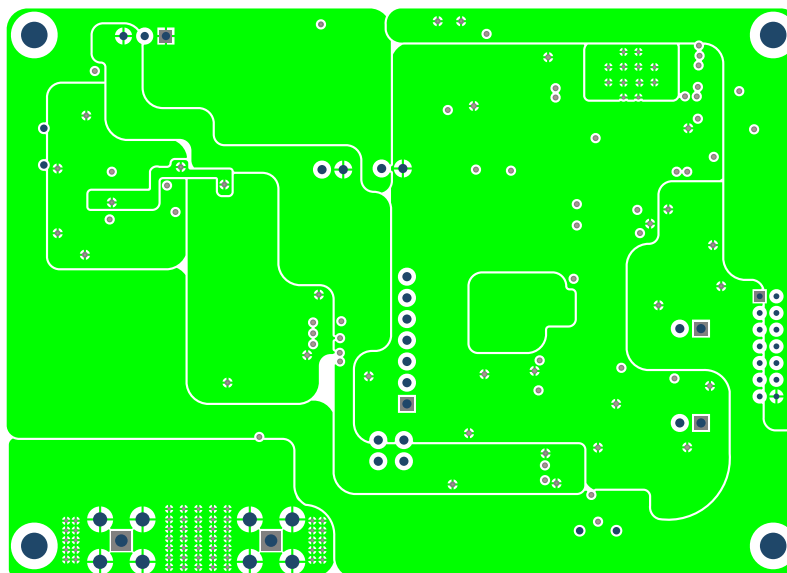


Ilustración 50: Planos de VCC

En resumen, estas consideraciones específicas en el ruteo de la PCB representan una estrategia completa para optimizar la funcionalidad, la integridad de la señal y la inmunidad al ruido en el diseño del circuito. Cada una de estas medidas ha sido implementada con el objetivo de garantizar un rendimiento excepcional y confiable en el contexto de las aplicaciones inalámbricas y de comunicación de alta frecuencia abordadas en este proyecto.

4 ARQUITECTURA SOFTWARE

4.1 Introducción

Esta PCB posee la capacidad de leer datos de una diversidad de sensores emplazados en el monoplaza, además de recolectar información vital de la red de Control de Área de Red (CAN) del vehículo. Mediante la implementación de un sistema de mensajería MQTT (Message Queuing Telemetry Transport), los datos captados se transmiten hacia un bróker centralizado, desde el cual pueden ser analizados y visualizados en tiempo real tanto a través de una Interfaz Gráfica de Usuario (GUI) de escritorio como en una aplicación móvil Android. Este enfoque no solo facilita la monitorización en tiempo real del rendimiento del monoplaza, sino que también concede la habilidad de almacenar los datos para análisis a futuro, mejorando la toma de decisiones y la optimización de los diferentes subsistemas.

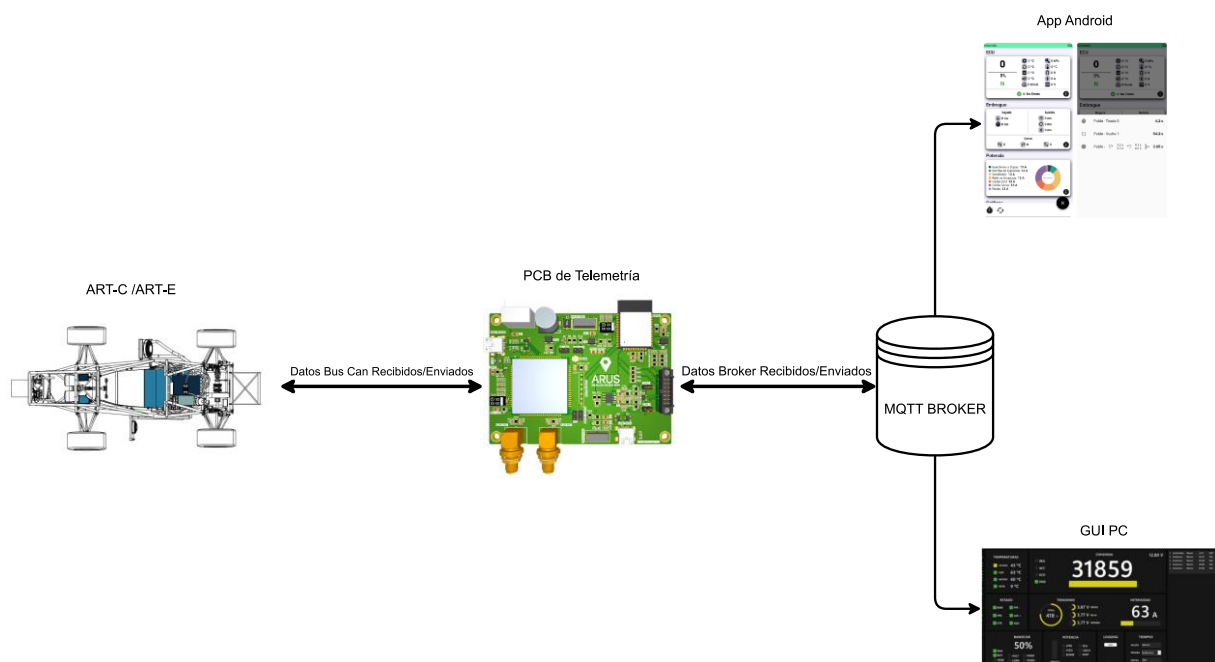


Ilustración 51: Arquitectura SW a nivel funcional

4.2 Desarrollo SW del código

Dentro de esta sección específica del documento, se despliega de manera precisa un compendio abarcador de las capacidades funcionales clave que han sido implementadas en el código integral. La finalidad primordial de este resumen es asegurar que los lectores obtengan una comprensión clara y concisa de cómo las diversas funcionalidades interactúan y operan en conjunto en el código en cuestión.

Con el propósito de permitir una exploración más exhaustiva y detallada de la implementación, se ha incorporado el código completo en el apéndice designado bajo la denominación de "Código Completo". Dicha aproximación ofrece el beneficio de otorgar a los interesados la capacidad de sumergirse en todos los aspectos técnicos con un alto nivel de profundidad.

Es importante resaltar las características funcionales más sobresalientes del código, mientras evita adentrarse en exceso en los detalles más técnicos. Al mismo tiempo, la inclusión del anexo sirve como un recurso esencial para aquellos que buscan un entendimiento aún más completo y detallado del código en su totalidad.

1. Inclusión de Librerías:

En esta sección, se incluyen las bibliotecas necesarias para el funcionamiento del código. `SoftwareSerial.h` es una biblioteca que permite la comunicación serie en pines digitales arbitrarios del microcontrolador. Esto es especialmente útil en situaciones donde se necesita más de una comunicación serie.

2. Definición de Comunicación Serial con el Módulo GSM:

Se utiliza la biblioteca `SoftwareSerial` para crear una instancia llamada `SerialAT`, que se utiliza para comunicarse con el módulo GSM. Los pines 2 y 3 se utilizan para la comunicación RX y TX respectivamente. Esto permite enviar comandos AT y recibir respuestas del módulo LTE.

3. Selección de Modo (GPRS o WiFi) para TinyGSM:

Con las definiciones `TINY_GSM_USE_GPRS` y `TINY_GSM_USE_WIFI`, decides qué tipo de conectividad usarás para la comunicación. En este caso, `TINY_GSM_USE_GPRS` está habilitado, lo que significa que el dispositivo se conectará a través de la red celular utilizando GPRS.

4. Definición de Credenciales y Configuración GPRS:

En esta parte, defines los detalles necesarios para establecer la conexión GPRS. `apn`, `gprsUser` y `gprsPass` son los datos de acceso para la red celular. Estos detalles son cruciales para que el módulo se autentique en la red y pueda enviar y recibir datos.

5. Definición de Detalles MQTT:

Aquí defines los detalles relacionados con MQTT. `broker` es la dirección IP o el nombre de dominio del servidor MQTT, mientras que `mqttUsername` y `mqttPassword` son las credenciales de autenticación para conectarse al servidor. Estos detalles permiten al dispositivo enviar y recibir mensajes a través del protocolo MQTT.

```

276 // MQTT details
277 const char* broker = "34.175.13.225";
278 const char* mqttUsername = ""; // MQTT username
279 const char* mqttPassword = ""; // MQTT password
280 const char *root_topic_subscribe = "input ARTE";
281 const char *root_topic_publish = "telemetry/ARTE";
282

```

6. Inclusión de Librerías Específicas:

Se incluyen las bibliotecas `TinyGsmClient.h` y `PubSubClient.h`, que son esenciales para la comunicación con el módem GSM y el servidor MQTT, respectivamente. Estas bibliotecas proporcionan funciones predefinidas para gestionar la comunicación en sus respectivos protocolos.

7. Inicialización del Módem GSM y Creación de Objetos:

Se crea un objeto `modem` de la clase `TinyGsm`, que representa el módem GSM. Además, se crea un objeto `client` de la clase `TinyGsmClient`, que se utiliza para establecer la comunicación con el módem. También se crea un objeto `mqtt` de la clase `PubSubClient`, que se utilizará para la comunicación MQTT.

8. Configuración de Pines y Variables:

Aquí se definen pines que se utilizarán posteriormente, como los pines para los LEDs. También se inicializan variables, como `count` para llevar un seguimiento y `lastReconnectAttempt` para gestionar los intentos de reconexión MQTT.

9. Definición de Callback de MQTT:

La función `mqttCallback` se llama cuando se recibe un mensaje MQTT. Aquí se procesa y se imprime el tema y la carga útil del mensaje recibido. Esta es una utilidad interesante ya que permite realizar diversas funcionalidades que mejoran el comportamiento del monopla en remoto.

```

311 void mqttCallback(char* topic, byte* payload, unsigned int len)
312 {
313     SerialMon.print("Message arrived [");
314     SerialMon.print(topic);
315     SerialMon.print("]: ");
316     SerialMon.write(payload, len);
317     SerialMon.println();
318
319     // Only proceed if incoming message's topic matches, is just an example
320     if (String(topic) == root_topic_subscribe)
321     {
322
323         DeserializationError error = deserializeJson(JSON_IN, payload,32);
324
325         if (error)
326         {
327             Serial.print("deserializeJson() failed: ");
328             Serial.println(error.c_str());
329             return;
330         }
331
332         enableFlag = JSON_IN["enableFlag"];
333         disableFlag = JSON_IN["disableFlag"];
334         tiempoRef = JSON_IN["tiempoRef"];
335
336     }
337 }
338

```

10. Función para Conectar a MQTT:

La función `mqttConnect` intenta conectarse al servidor MQTT utilizando las credenciales definidas. Si la conexión falla, se reinicia el microcontrolador. Si la conexión tiene éxito, también se suscribe al tema especificado para recibir mensajes.

11. Configuración Inicial en la Función `setup()`:

En esta sección se realizan diversas configuraciones iniciales. Se establece la comunicación serial con una velocidad de 115200 baudios. Se configuran los pines para los LEDs y se inicia el bus CAN. Luego, se configuran las comunicaciones GSM y se espera a que el dispositivo se conecte a la red celular.

12. Bucle Principal en la Función `loop()`:

En este bucle, se verifica constantemente la conexión MQTT. Si no está conectada, se intenta reconectar cada 10 segundos. Además, se verifica el estado de un interruptor conectado al pin 17 y se lee la información del bus CAN. Dependiendo del identificador CAN, se procesan los datos y se almacenan en variables correspondientes.

13. Procesamiento y Publicación de Datos a MQTT:

Dentro del bucle, se procesan los datos obtenidos y se almacenan en objetos JSON. Estos objetos se serializan en formato JSON y se publican a través de MQTT en intervalos regulares de tiempo. Esto permite el envío de datos en tiempo real al servidor MQTT.

4.2.1 MQTT BROKER

Un broker MQTT (Message Queuing Telemetry Transport) es un intermediario en la arquitectura de comunicación del protocolo MQTT. MQTT es un protocolo de mensajería ligero y eficiente diseñado para la comunicación entre dispositivos de Internet de las cosas (IoT) y aplicaciones que requieren una transferencia de datos rápida y confiable con baja sobrecarga.

El broker MQTT actúa como un servidor centralizado al que los dispositivos clientes se conectan para enviar y recibir mensajes. Su función principal es gestionar y enrutar los mensajes entre los dispositivos clientes, asegurando que los mensajes lleguen a los destinatarios correctos. [15]

Características del broker MQTT: [15]

1. **Publicación y suscripción:** El protocolo MQTT sigue un patrón de comunicación de publicación y suscripción. Los dispositivos pueden publicar mensajes en ciertos "temas" y otros dispositivos pueden suscribirse a esos temas para recibir los mensajes correspondientes.
2. **Mensajes retenidos:** El broker MQTT puede retener el último mensaje enviado en un tema, de modo que cuando un nuevo cliente se suscribe a ese tema, reciba inmediatamente el último mensaje publicado en él.
3. **Calidad de servicio (QoS):** MQTT ofrece diferentes niveles de calidad de servicio para garantizar la entrega de mensajes. Esto permite que los dispositivos elijan el nivel adecuado según la confiabilidad requerida.
4. **Tópicos jerárquicos:** Los tópicos en MQTT forman una estructura jerárquica, lo que facilita la organización y filtrado de mensajes.
5. **Poca sobrecarga:** MQTT es un protocolo de comunicación liviano y eficiente en términos de uso de ancho de banda y consumo de energía, lo que lo hace adecuado para dispositivos con recursos limitados.
6. **Persistencia de sesiones:** Los brokers MQTT pueden mantener sesiones para los clientes, lo que permite que los dispositivos se reconecten y continúen las comunicaciones incluso después de una desconexión temporal.

Los brokers MQTT son esenciales para el funcionamiento de sistemas IoT, ya que proporcionan la infraestructura necesaria para la comunicación entre dispositivos, la recopilación y distribución de datos y la coordinación de acciones en un entorno distribuido. Algunos ejemplos populares de brokers MQTT incluyen Mosquitto, HiveMQ, EMQ, entre otros.

4.2.2 JSON

JSON (JavaScript Object Notation) es un formato ligero de intercambio de datos que se utiliza para transmitir información estructurada entre sistemas. Es ampliamente utilizado en aplicaciones web y en el desarrollo de API debido a su sencillez y facilidad de lectura tanto para humanos como para máquinas.

Las características principales de JSON son: [16]

1. **Sintaxis basada en texto:** JSON utiliza una sintaxis legible por humanos, que consiste en pares clave-valor. Los datos se representan en un formato que se asemeja mucho a la notación de objetos en JavaScript.
2. **Estructura de datos:** Los datos en JSON están organizados en objetos (objetos) y matrices (arrays). Los objetos son colecciones de pares clave-valor encerrados entre llaves ` {} ` y las matrices son colecciones de elementos separados por comas y encerrados entre corchetes ` [] `.
3. **Tipos de datos compatibles:** JSON admite varios tipos de datos, incluyendo cadenas de texto, números, booleanos (true o false), objetos, matrices y null (representación de la ausencia de valor).
4. **Interoperabilidad:** JSON es independiente del lenguaje, lo que significa que puede ser utilizado y comprendido por la mayoría de los lenguajes de programación. Esto lo convierte en un formato ideal para la comunicación entre diferentes sistemas y plataformas.
5. **Facilidad de uso:** La estructura simple y legible de JSON facilita su manipulación tanto para los desarrolladores como para las aplicaciones que lo procesan.

Ejemplo de un objeto JSON:

```
{  
  "timestamp": "2023-07-18T12:30:45.123Z",  
  "vehicle_id": "ABC123",
```

```
"speed": 85.2,  
"engine_rpm": 2800,  
"fuel_level": 60.5,  
"engine_temperature": 98.6,  
"tire_pressure": {  
  "front_left": 32.5,  
  "front_right": 32.4,  
  "rear_left": 32.2,  
  "rear_right": 32.3  
},  
"location": {  
  "latitude": 40.7128,  
  "longitude": -74.0060  
},  
"status": {  
  "engine_on": true,  
  "doors_locked": true,  
  "lights_on": false  
}  
} ````
```

5 INTERFACES GRÁFICAS DE USUARIO

5.1 Introducción

La competición Formula Student requiere una comprensión profunda de la telemetría para optimizar el rendimiento de los vehículos de carreras. En este documento, exploraremos cómo la incorporación de una Interfaz Gráfica de Usuario (GUI) para el análisis de los datos recolectados por la telemetría puede mejorar la evaluación del rendimiento del monoplaza y facilitar la toma de decisiones por parte del equipo.

La GUI aplicada a la telemetría en el contexto de Formula Student permite la visualización en tiempo real de datos esenciales mientras el vehículo está en la pista, ya sea compitiendo o en la época de testeo. Datos como velocidad, temperatura del motor, niveles de combustible y otros parámetros se presentan de manera clara y accesible. Esto brinda a los miembros del equipo la capacidad de monitorear activamente el rendimiento y detectar posibles problemas durante las pruebas y competiciones.

La GUI facilita la representación gráfica de datos telemétricos, lo que permite a nuestro equipo analizar el rendimiento en función del tiempo. Gráficos interactivos permiten la comparación de variables como velocidad, aceleración y temperatura en diferentes puntos del neumático. Esto ayuda a identificar patrones, tendencias y correlaciones que podrían influir en la estrategia de conducción y ajustes del vehículo.

La GUI no solo proporciona información visual, sino que también puede ofrecer la posibilidad de realizar ajustes en tiempo real. Esto se debe a que los datos son publicados por MQTT a un servidor. Sin embargo, la telemetría puede estar subscripta a diversos tópicos, siendo en este caso la GUI la que publica en el servidor la información que es interpretada por la PCB. Esto permite la optimización del vehículo sin requerir intervenciones físicas en el monoplaza.

Después de una sesión de pruebas o una competición, la GUI facilita el análisis exhaustivo de los datos almacenados. Esto brinda la oportunidad de revisar el rendimiento en detalle, identificar áreas de mejora y tomar decisiones informadas para futuras iteraciones del vehículo. Se pueden revisar gráficos, comparar resultados y evaluar la efectividad de los ajustes realizados.

La GUI puede ser programada para generar alertas visuales en caso de que ciertos valores excedan umbrales críticos. Esto permite reaccionar rápidamente a situaciones potencialmente peligrosas o a problemas inesperados, garantizando la seguridad y el rendimiento del monoplaza y el piloto.

5.2 GUI PC

A continuación, se detallan los parámetros mostrados en la interfaz:

1. Estado del inversor y sistema eléctrico (naranja):

Comando par al inversor: controla la cantidad de par transmitido al motor eléctrico para ajustar la velocidad.

Corriente DC de la batería de alta tensión: indica la corriente que fluye desde la batería hacia el inversor.

Estado de los relés de alta tensión, precarga, BMS y R2D: informa sobre el estado de los relés críticos del sistema eléctrico y los sistemas de seguridad.

2. Sistema de frenado (púrpura):

Presión de la línea de frenos traseras y delanteras: muestra la presión en los sistemas de frenos, permitiendo un control preciso de la desaceleración.

3. Batería de baja tensión (verde):

Tensión de la batería de baja: supervisa el estado de la batería secundaria del monoplaza.

4. Inversor trifásico (amarillo):

Límite de potencia del inversor trifásico: controla y muestra el límite de potencia que el inversor puede suministrar al motor.

Feedback por parte del inversor para poder detectar errores de funcionamiento.

5. Dirección y conducción (rojo oscuro):

Posición del volante (ángulo): indica el ángulo del volante, permitiendo el seguimiento preciso de la dirección.

Modo de conducción del monoplaza: informa sobre el modo de conducción seleccionado (p. ej. normal, aceleración, ahorro de energía).

6. Temperaturas (verde claro):

Temperaturas del motor, de las celdas, de los IGBT y del circuito de refrigeración: monitorea las temperaturas críticas del sistema, evitando el sobrecalentamiento y daños.

7. Batería de alta tensión (azul claro):

Voltaje total de la batería: muestra la tensión total de la batería de alta tensión.

Tensión media de cada celda: proporciona un promedio de la tensión de cada celda en la batería.

Mínimo actual y mínimo histórico de la tensión de las celdas: alerta sobre celdas con baja tensión actual o histórica, indicando posibles problemas.

8. Neumáticos y velocidad de las ruedas (blanco):

3 puntos de temperatura de cada neumático: proporciona la temperatura en diferentes puntos de cada neumático.

Velocidad de cada rueda: muestra la velocidad individual de cada rueda, lo que ayuda a identificar desequilibrios o problemas de tracción.

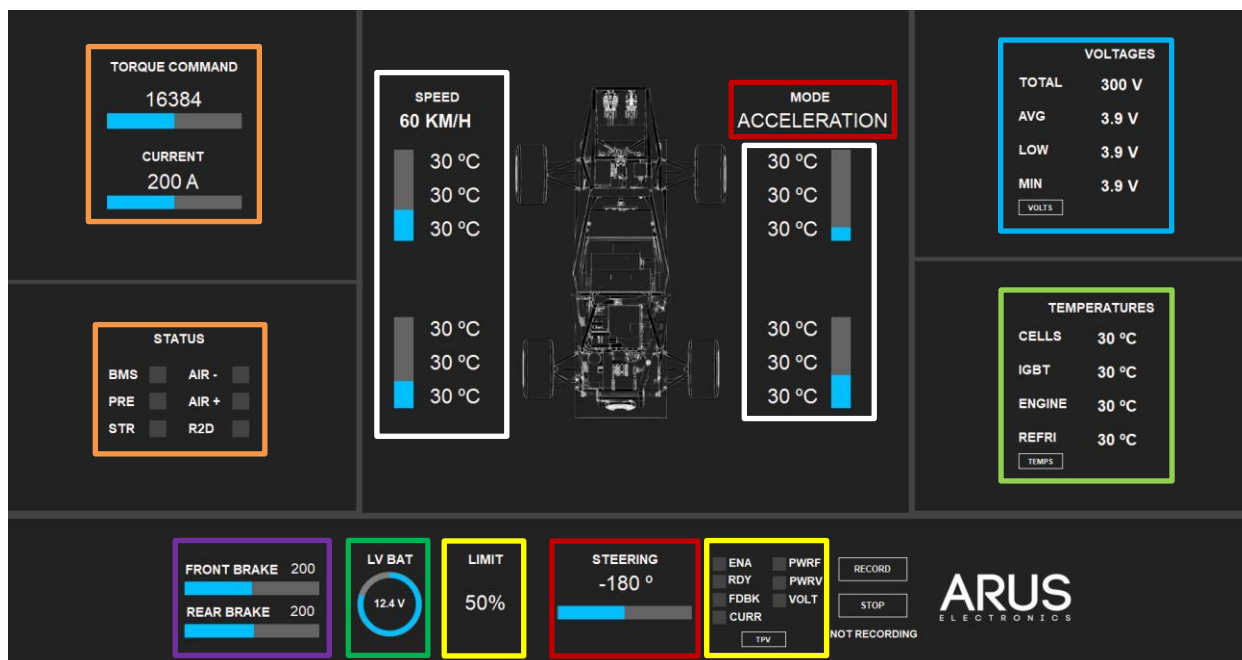


Ilustración 52: GUI PC

En el sistema de adquisición de datos, la monitorización y control de la telemetría se lleva a cabo mediante un servidor centralizado. En este servidor, se ejecuta un script que se suscribe al tópico en el cual se publica toda la información relevante del monoplaza. Este script funciona como un gestor de paquetes, recopilando los datos transmitidos y organizándolos en un archivo de formato .csv que almacena toda la información registrada.

La GUI, diseñada para interactuar con este sistema de adquisición de datos, presenta dos botones que permiten iniciar y detener la grabación de la telemetría. Estos botones ofrecen una interfaz intuitiva para que el usuario controle cuándo se inicia y se detiene la recopilación de datos en el servidor.

En resumen, el flujo de trabajo implica lo siguiente:

1. El servidor ejecuta un script que se suscribe al tópico de telemetría, donde el monoplaza publica información en tiempo real.
2. El script actúa como un gestor de paquetes, recopilando los datos transmitidos por el monoplaza.
3. Estos datos se organizan y almacenan en un archivo .CSV en el servidor, proporcionando una base de datos completa de la telemetría para su análisis posterior.
4. La GUI ofrece una forma visual de interactuar con el servidor. A través de dos botones específicos, se puede controlar cuándo comienza y termina la grabación de la telemetría:



Ilustración 53:Control de Grabación

5.3 GUI APP

La interfaz de la aplicación para Android desarrollada para monitorizar en tiempo real todos los parámetros de un monoplaza de Formula Student de combustión es una herramienta invaluable en el ámbito del automovilismo de competición. Esta aplicación brinda a los ingenieros, técnicos y pilotos una ventana digital directa hacia el rendimiento y la salud del vehículo mientras se encuentra en la pista.

Dentro de la interfaz de la aplicación, se presentan los diversos parámetros esenciales que influyen en el rendimiento del monoplaza, proporcionando una visión completa del estado y comportamiento del vehículo. Cada parámetro se representa de manera clara y organizada, lo que permite una fácil interpretación y análisis de la información en tiempo real.

Una de las características más destacadas de esta aplicación es su capacidad para ajustar la subida y bajada del embrague de forma precisa. Este control en tiempo real sobre el embrague es de gran utilidad, ya que permite afinar el rendimiento del monoplaza en diferentes situaciones de carrera. La capacidad de ajustar la respuesta del embrague puede tener un impacto significativo en la aceleración, la tracción y el rendimiento general del vehículo, permitiendo adaptarse a las cambiantes condiciones de la pista y maximizar la eficiencia en la transmisión de potencia.

Además del ajuste del embrague, la aplicación también ofrece la posibilidad de supervisar y controlar otros parámetros cruciales, como la temperatura del motor, la presión de los frenos, el consumo de combustible y más. Esta información en tiempo real es esencial para tomar decisiones informadas durante la competencia y realizar ajustes precisos que puedan marcar la diferencia en el rendimiento del monoplaza en la pista.

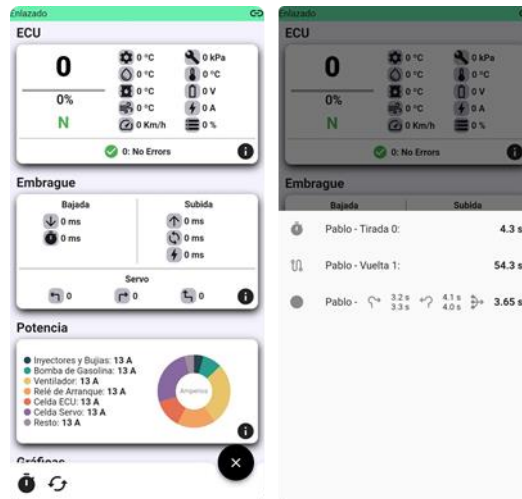


Ilustración 54: Captura aplicación Android

6 DATOS REGISTRADOS

La telemetría desempeña un papel fundamental en la optimización y desarrollo continuo de vehículos de carreras, especialmente en la categoría de coches eléctricos. La recopilación de datos en tiempo real permite a los ingenieros y estudiantes analizar el rendimiento del vehículo y la eficiencia de los sistemas clave. Además, esta información es vital para identificar áreas de mejora, realizar ajustes precisos y tomar decisiones informadas para obtener el mejor rendimiento posible en la pista.

6.1 Tests de la prueba de aceleración

La prueba de aceleración en Formula Student implica que los vehículos compitan uno a uno en una pista recta de longitud fija (generalmente alrededor de 75-100 metros). Los vehículos comienzan desde una posición de detención y aceleran a fondo tan pronto como se da la señal de inicio. El objetivo es alcanzar la mayor velocidad posible en el tramo recto, lo que pone a prueba la eficiencia del sistema de propulsión, la tracción y la capacidad de aceleración del vehículo.

Esta prueba evalúa la capacidad de aceleración del vehículo y su sistema de transmisión, así como la eficiencia en la transferencia de potencia de su motor a las ruedas. Los equipos compiten por lograr los tiempos de aceleración más rápidos mientras mantienen un buen control y estabilidad del vehículo. La prueba también puede considerar la velocidad final alcanzada antes de cruzar la línea de meta.

En la siguiente ilustración observamos diversas tiradas de la prueba de aceleración durante un test. Para el análisis vamos a analizar las siguientes variables:

1. **Consigna:** En este contexto, la "consigna" se refiere a la consigna par comandada al inversor del monoplaça.
2. **Intensidad DC de la batería de alta tensión:** Se refiere a la cantidad de corriente eléctrica continua (DC) que fluye a través de la batería de alta tensión del vehículo. Esta intensidad se mide en amperios (A) y es una medida importante para determinar el rendimiento y la capacidad de la batería.
3. **Tensión total de la batería de alta tensión:** Esta tensión es la suma de las tensiones individuales de las celdas de la batería y se mide en voltios (V). La tensión total afecta la potencia y la autonomía del vehículo.
4. **Modo de conducción del vehículo:** En este caso en nuestro monoplaça eléctrico tenemos 4 diferentes modos.
5. **Error Bitmap:** representación visual o codificada de los errores que están ocurriendo en el inversor del motor eléctrico.
6. **Command Current:** Es la corriente eléctrica establecida como objetivo por el sistema de control del vehículo, en este caso el inversor.
7. **Actual Current:** Es la corriente eléctrica real que está fluyendo en ese momento a través del sistema, como la batería, el inversor y el motor eléctrico. Puede diferir de la corriente de comando debido a diversas condiciones y limitaciones del sistema.

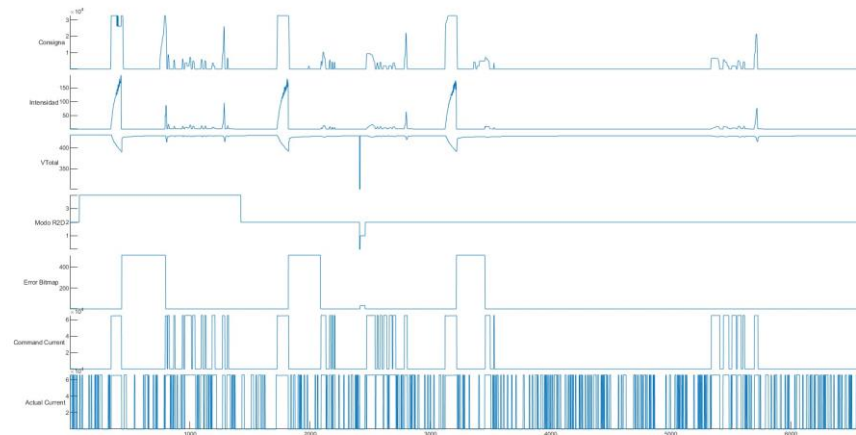


Ilustración 55: Test pruebas de aceleración

Se pueden identificar principalmente tres series de pruebas de aceleración que evalúan los modos de aceleración y conducción estándar del monoplaza. Vamos a realizar un análisis exhaustivo de cada una de ellas de la siguiente manera:

1. Primera serie de pruebas: En esta serie, nos concentraremos en el análisis de las cuatro primeras variables representadas. En primer lugar, se destaca que la consigna alcanza un valor máximo de 32,768 (2^{15}). Observamos claramente que la intensidad de corriente continua (DC) que sale de la batería experimenta un aumento pronunciado, mientras que la tensión total de la batería disminuye de manera progresiva en función de la intensidad DC que sale de la batería.
2. Segunda serie de pruebas: En este caso, realizamos una serie de pruebas en el modo estándar. Observamos un comportamiento muy similar al de la serie anterior, ya que los valores de intensidad y tensión total de corriente continua (DC) son prácticamente idénticos.
3. Tercera serie de pruebas: Llevamos a cabo otra serie de pruebas en el modo estándar y se obtiene un comportamiento muy parecido al de la serie de pruebas anterior.

6.2 Energía consumida respecto a tensión total de la batería de alta tensión

En la gráfica que muestra el consumo de energía versus la tensión total de la batería, estás explorando cómo cambia el consumo de energía a medida que la tensión de la batería disminuye. Esta relación es fundamental para comprender cómo el monoplaza se comporta en términos de eficiencia y rendimiento en diferentes etapas de una carrera.

Al observar la gráfica, puedes identificar ciertos patrones y tendencias:

1. Inicio de la Curva: Donde la tensión de la batería es máxima, el consumo de energía es relativamente bajo. Esto se debe a que la batería está llena de energía y puede suministrarla eficientemente al motor eléctrico.
2. Disminución Gradual: A medida que avanzamos hacia la izquierda en la gráfica (a medida que la tensión disminuye), el consumo de energía puede comenzar a aumentar gradualmente.
3. Punto de Inflexión: En algunos puntos de la gráfica apreciamos cambios más pronunciados en la pendiente de la curva. Esto podría indicar un punto donde el motor comienza a operar en regiones menos eficientes, lo que provoca un aumento más rápido en el consumo de energía a medida que la tensión continúa disminuyendo.

4. Punto Crítico: Eventualmente, podrías llegar a un punto donde el consumo de energía aumenta significativamente en relación con la disminución de la tensión. Esto podría indicar que el motor o los sistemas eléctricos están luchando para mantener el rendimiento y están operando de manera ineficiente debido a la tensión extremadamente baja.

En tu análisis, deberías buscar estos puntos clave y tendencias en la gráfica. También puedes comparar esta información con los datos de la pista y las condiciones de la carrera para obtener una imagen completa de cómo la eficiencia y el rendimiento del monoplaza varían en función de la tensión de la batería. Esto te ayudará a tomar decisiones informadas sobre la estrategia de manejo de energía y optimizar el rendimiento en la pista.

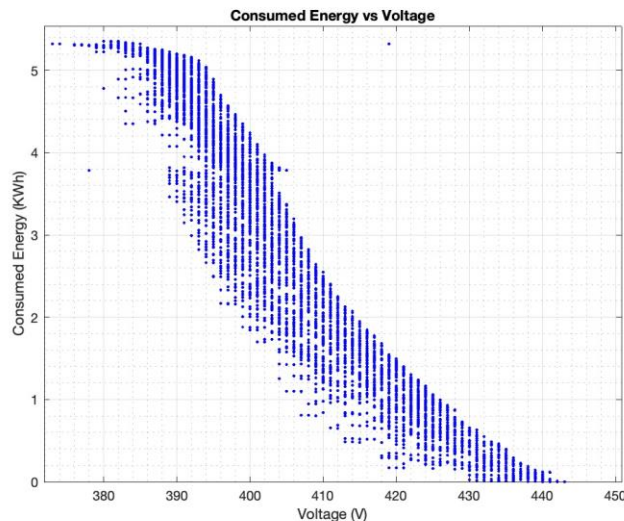


Ilustración 56: Energía consumida respecto a tensión total de la batería de alta tensión

6.3 Test de simulación de una endurance

La prueba de endurance en Formula Student es una competición en la que equipos de estudiantes diseñan, construyen y corren vehículos de carreras. En esta prueba, los vehículos deben completar una distancia de alrededor de 22 km. La carrera se realiza en relevos con al menos dos pilotos por equipo.

Los equipos deben planificar estrategias de conducción eficientes para administrar la energía de la batería o el combustible mientras maximizan la velocidad. Las detenciones en boxes para ajustes y cambios de piloto están permitidas, pero afectan la puntuación final. La prueba evalúa la confiabilidad, eficiencia y durabilidad de los vehículos, así como las habilidades de trabajo en equipo y toma de decisiones de los estudiantes.

Con este contexto, podemos observar en la ilustración XX la validación de la energía consumida de respecto al tiempo. Esta grafica es muy importante porque nos permite ajusta el tiempo por vuelta objetivo que tenemos que conseguir para asegurar acabar la prueba sin agotar la energía de la batería.

Se pueden observar principalmente tres tramos de interés:

1. Tramo Rojo: Se observa un consumo lineal hasta el cambio de piloto. Se observa que el consumo no es simétrico respecto al segundo piloto.
2. Tramo Azul: Podemos observar que el consumo permanece constante debido al cambio de piloto.
3. Tramo Verde: Observamos un consumo lineal hasta que finalmente se consume la energía completa de la batería.

En conclusión, podemos confirmar que el tiempo por vuelta ejecutado está muy por encima del tiempo objetivo.

Para solucionar esto deberíamos definir un tiempo por vuelta inferior y ajustar el consumo para que ambos pilotos consuman la mitad de la energía almacenada y así poder acabar la prueba de endurance de manera satisfactoria.

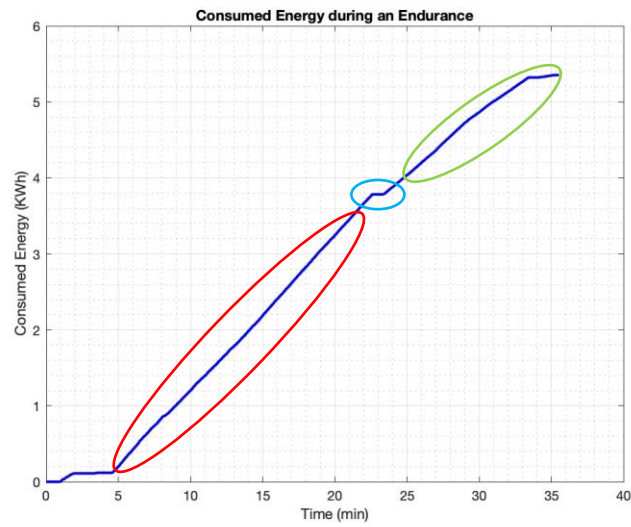


Ilustración 57: Test validación Endurance

7 CONCLUSIONES

En el marco de este Trabajo de Fin de Grado se llevó a cabo el desarrollo e implementación integral de una telemetría para dos vehículos pertenecientes al equipo de Formula Student: uno propulsado por un motor eléctrico y otro por un motor de combustión interna. A lo largo del desarrollo de este proyecto, se logró una comprensión profunda de los aspectos cruciales de la telemetría, desde el diseño del hardware hasta la implementación del software, pasando por la fabricación de la placa de circuito impreso (PCB) incluyendo la soldadura. Las conclusiones obtenidas son las siguientes:

1. **Diseño Integral de Telemetría:** La realización exitosa de la telemetría para ambos vehículos, incluyendo el diseño y fabricación de la PCB, representa un logro significativo. Se demostró la capacidad para abordar desafíos tanto en el ámbito del hardware como en el del software, lo que resultó en sistemas de telemetría funcionales y adaptados a las necesidades específicas de cada tipo de vehículo.
2. **Desarrollo de Hardware Personalizado:** La concepción y ejecución del diseño de hardware de la PCB fue un proceso altamente educativo y enriquecedor. Se exploraron aspectos tales como la selección de componentes adecuados, el enrutamiento eficiente de las trazas y la consideración de prácticas de diseño para minimizar ruidos y optimizar la integridad de la señal.
3. **Fabricación de PCB:** La experiencia de llevar a cabo la fabricación de las PCB en sí misma generó un valioso aprendizaje. La capacidad de transformar un diseño esquemático en una placa física funcional y lista para su implementación real en los vehículos fue una parte integral del proceso de desarrollo, brindando una comprensión más profunda de la fabricación electrónica.
4. **Integración Software-Hardware:** La interacción entre el software y el hardware fue un aspecto crítico en el éxito general del proyecto. La implementación de protocolos de comunicación eficientes, la adquisición precisa de datos y la visualización en tiempo real a través de interfaces de usuario fueron logros que destacaron la importancia de una colaboración fluida entre ambas disciplinas.
5. **Optimización del Rendimiento:** Los datos recopilados durante las pruebas en pista proporcionaron información valiosa sobre el rendimiento de ambos tipos de vehículos. Se identificaron oportunidades para mejorar la eficiencia energética, la gestión de la potencia y la respuesta del vehículo ante diferentes condiciones de pista.
6. **Seguridad y Fiabilidad Reforzadas:** La telemetría permitió monitorear parámetros críticos en tiempo real, lo que resultó en una detección temprana de posibles problemas y en la toma de decisiones informadas para garantizar la seguridad de los pilotos y la integridad de los vehículos.
7. **Aprendizaje y Competencias Adquiridas:** La realización de este proyecto me aportó una formación técnica y práctica altamente valiosa. La capacidad para afrontar desafíos complejos y para colaborar en un proyecto multidisciplinario dejó una marca perdurable en términos de habilidades y experiencia.

8 MEJORAS FUTURAS

Después de un período de desarrollo que abarca desde septiembre de 2021 hasta septiembre de 2022, hemos identificado varias áreas en las que podemos realizar mejoras. A continuación, presentamos estas mejoras de manera detallada:

En primer lugar, existe una oportunidad para simplificar la configuración eléctrica. Actualmente, tenemos dos fuentes de alimentación de 5V: una para el Modem y otra para la PCB. Al unificar estas fuentes, eliminaríamos la necesidad de emplear dos conectores mini USB para la depuración a través de comandos AT desde el software del fabricante.

Otra mejora considerable sería la capacidad de controlar el encendido y apagado del Modem utilizando un pin GPIO del microcontrolador. Aunque actualmente esto se controla mediante un jumper, permitir que el microcontrolador gestione esta señal establecería al Modem como un esclavo directo del microcontrolador principal, mejorando la coordinación entre ambos.

En relación con la depuración, hemos detectado que al conectar el Modem y establecer una conexión de puerto serie a través del FT232R, el microcontrolador entra en un ciclo de reinicio. Este comportamiento parece ser ocasionado por interferencias de señal que impactan el pin I0 del microcontrolador, generando reinicios intermitentes. Para abordar esta situación, sugerimos desconectar el jumper de 5V antes de abrir la conexión de puerto serie. Una vez establecida la conexión, es seguro reconectar el jumper sin experimentar problemas.

Otra perspectiva por considerar es que, al abrir el puerto serie, el modem emite señales RTS y DTR que podrían recibir valores altos o bajos, lo que resultaría en un reinicio continuo del microcontrolador. No obstante, este escenario precisa de una investigación más profunda para determinar la causa raíz y proponer una solución adecuada.

También exploramos la posibilidad de aprovechar el controlador CAN incorporado en el microcontrolador. Esta medida nos permitiría prescindir de un componente adicional, reduciendo costos y complejidad. Solo sería necesario contar con el transceptor para completar esta configuración.

Además, consideramos la implementación de un sistema operativo en tiempo real (RTOS) en el microcontrolador. Esta decisión nos permitiría dedicar un hilo de ejecución exclusivamente a la lectura de datos provenientes del CAN y de los sensores, mientras que otro hilo se enfocaría en la publicación de estos datos en el broker. Vale la pena destacar que hemos obtenido resultados exitosos con tasas de captura de datos de hasta 7ms.

En términos de optimización, sugerimos examinar y reducir las funcionalidades de las bibliotecas como TinyGsmclient y PubSubclient. Esto nos permitiría conservar solo las funciones esenciales para el proyecto, evitando sobrecargas innecesarias.

9 ANEXOS

9.1 Filtro anti-rebote

En la siguiente figura destacamos tres gráficas diferentes:

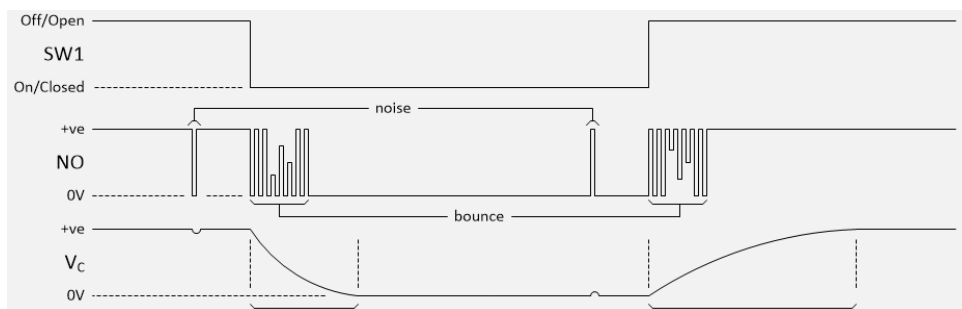


Ilustración 58: Análisis filtro anti-rebote

1. Primera gráfica: Muestra el momento en que el pulsador es pulsado. Esto podría ser un cambio de estado abrupto de "no pulsado" a "pulsado".
2. Segunda gráfica: Representa el comportamiento eléctrico de la señal del pulsador cuando se pulsa. Aquí, destacas dos aspectos: el ruido y el rebote. El ruido es cualquier interferencia no deseada en la señal, mientras que el rebote se refiere a las oscilaciones que pueden ocurrir en la señal cuando el pulsador es presionado debido a la naturaleza mecánica del interruptor.
3. Tercera gráfica: Muestra la señal eléctrica que el microcontrolador lee en su pin de entrada digital después de aplicar el filtro anti-rebote. Aquí, se ha aplicado un filtro para suavizar la señal y eliminar las fluctuaciones no deseadas causadas por el ruido y el rebote. Esto asegura que el microcontrolador reciba una señal más estable y coherente, evitando interpretaciones incorrectas de pulsaciones debido a estas interferencias.

En resumen, el filtro anti-rebote es un componente crucial para garantizar que los dispositivos electrónicos, como los microcontroladores, interpreten de manera precisa las entradas de los usuarios. Ayuda a eliminar las señales no deseadas que pudieran generar problemas en la operación del sistema.

Toda la información de este anexo ha sido extraída de [17].

9.2 Anti-resonancia y condensadores de desacople

La anti-resonancia es un fenómeno en el que la frecuencia autorresonante de dos condensadores difieren, produciendo una resonancia paralela en la región de frecuencias en la que un condensador se encuentra en la zona inductiva y el otro en la zona capacitiva lo que produce un aumento de la impedancia total (idealmente, se convierte en infinitamente grande). El comportamiento de la impedancia de dos condensadores en paralelo queda resumido en la siguiente ilustración:

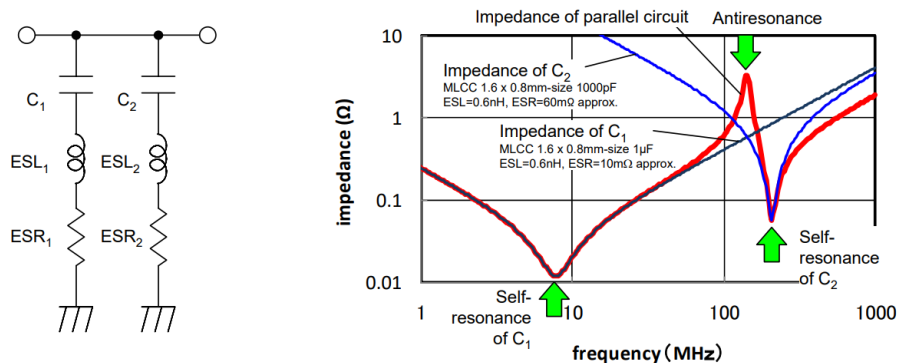


Ilustración 59: Impedancia de dos condensadores de 1 μ F y 1000pF en paralelo

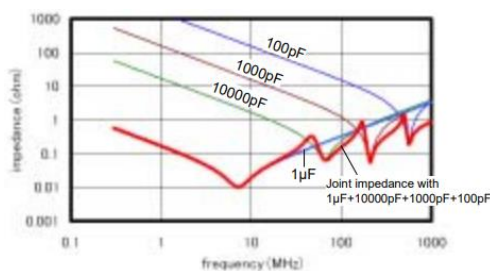


Ilustración 60: Combinación de condensadores con diferentes capacitancias

La ilustración 49 muestra una combinación de condensadores con diferentes capacitancias. Obtenemos una baja impedancia en un ancho rango de frecuencias mediante la combinación de condensadores con diferentes frecuencias resonantes (Aprovechando la característica de los condensadores en la que se obtiene una baja impedancia en la zona de auto resonancia).

Un ejemplo de impedancia conjunta cuando se utilizan cuatro condensadores a 1 μ F, 10000pF, 1000pF y 100pF en paralelo se muestra en la ilustración 49. La frecuencia característica de impedancia aparece en ondas, y en algunos casos su impedancia excede un condensador de 1 μ F a frecuencias de anti-resonancia.

La ilustración 50 muestra un caso de condensadores con la misma capacitancia en paralelo. En este caso, como indican los resultados del cálculo de la ilustración 50, los problemas de anti-resonancia no se producen con tanta frecuencia. También existe la ventaja de que es relativamente más fácil aumentar la capacitancia debido al mayor número de condensadores. Por otro lado, un mayor número de condensadores tiene las desventajas de un mayor espacio y coste.

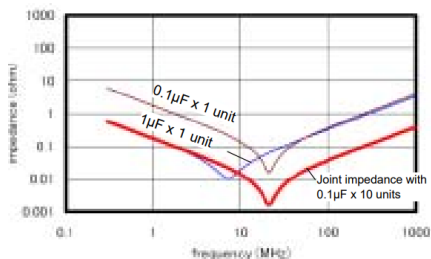


Ilustración 61: Combinación de 10 condensadores con la misma impedancia

Toda la información de este anexo se ha extraído del siguiente documento [18].

9.3 Código Completo

```

1 //DEFINE CAN BUS
2 #include <mcp_can.h>
3 #include <SPI.h>
4
5 long unsigned int rxId;
6 unsigned char len = 0;
7 unsigned char rxBuf[8];
8 unsigned char txBuf[8];
9
10 MCP_CAN CAN0(21); // Set CS to pin 21
11
12 ///////////////////////////////////////////////////
13
14 #define CAN_BMS_1 0x220
15 #define CAN_BMS_2 0x244
16 #define CAN_BAMOCAR_TX 0x181
17 #define CAN_BAMOCAR_RX 0x201
18 #define CAN_POTENCIA 0x251
19 #define CAN_R2D 0x290
20 #define CAN_FRONT 0x282
21 #define CAN_REAR 0x283
22 #define CAN_FL_1 0x310
23 #define CAN_FL_2 0x311
24 #define CAN_FL_3 0x312
25 #define CAN_FL_4 0x313
26 #define CAN_FR_1 0x330
27 #define CAN_FR_2 0x331
28 #define CAN_FR_3 0x332
29 #define CAN_FR_4 0x333
30 #define CAN_RL_1 0x350
31 #define CAN_RL_2 0x351
32 #define CAN_RL_3 0x352
33 #define CAN_RL_4 0x353
34 #define CAN_RR_1 0x370
35 #define CAN_RR_2 0x371
36 #define CAN_RR_3 0x372
37 #define CAN_RR_4 0x373
38 #define CAN_VELOCITY 0x392
39
40 //IDs BMS 1
41 #define CAN_INTENSIDAD 0
42
43 //IDs BMS 2
44 #define CAN_STATE 0
45 #define CAN_INTENSIDAD_DC 1
46 #define CAN_TOTAL_VDC 2
47 #define CAN_TEMP_MAX 3
48 #define CAN_MIN_VOLTAGE 4
49 #define CAN_MAX_VOLTAGE 5
50 #define CAN_STATUS_CELDAS 6
51
52 //IDs BAMOCAR RX
53 #define ID_CONSIGNA 0x90
54 #define ID_STATUS 0x51
55 #define ID_PORCENTAJE 0xC4
56 #define CAN_CONSIGNA_LSB 1
57 #define CAN_CONSIGNA_MSB 2
58
59 //IDs POTENCIA
60 #define CAN_STATUS_POTENCIA 0
61 #define CAN_BRAKE_LSB 1
62 #define CAN_BRAKE_MSB 2
63 #define CAN_TEMP_REFRI 3
64 #define CAN_BRAKE2_LSB 4
65 #define CAN_BRAKE2_MSB 5
66
67 //IDs BAMOCAR TX
68 #define ID_TEMP_MOTOR 0x49
69 #define CAN_TEMP_MOTOR_LSB 1
70 #define CAN_TEMP_MOTOR_MSB 2
71

```

```

72 #define ID_TEMP_IGBT                0x4A
73 #define CAN_TEMP_IGBT_LSB           1
74 #define CAN_TEMP_IGBT_MSB           2
75
76 #define ID_CURRENT_LIMIT             0xC4
77 #define CAN_CURRENT_LIMIT_LSB        1
78 #define CAN_CURRENT_LIMIT_MSB        2
79
80 #define ID_STATUS_BAMOCAR            0x40
81 #define CAN_STATUS_BAMOCAR_LSB       1
82 #define CAN_STATUS_BAMOCAR_MSB       2
83
84 #define ID_ERROR_WARNING_BITMAP      0x8F
85 #define CAN_ERROR_WARNING_BITMAP_LSB 1
86 #define CAN_ERROR_WARNING_BITMAP_MSB 2
87 #define CAN_WARNING_WARNING_BITMAP_LSB 3
88 #define CAN_WARNING_WARNING_BITMAP_MSB 4
89
90 #define ID_ACTUAL_CURRENT             0x20
91 #define CAN_ACTUAL_CURRENT_LSB        1
92 #define CAN_ACTUAL_CURRENT_MSB        2
93
94 #define ID_COMMAND_CURRENT            0x26
95 #define CAN_COMMAND_CURRENT_LSB       1
96 #define CAN_COMMAND_CURRENT_MSB       2
97
98 #define ID_SPEED_ACTUAL               0x30
99 #define CAN_SPEED_ACTUAL_LSB           1
100 #define CAN_SPEED_ACTUAL_MSB           2
101
102 #define ID_FILTERED_ACTL_CURRENT      0x5f
103 #define CAN_FILTERED_ACTL_CURRENT_LSB 1
104 #define CAN_FILTERED_ACTL_CURRENT_MSB 2
105
106 #define ID_VOLTAGE_DC_BUS             0xeb
107 #define CAN_VOLTAGE_DC_BUS_LSB         1
108 #define CAN_VOLTAGE_DC_BUS_MSB         2
109
110 //IDs R2D
111 #define CAN_MODO                       0
112 #define CAN_LVBAT_LSB                   1
113 #define CAN_LVBAT_MSB                   2
114
115 //IDs CAN PCB
116 #define CAN_WSL_LSB                     0
117 #define CAN_WSL_MSB                     1
118 #define CAN_WSR_LSB                     2
119 #define CAN_WSR_MSB                     3
120 #define CAN_EXTL                       4
121 #define CAN_EXTR                       5
122 #define CAN_ANALOG_LSB                 6
123 #define CAN_ANALOG_MSB                 7
124
125 //IDs VELOCITY
126 #define CAN_VELOCITY_X_LSB              0
127 #define CAN_VELOCITY_X_MSB              1
128 #define CAN_VELOCITY_Y_LSB              2
129 #define CAN_VELOCITY_Y_MSB              3
130
131
132 ///////////////////////////////////////////////////////////////////
133
134 //DEFINE JSON PARAMETERS
135 #define ARDUINOJSON_USE_DOUBLE 0
136 #define ARDUINOJSON_USE_LONG LONG 0
137 #include <ArduinoJson.h>
138
139 StaticJsonDocument<1000> JSON_OUT;
140 // String input;
141
142 StaticJsonDocument<32> JSON_IN;

```

```
143
144 char envio[2048];
145
146 //ALL VARIABLES
147
148 struct DATA1
149 {
150 char statusbms;
151 unsigned int intensidad_dc;
152 int volttotal;
153 char tempceldas;
154 char voltbaja;
155 char voltminima;
156 char status_celdas;
157 bool precarga;
158 int intensidad = 200;
159 } bmsCAN;
160
161 struct DATA2
162 {
163 int lvbat;
164 unsigned char modo;
165 } r2dCAN;
166
167 struct DATA3
168 {
169 unsigned int statusbamocar;
170 unsigned int actualcurrent;
171 unsigned int commandcurrent;
172 unsigned int errorbitmap;
173 unsigned int warningbitmap;
174 int currentlimit;
175 int porcentaje;
176 int tempmotor;
177 int tempigbt;
178 int consigna;
179 int16_t speedactual;
180 uint16_t filtered_actual_current;
181 uint16_t voltage_dc_bus;
182
183 } bamocarCAN;
184
185 struct POTENCIA CAN
186 {
187 char statuspotencia;
188 int freno;
189 int freno2;
190 int temprefri;
191 } potenciaCAN;
192
193 struct FRONT_CAN
194 {
195 int wsl;
196 int wsr;
197 int extl;
198 int extr;
199 int giro;
200 } frontCAN;
201
202 struct REAR_CAN
203 {
204 int wsl;
205 int wsr;
206 int extl;
207 int extr;
208 int lvbat;
209 } rearCAN;
210
211 struct TEMP TYRE
212 {
213 int fl_1;
```

```

214 int fl_2;
215 int fl_3;
216 int fr_1;
217 int fr_2;
218 int fr_3;
219 int rl_1;
220 int rl_2;
221 int rl_3;
222 int rr_1;
223 int rr_2;
224 int rr_3;
225 } tempTyre;
226
227 struct IMU
228 {
229 int velocity;
230 }imu;
231
232 bool CAN_status=0;
233 unsigned long ref_tiempoEnvio=0;
234 unsigned long currenttime=millis();
235 bool disableFlag = 0;
236 bool enableFlag = 0;
237 int tiempoRef = 10;
238
239 // Select your modem:
240 #define TINY_GSM_MODEM_SIM7600 //
241
242
243 // Set serial for debug console (to the Serial Monitor, default speed 115200)
244 #define SerialMon Serial
245
246 // Set serial for AT commands (to the module)
247 // In this case we use ESP32 so we have to use Serial1
248 #define SerialAT Serial1
249
250 /* We use ESP32 in this case
251 // or Software Serial on Uno, Nano
252 #else
253 #include <SoftwareSerial.h>
254 SoftwareSerial SerialAT(2, 3); // RX, TX
255 #endif
256 */
257
258 // See all AT commands, if wanted
259 // #define DUMP_AT_COMMANDS
260
261 // Define the serial console for debug prints, if needed
262 #define TINY_GSM_DEBUG SerialMon
263
264 //Use this define to choose between GPRS or WIFI:
265 #define TINY_GSM_USE_GPRS true
266 #define TINY_GSM_USE_WIFI false
267
268 // set GSM PIN, if any
269 #define GSM_PIN ""
270
271 // Your GPRS credentials, if any
272 const char apn[] = "live.vodafone.com"; // APN use https://wiki.apnchanger.org
273 const char gprsUser[] = "wap@wap";
274 const char gprsPass[] = "wap125";
275
276 // MQTT details
277 const char* broker = "34.175.13.225";
278 const char* mqttUsername = ""; // MQTT username
279 const char* mqttPassword = ""; // MQTT password
280 const char *root topic subscribe = "input ARTE";
281 const char *root_topic_publish = "telemetry/ARTE";
282
283
284 #include <TinyGsmClient.h>

```

```

285  #include <PubSubClient.h>
286
287  //This mode is just to debugg with the modem
288  #ifndef DUMP_AT_COMMANDS
289  #include <StreamDebugger.h>
290  StreamDebugger debugger(SerialAT, SerialMon);
291  TinyGsm          modem(debugger);
292  #else
293  TinyGsm          modem(SerialAT);
294  #endif
295
296  TinyGsmClient client(modem);
297  PubSubClient  mqtt(client);
298
299  #define MODEM_TX          14
300  #define MODEM_RX          12
301
302  char msg[25];
303
304  long count=0;// MQTT details
305
306  uint32_t lastReconnectAttempt = 0;
307
308  const int ledPin = 13;
309  const int ledPin1 = 5;
310
311  void mqttCallback(char* topic, byte* payload, unsigned int len)
312  {
313    SerialMon.print("Message arrived [");
314    SerialMon.print(topic);
315    SerialMon.print("]: ");
316    SerialMon.write(payload, len);
317    SerialMon.println();
318
319    // Only proceed if incoming message's topic matches, is just an example
320    if (String(topic) == root_topic_subscribe)
321    {
322
323      DeserializationError error = deserializeJson(JSON_IN, payload,32);
324
325      if (error)
326      {
327        Serial.print("deserializeJson() failed: ");
328        Serial.println(error.c_str());
329        return;
330      }
331
332      enableFlag = JSON_IN["enableFlag"];
333      disableFlag = JSON_IN["disableFlag"];
334      tiempoRef = JSON_IN["tiempoRef"];
335
336    }
337  }
338
339  boolean mqttConnect()
340  {
341    SerialMon.print("Connecting to ");
342    SerialMon.print(broker);
343
344    // Connect to MQTT Broker
345    //boolean status = mqtt.connect("GsmClientTest");
346
347    // Or, if you want to authenticate MQTT:
348    boolean status = mqtt.connect("GsmClientName", "mqtt_user", "mqtt_pass");
349
350    if (status == false)
351    {
352      SerialMon.println(" fail");
353      ESP.restart();
354      return false;
355    }

```

```
356
357     SerialMon.println(" success");
358     mqtt.subscribe(root_topic_subscribe);
359
360     return mqtt.connected();
361 }
362
363 #include <Arduino.h>
364
365 void setup()
366 {
367     // Set console baud rate
368     SerialMon.begin(115200);
369
370     delay(1000);
371
372     pinMode (ledPin, OUTPUT);
373     pinMode (ledPin1, OUTPUT);
374
375     //SETUP CAN BUS////////////////////////////////////
376     if(CAN0.begin(MCP_STDEXT, CAN_500KBPS, MCP_16MHZ) == CAN_OK) Serial.print("MCP2515
377     Init Okay!\r\n");
378     else Serial.print("MCP2515 Init Failed!\r\n");
379     pinMode(17, INPUT); // Setting pin 22 for INT input
380
381     Serial.println("MCP2515 Library Mask & Filter Example...");
382
383     CAN0.setMode(MCP_NORMAL);
384     //////////////////////////////////////
385     delay(100);
386
387     // !!!!!!!!!!!
388     // Set your reset, enable, power pins here
389     // !!!!!!!!!!!
390
391     SerialMon.println("Wait...");
392
393     // Set GSM module baud rate, IMPORTANT in the case of usign ESP32 we have to use
394     // this function with these specific parameters
395     SerialAT.begin(3686400, SERIAL_8N1, MODEM_TX, MODEM_RX);
396
397     delay(6000);
398
399     // Restart takes quite some time
400     // To skip it, call init() instead of restart()
401     SerialMon.println("Initializing modem...");
402     modem.restart();
403     // modem.init();
404
405     delay(1000);
406
407     String modemInfo = modem.getModemInfo();
408     SerialMon.print("Modem Info: ");
409     SerialMon.println(modemInfo);
410
411     uint8_t LTE = 2; // Lo indica el la guia de usuario del SerialAT
412
413     //AÑADIDO POR MI
414     modem.setNetworkMode(LTE);
415
416     delay(6000);
417
418     SerialMon.print("Network Mode: ");
419
420     SerialMon.println(modem.getNetworkMode());
421
422     //////////////////////////////////////
423
424     // Unlock your SIM card with a PIN if needed
425     if (GSM_PIN && modem.getSimStatus() != 3) { modem.simUnlock(GSM_PIN); }
```

```

425
426 SerialMon.print("Waiting for network...");
427 if (!modem.waitForNetwork())
428 {
429     SerialMon.println(" fail");
430     delay(10000);
431     return;
432 }
433 SerialMon.println(" success");
434
435 if (modem.isNetworkConnected()) { SerialMon.println("Network connected"); }
436
437 // GPRS connection parameters are usually set after network registration
438 SerialMon.print(F("Connecting to "));
439 SerialMon.print(apn);
440 if (!modem.gprsConnect(apn, gprsUser, gprsPass))
441 {
442     SerialMon.println(" fail");
443     delay(10000);
444     return;
445 }
446 else
447 {
448
449     SerialMon.println(" success");
450
451 }
452
453 if (modem.isGprsConnected()) { SerialMon.println("GPRS connected"); }
454
455 // MQTT Broker setup
456 mqtt.setServer(broker, 1883);
457 mqtt.setCallback(mqttCallback);
458 mqtt.setKeepAlive(600);
459 mqtt.setSocketTimeout(600);
460 }
461
462 void loop()
463 {
464
465     if (!mqtt.connected())
466     {
467         SerialMon.println("=== MQTT NOT CONNECTED ===");
468         // Reconnect every 10 seconds
469         uint32 t t = millis();
470         if (t - lastReconnectAttempt > 10000L)
471         {
472             lastReconnectAttempt = t;
473             if (mqttConnect()) { lastReconnectAttempt = 0; }
474         }
475         delay(100);
476         return;
477     }
478
479
480
481     if(digitalRead(17)==0)
482     {
483         CAN status=1;
484     }
485     else
486     {
487         CAN status=0;
488     }
489
490     digitalWrite (ledPin, HIGH); // turn on the LED
491
492     CAN0.readMsgBuf(&rxId, &len, rxBuf); // Read data: len = data length, buf = data
493     byte(s)
494
495     if((unsigned long)rxId==(unsigned long)CAN_BMS_1)

```

```
495     {
496         bmsCAN.intensidad=(rxBuf[CAN_INTENSIDAD]);
497     }
498
499     else if((unsigned long)rxId==(unsigned long)CAN_BMS_2)
500     {
501         bmsCAN.statusbms=(rxBuf[CAN_STATE]);
502         bmsCAN.intensidad_dc=rxBuf[CAN_INTENSIDAD_DC];
503         bmsCAN.volttotal=rxBuf[CAN_TOTAL_VDC];
504         bmsCAN.tempceldas=rxBuf[CAN_TEMP_MAX];
505         bmsCAN.voltminima=rxBuf[CAN_MIN_VOLTAGE];
506         bmsCAN.voltbaja=rxBuf[CAN_MAX_VOLTAGE];
507         bmsCAN.status_celdas=rxBuf[CAN_STATUS_CELDAS];
508     }
509
510     else if((unsigned long)rxId==(unsigned long)CAN_BAMOCAR_RX)
511     {
512         if(rxBuf[0]==ID_CONSIGNA)
513         {
514             bamocarCAN.consigna=(int)((rxBuf[CAN_CONSIGNA_MSB] << 8 | rxBuf[
515             CAN_CONSIGNA_LSB]));
516         }
517         else if(rxBuf[0]==ID_PORCENTAJE)
518         {
519             bamocarCAN.porcentaje=(int)((rxBuf[CAN_CONSIGNA_MSB] << 8 | rxBuf[
520             CAN_CONSIGNA_LSB]);
521         } else {
522             bamocarCAN.porcentaje = 0;
523         }
524     }
525
526     else if((unsigned long)rxId==(unsigned long)CAN_BAMOCAR_TX)
527     {
528
529         if(rxBuf[0]==ID_TEMP_MOTOR)
530         {
531             bamocarCAN.tempmotor=(int)((rxBuf[CAN_TEMP_MOTOR_MSB] << 8 | rxBuf[
532             CAN_TEMP_MOTOR_LSB]);
533
534             //bamocarCAN.tempmotor=((bamocarCAN.tempmotor*(0.01901))-179);
535         }
536         else if(rxBuf[0]==ID_TEMP_IGBT)
537         {
538             bamocarCAN.tempigbt=(int)((rxBuf[CAN_TEMP_IGBT_MSB] << 8 | rxBuf[
539             CAN_TEMP_IGBT_LSB]);
540
541             //bamocarCAN.tempigbt=((bamocarCAN.tempigbt*(9.393/1000))-153);
542         }
543         else if(rxBuf[0]==ID_ERROR_WARNING_BITMAP)
544         {
545             bamocarCAN.errorbitmap=(int)((rxBuf[CAN_ERROR_BITMAP_MSB] << 8 | rxBuf[
546             CAN_ERROR_BITMAP_LSB]);
547
548             bamocarCAN.warningbitmap=(int)((rxBuf[CAN_WARNING_BITMAP_MSB] << 8 | rxBuf[
549             CAN_WARNING_BITMAP_LSB]);
550         }
551         else if(rxBuf[0]==ID_STATUS_BAMOCAR)
552         {
553             bamocarCAN.statusbamocar=(int)((rxBuf[CAN_STATUS_BAMOCAR_MSB] << 8 | rxBuf[
554             CAN_STATUS_BAMOCAR_LSB]);
555         }
556         else if(rxBuf[0]==ID_CURRENT_LIMIT)
557         {
558             bamocarCAN.currentlimit=(int)((rxBuf[CAN_CURRENT_LIMIT_MSB] << 8 | rxBuf[
559             CAN_CURRENT_LIMIT_LSB]);
```

```

558     }
559
560     else if(rxBuf[0]==ID_ACTUAL_CURRENT)
561     {
562         bamocarCAN.actualcurrent=(int)((rxBuf[CAN_ACTUAL_CURRENT_MSB] << 8 | rxBuf[
563         CAN_ACTUAL_CURRENT_LSB]));
564     }
565
566     else if(rxBuf[0]==ID_COMMAND_CURRENT)
567     {
568         bamocarCAN.commandcurrent=(int)((rxBuf[CAN_COMMAND_CURRENT_MSB] << 8 | rxBuf[
569         CAN_COMMAND_CURRENT_LSB]));
570     }
571
572     else if(rxBuf[0]==ID_SPEED_ACTUAL)
573     {
574         bamocarCAN.speedactual=(int16_t)((rxBuf[CAN_SPEED_ACTUAL_MSB] << 8 | rxBuf[
575         CAN_SPEED_ACTUAL_LSB]));
576     }
577
578     else if(rxBuf[0]==ID_FILTERED_ACTL_CURRENT)
579     {
580         bamocarCAN.filtered_actual_current=(uint16_t)((rxBuf[
581         CAN_FILTERED_ACTL_CURRENT_MSB] << 8 | rxBuf[CAN_FILTERED_ACTL_CURRENT_LSB]));
582     }
583
584     else if(rxBuf[0]==ID_VOLTAGE_DC_BUS)
585     {
586         bamocarCAN.voltage_dc_bus=(uint16_t)((rxBuf[CAN_VOLTAGE_DC_BUS_MSB] << 8 |
587         rxBuf[CAN_VOLTAGE_DC_BUS_LSB]));
588     }
589
590     }
591
592     else if((unsigned long)rxId==(unsigned long)CAN_POTENCIA)
593     {
594         potenciaCAN.statuspotencia=rxBuf[CAN_STATUS_POTENCIA];
595         potenciaCAN.freno=(int)((rxBuf[CAN BRAKE_MSB] << 8 | rxBuf[CAN BRAKE_LSB]));
596         potenciaCAN.freno2=(int)((rxBuf[CAN BRAKE2_MSB] << 8 | rxBuf[CAN BRAKE2_LSB
597         ]));
598         potenciaCAN.temprefri=rxBuf[CAN_TEMP_REFRI];
599     }
600
601     else if((unsigned long)rxId==(unsigned long)CAN_FRONT)
602     {
603         frontCAN.wsl=(int)(rxBuf[CAN_WSL_MSB] << 8 | rxBuf[CAN_WSL_LSB]);
604         frontCAN.wsr=(int)(rxBuf[CAN_WSR_MSB] << 8 | rxBuf[CAN_WSR_LSB]);
605         frontCAN.extl=rxBuf[CAN_EXTL];
606         frontCAN.extr=rxBuf[CAN_EXTR];
607         frontCAN.giro=(int)(rxBuf[CAN_ANALOG_MSB] << 8 | rxBuf[CAN_ANALOG_LSB]);
608     }
609
610     else if((unsigned long)rxId==(unsigned long)CAN_REAR)
611     {
612         rearCAN.wsl=(int)(rxBuf[CAN_WSL_MSB] << 8 | rxBuf[CAN_WSL_LSB]);
613         rearCAN.wsr=(int)(rxBuf[CAN_WSR_MSB] << 8 | rxBuf[CAN_WSR_LSB]);
614         rearCAN.extl=rxBuf[CAN_EXTL];
615         rearCAN.extr=rxBuf[CAN_EXTR];
616         rearCAN.lvbat=(int)(rxBuf[CAN_ANALOG_MSB] << 8 | rxBuf[CAN_ANALOG_LSB]);
617     }
618
619     else if((unsigned long)rxId==(unsigned long)CAN_R2D)
620     {
621         r2dCAN.modos=rxBuf[CAN_MODO];
622         r2dCAN.lvbat=(int)((rxBuf[CAN_LVBAT_MSB] << 8 | rxBuf[CAN_LVBAT_LSB]);
623         //r2dCAN.lvbat=r2dCAN.lvbat*0.0596562;

```

```
623     }
624
625     else if((unsigned long)rxId==(unsigned long)CAN_FL_1)
626     {
627         tempTyre.fl_1=(((rxBuf[0]<<8 | rxBuf[1]) + (rxBuf[2]<<8 | rxBuf[3]) + (rxBuf[
628             4]<<8 | rxBuf[5]) + (rxBuf[6]<<8 | rxBuf[7])) / 4) / 10 - 200);
629     }
630
631     else if((unsigned long)rxId==(unsigned long)CAN_FL_2)
632     {
633         tempTyre.fl_2=(((rxBuf[0]<<8 | rxBuf[1]) + (rxBuf[2]<<8 | rxBuf[3]) + (rxBuf[
634             4]<<8 | rxBuf[5]) + (rxBuf[6]<<8 | rxBuf[7])) / 4) / 10 - 200) / 2;
635     }
636
637     else if((unsigned long)rxId==(unsigned long)CAN_FL_3)
638     {
639         tempTyre.fl_2+=(((rxBuf[0]<<8 | rxBuf[1]) + (rxBuf[2]<<8 | rxBuf[3]) + (rxBuf[
640             4]<<8 | rxBuf[5]) + (rxBuf[6]<<8 | rxBuf[7])) / 4) / 10 - 200) / 2;
641     }
642
643     else if((unsigned long)rxId==(unsigned long)CAN_FL_4)
644     {
645         tempTyre.fl_3=(((rxBuf[0]<<8 | rxBuf[1]) + (rxBuf[2]<<8 | rxBuf[3]) + (rxBuf[
646             4]<<8 | rxBuf[5]) + (rxBuf[6]<<8 | rxBuf[7])) / 4) / 10 - 200);
647     }
648
649     else if((unsigned long)rxId==(unsigned long)CAN_FR_1)
650     {
651         tempTyre.fr_1=(((rxBuf[0]<<8 | rxBuf[1]) + (rxBuf[2]<<8 | rxBuf[3]) + (rxBuf[
652             4]<<8 | rxBuf[5]) + (rxBuf[6]<<8 | rxBuf[7])) / 4) / 10 - 200);
653     }
654
655     else if((unsigned long)rxId==(unsigned long)CAN_FR_2)
656     {
657         tempTyre.fr_2=(((rxBuf[0]<<8 | rxBuf[1]) + (rxBuf[2]<<8 | rxBuf[3]) + (rxBuf[
658             4]<<8 | rxBuf[5]) + (rxBuf[6]<<8 | rxBuf[7])) / 4) / 10 - 200) / 2;
659     }
660
661     else if((unsigned long)rxId==(unsigned long)CAN_FR_3)
662     {
663         tempTyre.fr_2+=(((rxBuf[0]<<8 | rxBuf[1]) + (rxBuf[2]<<8 | rxBuf[3]) + (rxBuf[
664             4]<<8 | rxBuf[5]) + (rxBuf[6]<<8 | rxBuf[7])) / 4) / 10 - 200) / 2;
665     }
666
667     else if((unsigned long)rxId==(unsigned long)CAN_FR_4)
668     {
669         tempTyre.fr_3=(((rxBuf[0]<<8 | rxBuf[1]) + (rxBuf[2]<<8 | rxBuf[3]) + (rxBuf[
670             4]<<8 | rxBuf[5]) + (rxBuf[6]<<8 | rxBuf[7])) / 4) / 10 - 200);
671     }
672
673     else if((unsigned long)rxId==(unsigned long)CAN_RL_1)
674     {
675         tempTyre.rl_1=(((rxBuf[0]<<8 | rxBuf[1]) + (rxBuf[2]<<8 | rxBuf[3]) + (rxBuf[
676             4]<<8 | rxBuf[5]) + (rxBuf[6]<<8 | rxBuf[7])) / 4) / 10 - 200);
677     }
678
679     else if((unsigned long)rxId==(unsigned long)CAN_RL_2)
680     {
681         tempTyre.rl_2=(((rxBuf[0]<<8 | rxBuf[1]) + (rxBuf[2]<<8 | rxBuf[3]) + (rxBuf[
682             4]<<8 | rxBuf[5]) + (rxBuf[6]<<8 | rxBuf[7])) / 4) / 10 - 200) / 2;
```

```

683     4]<<8 | rxBuf[5]) + (rxBuf[6]<<8 | rxBuf[7])) / 4) / 10 - 200);
684 }
685 else if((unsigned long)rxId==(unsigned long)CAN_RR_1)
686 {
687     tempTyre.rr_1=(((rxBuf[0]<<8 | rxBuf[1]) + (rxBuf[2]<<8 | rxBuf[3]) + (rxBuf[
688     4]<<8 | rxBuf[5]) + (rxBuf[6]<<8 | rxBuf[7])) / 4) / 10 - 200);
689 }
690 else if((unsigned long)rxId==(unsigned long)CAN_RR_2)
691 {
692     tempTyre.rr_2=(((rxBuf[0]<<8 | rxBuf[1]) + (rxBuf[2]<<8 | rxBuf[3]) + (rxBuf[
693     4]<<8 | rxBuf[5]) + (rxBuf[6]<<8 | rxBuf[7])) / 4) / 10 - 200) / 2;
694 }
695 else if((unsigned long)rxId==(unsigned long)CAN_RR_3)
696 {
697     tempTyre.rr_2+=(((rxBuf[0]<<8 | rxBuf[1]) + (rxBuf[2]<<8 | rxBuf[3]) + (rxBuf[
698     4]<<8 | rxBuf[5]) + (rxBuf[6]<<8 | rxBuf[7])) / 4) / 10 - 200) / 2;
699 }
700 else if((unsigned long)rxId==(unsigned long)CAN_RR_4)
701 {
702     tempTyre.rr_3=(((rxBuf[0]<<8 | rxBuf[1]) + (rxBuf[2]<<8 | rxBuf[3]) + (rxBuf[
703     4]<<8 | rxBuf[5]) + (rxBuf[6]<<8 | rxBuf[7])) / 4) / 10 - 200);
704 }
705 else if((unsigned long)rxId==(unsigned long)CAN_VELOCITY)
706 {
707     imu.velocity=(int)sqrt((((rxBuf[CAN_VELOCITY_X_MSB] << 8 | rxBuf[
708     CAN_VELOCITY_X_LSB]) / 100) ^ 2) + (((rxBuf[CAN_VELOCITY_Y_MSB] << 8 | rxBuf[
709     CAN_VELOCITY_Y_LSB]) / 100) ^ 2) * 3.6);
710 }
711 if(enableFlag)
712 {
713     txBuf[0] = 0x51;
714     txBuf[1] = 0x00;
715     txBuf[2] = 0x00;
716
717     CAN0.sendMsgBuf(CAN_BAMOCAR_RX, 0, 8, txBuf);
718     enableFlag = 0;
719 }
720
721 if(disableFlag)
722 {
723     txBuf[0] = 0x51;
724     txBuf[1] = 0x04;
725     txBuf[2] = 0x00;
726
727     CAN0.sendMsgBuf(CAN_BAMOCAR_RX, 0, 8, txBuf);
728
729     disableFlag = 0;
730 }
731
732 currenttime=millis();
733
734 if (((unsigned long)(currenttime - ref_tiempoEnvio)) >= tiempoRef)
735 {
736
737     //SERIALIZE JSON
738
739     JSON_OUT["tiempo"] = millis();
740
741     JSON_OUT["current"] = bmsCAN.intensidad;
742     JSON_OUT["volt_total"] = bmsCAN.volttotal;
743     JSON_OUT["volt_baja"] = bmsCAN.voltbaja;
744     JSON_OUT["volt_minima"] = bmsCAN.voltminima;
745     JSON_OUT["temp_celdas"] = bmsCAN.tempceldas;
746     JSON_OUT["statusbms"] = bmsCAN.statusbms;

```

```

747
748     JSON_OUT["mode"] = r2dCAN.modos;
749     //JSON_OUT["volt_lvbat"] = r2dCAN.lvbat;
750
751     //JSON_OUT["statuspotencia"] = potenciaCAN.statuspotencia;
752     JSON_OUT["front_brake"] = potenciaCAN.freno;
753     JSON_OUT["temp_refri"] = potenciaCAN.temprefri;
754
755     JSON_OUT["velocity"] = imu.velocity;
756
757     JSON_OUT["temp_motor"] = bamocarCAN.tempmotor;
758     JSON_OUT["command_torque"] = bamocarCAN.consigna;
759     JSON_OUT["temp_igbt"] = bamocarCAN.tempigbt;
760     JSON_OUT["statusbamocar"] = bamocarCAN.statusbamocar;
761     JSON_OUT["errorbitmap"] = bamocarCAN.errorbitmap;
762     JSON_OUT["warningbitmap"] = bamocarCAN.warningbitmap;
763     JSON_OUT["actual_current"] = bamocarCAN.actualcurrent;
764     JSON_OUT["command_current"] = bamocarCAN.commandcurrent;
765     JSON_OUT["current_limit"] = bamocarCAN.currentlimit;
766
767     JSON_OUT["wheelspeed_fl"] = frontCAN.wsl;
768     JSON_OUT["wheelspeed_fr"] = frontCAN.wsr;
769     JSON_OUT["ext_fl"] = frontCAN.extl;
770     JSON_OUT["ext_fr"] = frontCAN.extr;
771     JSON_OUT["steeringwheel"] = frontCAN.giro;
772
773     JSON_OUT["wheelspeed_rl"] = rearCAN.wsl;
774     JSON_OUT["wheelspeed_rr"] = rearCAN.wsr;
775     JSON_OUT["ext_rl"] = rearCAN.extl;
776     JSON_OUT["ext_rr"] = rearCAN.extr;
777     JSON_OUT["volt_lvbat"] = rearCAN.lvbat;
778
779
780     //JSON_OUT["velocidad motor"] = bamocarCAN.speedactual;
781     //JSON_OUT["intensidad cc"] = bamocarCAN.filtered_actual_current;
782     //JSON_OUT["voltaje dc bus"] = bamocarCAN.voltage_dc_bus;
783
784     JSON_OUT["porcentaje"] = bamocarCAN.porcentaje;
785
786     JSON_OUT["temp_fl_1"] = tempTyre.fl_1;
787     JSON_OUT["temp_fl_2"] = tempTyre.fl_2;
788     JSON_OUT["temp_fl_3"] = tempTyre.fl_3;
789
790     JSON_OUT["temp_fr_1"] = tempTyre.fr_1;
791     JSON_OUT["temp_fr_2"] = tempTyre.fr_2;
792     JSON_OUT["temp_fr_3"] = tempTyre.fr_3;
793
794     JSON_OUT["temp_rl_1"] = tempTyre.rl_1;
795     JSON_OUT["temp_rl_2"] = tempTyre.rl_2;
796     JSON_OUT["temp_rl_3"] = tempTyre.rl_3;
797
798     JSON_OUT["temp_rr_1"] = tempTyre.rr_1;
799     JSON_OUT["temp_rr_2"] = tempTyre.rr_2;
800     JSON_OUT["temp_rr_3"] = tempTyre.rr_3;
801
802
803     serializeJson(JSON_OUT, envio);
804
805     mqtt.publish(root topic publish,envio);
806
807     mqtt.loop();
808
809     ref tiempoEnvio = currenttime;
810 }
811
812
813 }

```

Referencias

- [1] Wikipedia, «Bus CAN,» [En línea]. Available: https://es.wikipedia.org/wiki/Bus_CAN.
- [2] Rohde & Schwarz, «Qué es UART,» R&S®Essentials | Principios básicos del osciloscopio digital y las sondas, [En línea]. Available: ¿Qué es UART?.
- [3] Z. Peterson, «Resource Altium,» 4 March 2021. [En línea]. Available: Z. Peterson, «The mysterious 50 ohm impedance: Where it came from and why we use it», Altium, jul. 2023, [En línea]. Disponible en: <https://resources.altium.com/p/mysterious-50-ohm-impedance-where-it-came-and-why-we-use-it>.
- [4] T. Power, «TSR2 Datasheet,» November 2022. [En línea]. Available: <https://www.tracopower.com/int/tsr2-datasheet>.
- [5] T. Instruments, «LM1117MP-3.3 Datasheet,» February 2020. [En línea]. Available: <https://www.ti.com/lit/gpn/lm1117>.
- [6] T. Instruments, «LP3856-ADJ Datasheet,» September 2003. [En línea]. Available: <https://www.ti.com/lit/gpn/lp3856-adj>.
- [7] FTDI, «FT232R USB UART IC Datasheet - FTDI,» [En línea]. Available: https://ftdichip.com/wp-content/uploads/2020/08/DS_FT232R.pdf.
- [8] Toshiba, «TLP293-4,» May 2019. [En línea]. Available: https://toshiba.semicon-storage.com/info/TLP293-4_datasheet_en_20190520.pdf?did=15287&prodName=TLP293-4.
- [9] OnSemi, «FDN304P-D Datasheet,» March 2022. [En línea]. Available: <https://www.onsemi.com/download/data-sheet/pdf/fdn304p-d.pdf>.
- [10] Espressif, «esp32wroom32d & esp32wroom32u - Espressif Systems,» [En línea]. Available: https://www.espressif.com/sites/default/files/documentation/esp32-wroom-32d_esp32-wroom-32u_datasheet_en.pdf.
- [11] SimCOM, «SIM7600E-H Datasheet,» 2022. [En línea]. Available: <https://www.simcom.com/product/SIM7600X.html>.
- [12] R. Hu, PCB Design and Layout Fundamentals for EMC, 978-1082079252, 2019.
- [13] D. P. R. Wilson, The Circuit Designer's Companion 4th Edition, Newnes, 2017.
- [14] Espressif Systems, «ESP32 Hardware Design Guidelines - Espressif Systems,» 2022. [En línea]. Available:

https://www.espressif.com/sites/default/files/documentation/esp32_hardware_design_guidelines_en.pdf.

- [15] «MQTT Essentials,» HiveMQ, [En línea]. Available: <https://www.hivemq.com/mqtt-essentials/>.
- [16] JSON.org, «Introducing JSON,» [En línea]. Available: <https://www.json.org/json-en.html>.
- [17] Digi-Key, «Cómo implementar el rebote de hardware para interruptores y relés cuando el rebote de software no es apropiado,» 2021. [En línea]. Available: <https://www.digikey.es/es/articles/how-to-implement-hardware-debounce-for-switches-and-relays>.
- [18] muRATA, «Decoupling for digital ICs,» 2010. [En línea]. Available: <https://www.murata.com/~media/webrenewal/support/library/catalog/products/emc/emifil/c39e.ashx?language=en-us>.

